



**PROTEZIONE CIVILE**  
Presidenza del Consiglio dei Ministri  
Dipartimento della Protezione Civile



CONFERENZA DELLE REGIONI E  
DELLE PROVINCE AUTONOME

Attuazione dell'articolo 11 dalla legge 24 giugno 2009, n. 77

# MICROZONAZIONE SISMICA

Regione Emilia-Romagna  
Comune di Riva del Po

RELAZIONE ILLUSTRATIVA



Regione Emilia-Romagna  
Comune di Riva del Po



**Unione dei Comuni  
Terre e Fiumi**

Copparo - Riva del Po - Tresignana

Settore Pianificazione  
Territoriale

Resp. del procedimento:  
Geom. Silvia Trevisani

Soggetto realizzatore



Synthesis s.r.l.

P.zza del Popolo 13 int. 5  
44034 Copparo (FE)

Gruppo di lavoro

Responsabile del progetto:

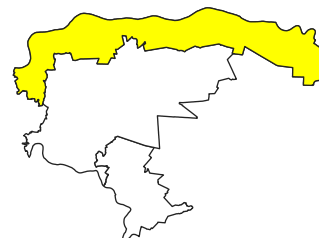
Dr. Geol. Emanuele Stevanin

Collaboratori:

Dr.ssa Geol. Emma Biondani

Dr. Geol. Stefano Maggi

Data: 04/2020



## **INDICE**

<b>1. INTRODUZIONE</b>	<b>2</b>
<b>2. DEFINIZIONE DELLA PERICOLOSITÀ SISMICA DI BASE E DEGLI EVENTI DI RIFERIMENTO</b>	<b>4</b>
<b>2.1. Caratteristiche sismotettoniche generali</b>	<b>4</b>
<b>2.2. Storia sismica del territorio comunale</b>	<b>5</b>
<b>2.3. Pericolosità sismica di base sito specifica</b>	<b>8</b>
<b>3. ASSETTO GEOLOGICO, IDROGEOLOGICO E GEOMORFOLOGICO DELL'AREA</b>	<b>10</b>
<b>3.1 Assetto geologico e idrogeologico</b>	<b>10</b>
<b>4. DATI GEOTECNICI E GEOFISICI</b>	<b>12</b>
<b>4.1. Parametri geotecnici</b>	<b>13</b>
<b>4.2. Parametri geofisici</b>	<b>24</b>
<b>5. MODELLO DEL SOTTOSUOLO</b>	<b>38</b>
<b>6. INTEPRETAZIONI ED INCERTEZZE</b>	<b>39</b>
<b>7. METODOLOGIE DI ELABORAZIONE E RISULTATI</b>	<b>40</b>
<b>8. ELABORATI CARTOGRAFICI</b>	<b>41</b>
<b>8.1 Carta delle Indagini</b>	<b>42</b>
<b>8.2 Carta delle frequenze naturali dei terreni</b>	<b>43</b>
<b>8.3 Carta delle velocità delle onde di taglio S (Vs)</b>	<b>44</b>
<b>8.4 Carta di Microzonazione Sismica</b>	<b>46</b>
<b>8.4.1 Analisi di Risposta Sismica Locale</b>	<b>47</b>
<b>8.4.2 Stima dell'indice di liquefazione IL nei terreni incoerenti</b>	<b>65</b>
<b>8.4.3 Stima dei cedimenti post-sismici attesi terreni coesivi</b>	<b>68</b>
<b>9. CONFRONTO CON LA DISTRIBUZIONE DI DANNI PER EVENTI PASSATI</b>	<b>69</b>
<b>10. BIBLIOGRAFIA</b>	<b>69</b>
<b>11. ALLEGATI</b>	<b>70</b>



## 1. INTRODUZIONE

La presente Relazione Illustrativa riferisce dei risultati ottenuti dalle analisi di *terzo Livello di approfondimento*, eseguite ai sensi della Delibera della Giunta Regionale DGR 630/2019 della Regione Emilia Romagna, relativamente al territorio di comunale di Riva del Po (Comune Istituito con L.R. n. 17/2018 a seguito di fusione tra i Comuni di Berra e Ro) e sue frazioni (Alberone, Berra, Cologna, Guarda Ferrarese, Ro, Ruina, Serravalle, Zocca). Il presente documento accompagna gli elaborati cartografici specifici richiesti per il livello di studio in questione.

Lo studio con *terzo livello di approfondimento* per il territorio di Riva del Po e sue frazioni, alla luce delle evidenze emerse durante le fasi di I e II livello di approfondimento eseguite per i Comuni di Berra e di Ro precedenti alla fusione, si è posto come obiettivo la valutazione dell'effettivo grado di pericolosità sismica locale dell'area mediante la stima degli indici di rischio nelle aree identificate come "instabili" e pertanto potenzialmente suscettibili di:

- liquefazione, limitatamente alle zone 1 e 3 individuate nella fase di approfondimento precedente (presenza di terreni incoerenti, sciolti, in falda);
- densificazione, nella totalità delle zone individuate al precedente livello di analisi (terreni coesivi, soffici).

Si ricorda altresì che la totalità del territorio oggetto di studio è caratterizzata da terreni soggetti ad amplificazione del moto sismico del suolo per effetti stratigrafici; a tal proposito gli scriventi hanno ritenuto opportuno procedere con l'analisi della risposta sismica locale (RSL) mediante approccio numerico non semplificato anche per il comune di Riva del Po. Tale analisi, in linea con quanto fatto per tutti gli altri comuni appartenenti all'Unione Terre e Fiumi, ha permesso di stimare con maggiore dettaglio i valori di PGA (accelerazione orizzontale massima in superficie) utilizzati sia per la stima dell'Indice di Liquefazione a carico dei terreni granulari sia per la stima dei cedimenti post-sismici attesi nei terreni coesivi.

Il lavoro che ha portato alla redazione del presente documento è stato sviluppato nel seguente modo:

- sintesi e riepilogo delle principali informazioni desunte dai precedenti livelli di analisi;
- esecuzione di nuove indagini dirette (CPTU, sondaggi a trivella, prelievo campioni, analisi di laboratorio geotecnico) e indirette di tipo geofisico (SCPTU, profili in array con metodo attivo/passivo, misure a stazione singola del microtremore ambientale su suolo e strutture); il nuovo set di indagini realizzato ha avuto come scopo quello di integrare e completare le informazioni di carattere geologico-geotecnico-geofisico ottenute nelle fasi di studio precedenti, al fine di consentire l'analisi di risposta sismica locale e la stima dettagliata degli indici di rischio sopraccitati;
- costruzione di un modello sintetico di sottosuolo dalla superficie al "bedrock" sismico ( $V_s \approx 700-800$  m/s) in termini di spessore strati, litologia predominante all'interno del singolo strato, velocità media di propagazione delle onde S all'interno del singolo strato e curve degrado-smorzamento (comportamento dinamico dello strato);
- analisi di risposta sismica locale (RSL) sul modello sopraccitato con stima dello spettro di risposta elastico in accelerazione delle componenti orizzontali per un periodo di ritorno  $TR = 475$  anni e smorzamento convenzionale pari al 5%, e mappe di amplificazione in termini di PGA, SA1, SA2, SA3, SA4, SI1, SI2, SI3, HSM e H0408, H0711, H0515, ovvero lo scuotimento in accelerazione ( $\text{cm/s}^2$ ) atteso al sito per gli intervalli di periodi  $0,4s \leq T \leq 0,8s$ ,  $0,7s \leq T \leq 1,1s$  e  $0,5s \leq T \leq 1,5s$ ;
- stima dell'Indice di Liquefazione  $I_L$  sugli strati incoerenti entro i primi 20 m (laddove  $PGA > 0.1$  g da analisi RSL), e stima dei cedimenti post-sismici attesi a carico della frazione fine con particolare riferimento ai primi 5 m da p.c. (laddove verificate le condizioni di cui all'allegato B3 della DGR 630/2019); in entrambi i casi come parametro di input per la sollecitazione ciclica sono stati utilizzati i valori di PGA in superficie ottenuti da analisi RSL.

Si ricorda che il territorio comunale di Riva del Po, comprese le frazioni di Alberone, Berra, Cologna, Guarda Ferrarese, Ro, Ruina, Serravalle e di Zocca, è identificabile nella cartografia IGM alla scala 1:25.000 nei fogli:

186 NO Ro

186 NE Berra

187 NO Serravalle

Gli elementi in scala 1:5000 della carta C.T.R. che interessano l'intero territorio sono i seguenti:

186012

186021-186022-186023

186031-186032-186033-186034

186041-186042-186043-186044

186051-186052

186061-186063-186064

186071 - 186074

186084

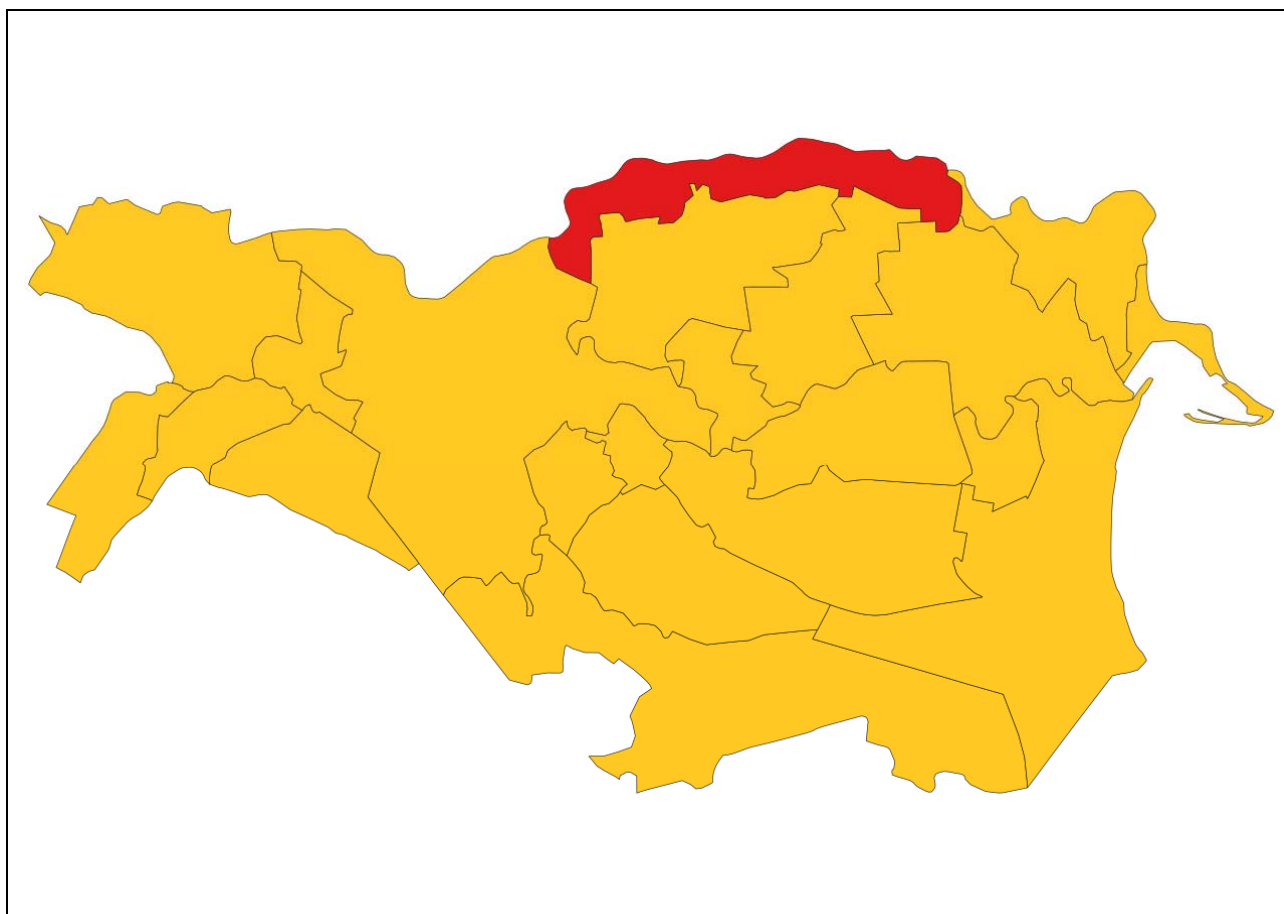
186104

187011-187012-187013-187014

187023

187051-187054

187063-187064



**Figura 1-1: Suddivisione amministrativa della provincia di Ferrara; in rosso il territorio oggetto di studio**

## 2. DEFINIZIONE DELLA PERICOLOSITÀ SISMICA DI BASE E DEGLI EVENTI DI RIFERIMENTO

### 2.1. Caratteristiche sismotettoniche generali

Il territorio comunale di Riva del Po è caratterizzato nel complesso da una sismicità di grado basso-molto basso. Dalla Carta Sismotettonica della Regione Emilia-Romagna si evince che il territorio del Comune di Riva del Po è compreso all'interno di una zona con profondità delle isobate della base *del Sintema Emiliano-Romagnolo superiore* (depositi della Pianura Padana di età compresa tra 0.45-0.35 M.a. e l'Olocene) variabile tra -150 m (settore di Ro e area ad a ovest) e tra -350 m (settore est di Serravalle). Queste profondità verranno assunte come limite basale ("bedrock" sismico) del modello di sottosuolo ai fini della risposta sismica locale (RSL) come descritto in seguito.

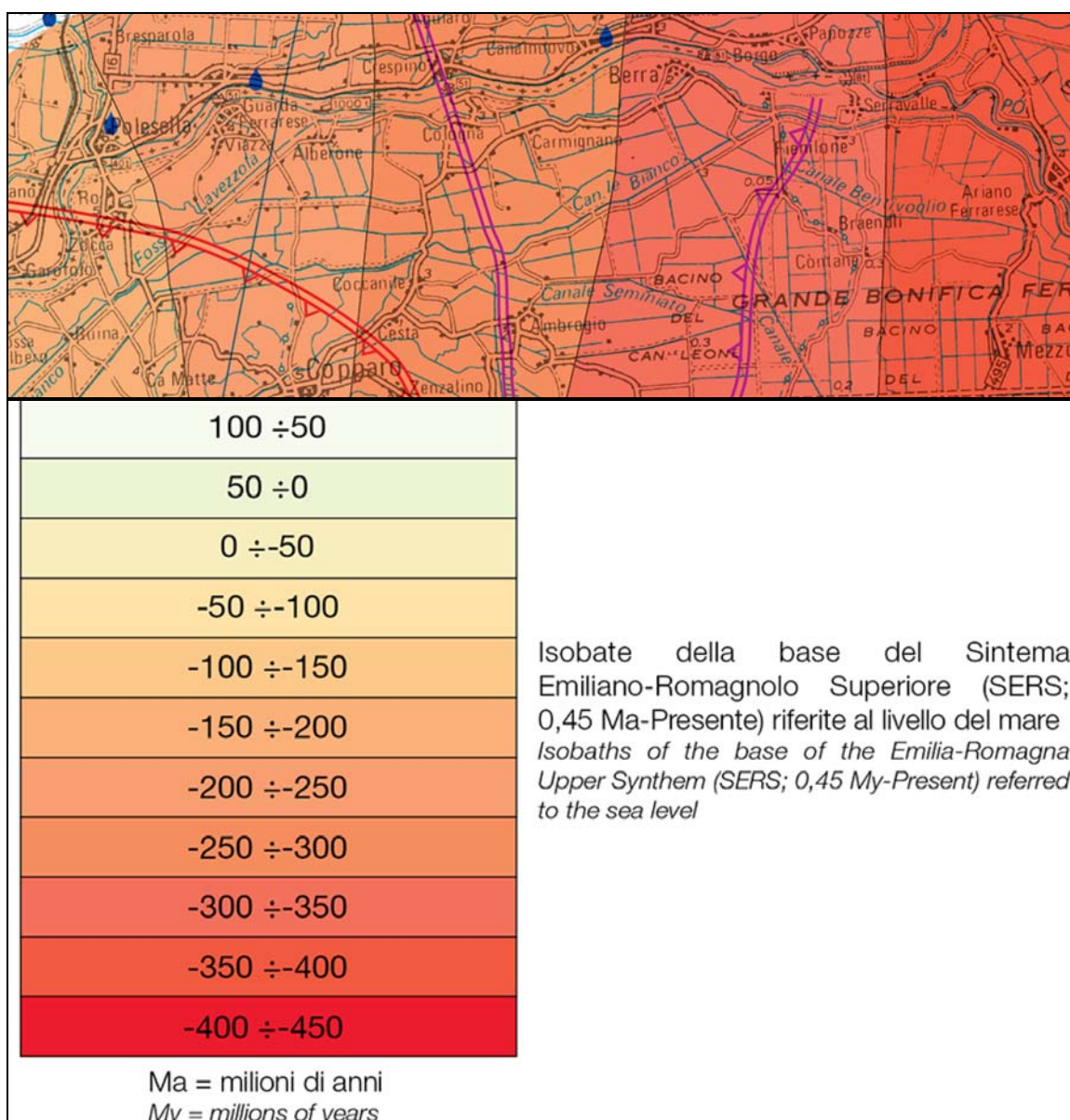
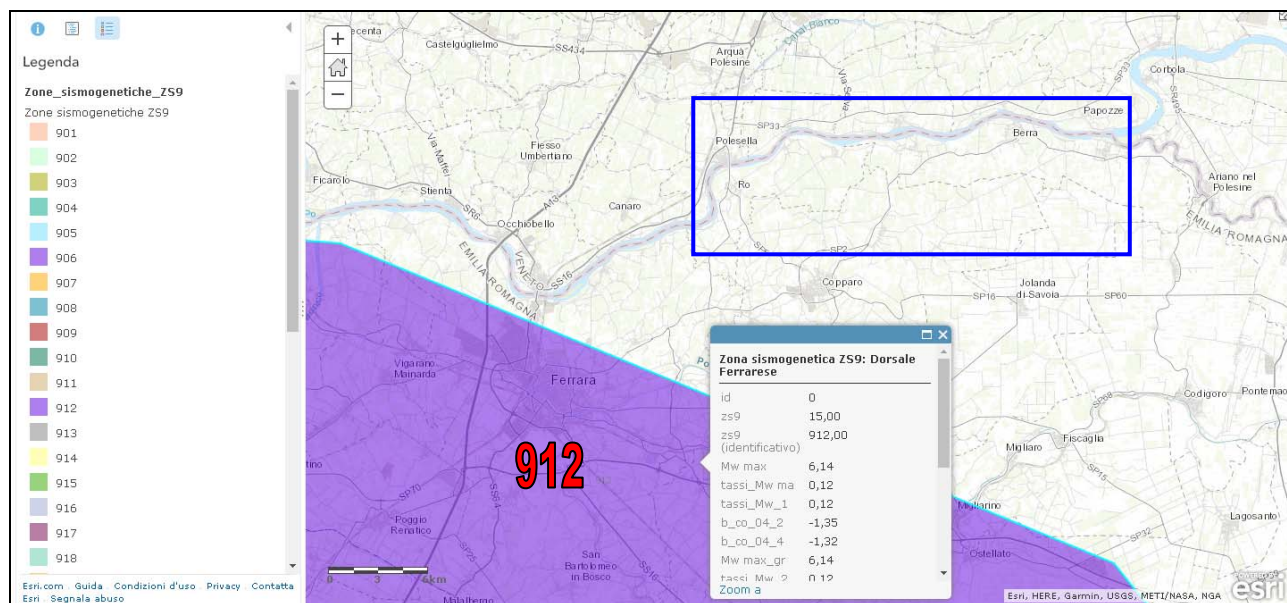


Figura 2.1-1: Estratto della Carta Sismotettonica Regione E-R e aree limitrofe

Secondo l'ultima zonazione sismogenetica pubblicata ZS9 (30/06/2012), nella quale vengono individuate per tutto il territorio italiano n. 36 zone – sorgente, denominate dal numero 901 al numero 936, i cui limiti sono stati tracciati sulla base di informazioni tettoniche o geologico-strutturali e di differenti caratteristiche della sismicità, quali distribuzione spaziale e frequenza degli eventi, massima magnitudo rilasciata, ecc., il territorio comunale di Riva del Po, a testimonianza di una sismicità nel complesso bassa e trascurabile, non rientra in alcuna zona. Inoltre l'area in esame, si colloca in posizioni esterne rispetto al sistema sismogenetico delle "pieghe ferraresi".



**Figura 2.1-2: Carta Sismogenetica d'Italia - Zone Sismogenetiche ZS9 (nel riquadro l'area oggetto di studio).**

## 2.2. Storia sismica del territorio comunale

In questo paragrafo è descritta, sinteticamente, la storia sismica del comune di Riva del Po, comune istituito con L.R. n. 17/2018 a seguito di fusione tra i Comuni di Berra e Ro. Nelle figure 2.2-1 e 2.2-2 sono evidenziati i principali eventi sismici verificatisi dall'anno 1000 a oggi, rispettivamente nel comune di Berra e nel comune di Ro. Dai grafici si evince che gli eventi sono di intensità piuttosto modesta ( $IMCS \leq 5$  per il Comune di Berra e  $IMCS \leq 6$  per il Comune di Ro) e molto sporadici; questo, almeno in parte, è dovuto ad una mancanza di dati dato che queste zone erano disabitate e palustri fino a tempi moderni.

Gli eventi principali, di intensità macrosismica  $IMCS = 5$  percepita presso il comune di Berra e di intensità macrosismica  $IMCS = 6$  percepito presso il comune di Ro, sono avvenuti rispettivamente nel 1909 e nel 1983 e hanno avuto epicentro nella zona di Bologna-Molinella e nella zona del parmense (figure 2.2-3 e 2.2-4) distanti oltre 50 Km dall'area in studio. Le Magnitudo Momento  $M_w$  associate a questi sismi sono pari rispettivamente a  $5.36 \pm 0.08$  e a  $5.04 \pm 0.10$  (INGV-CPT115).

Altro dato è quello proveniente dal sisma del 20/05/2012, con epicentro nella zona di Finale Emilia (MO), con distanze dal sito in studio di oltre 50 Km. Lo scuotimento registrato dalla stazione accelerometrica più vicina (circa 10 Km dal sito) è quella di Coccabile (sigla in codice "CPC" – da Italian Accelerometric Archive ITACA 2.3). Essa ha registrato valori massimi di  $PGA = 33.167 \text{ cm/s}^2$  ( $= 0.033 \text{ g}$ ) sulla componente orizzontale. Il sisma, di Magnitudo Momento  $M_w = 6.1$ , è avvenuto a una distanza epicentro-stazione di misura pari a 48.4 Km.

Questi dati, con particolare riferimento a magnitudo momento e distanze epicentrali, sono stati utilizzati per la selezione degli accelerogrammi di input ai fini dell'analisi di risposta sismica locale come descritto in seguito.

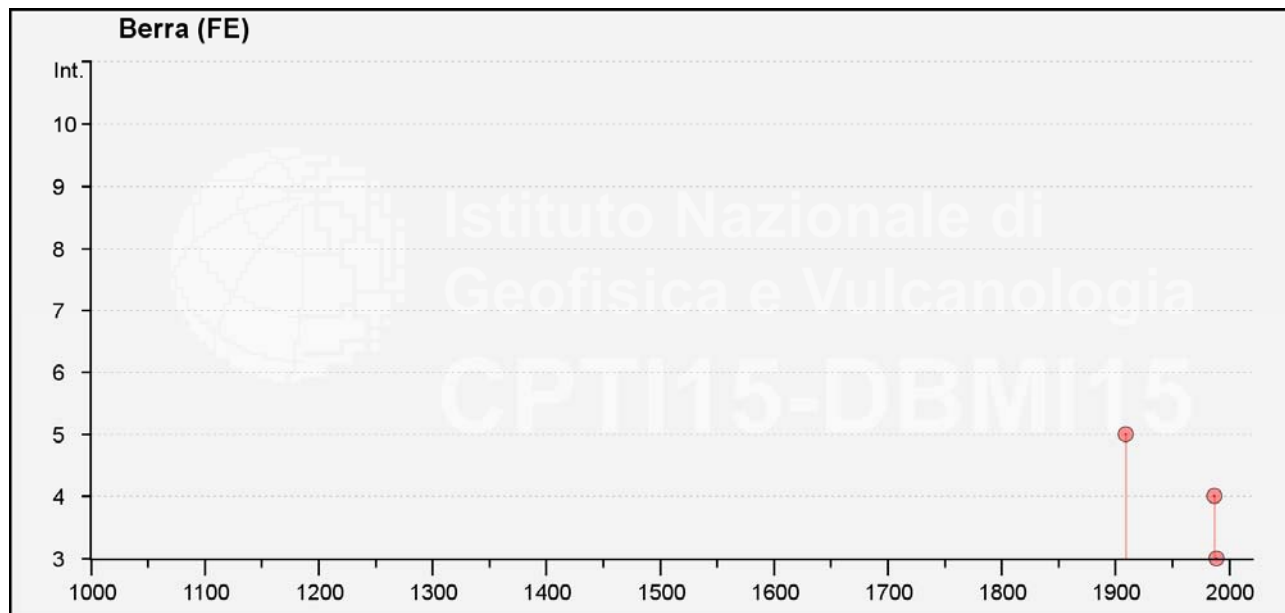


Figura 2.2-1: Eventi sismici Berra (FE) da CPTI15 E DBM15 – INGV

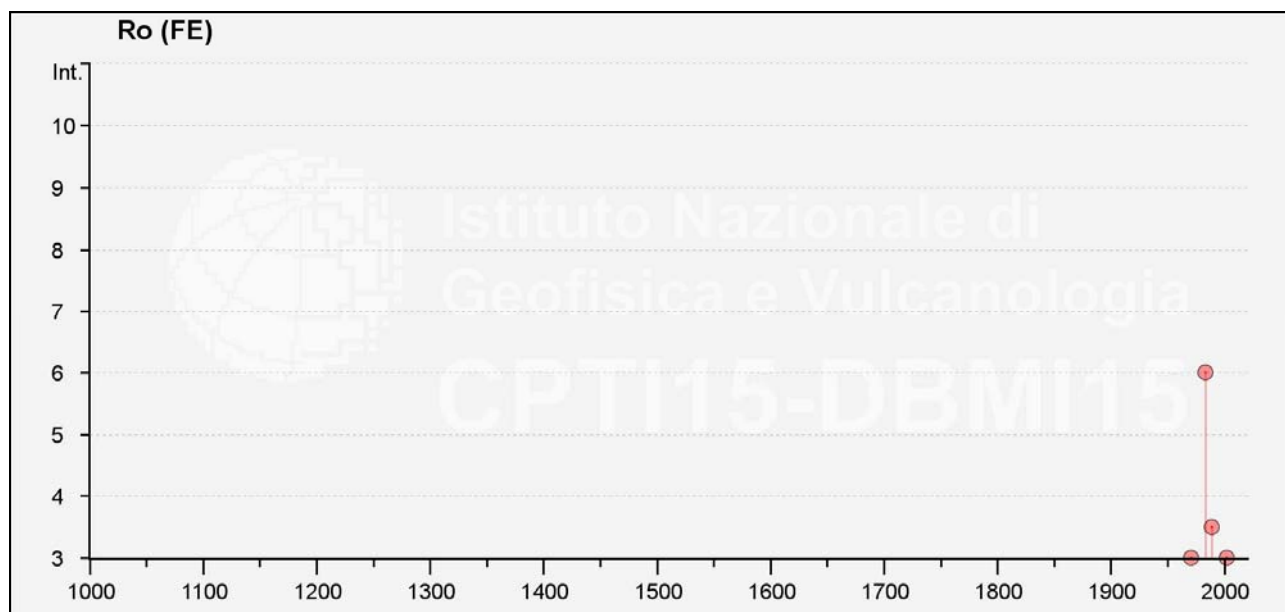


Figura 2.2-2: Eventi sismici Ro (FE) da CPTI15 E DBM15 - INGV

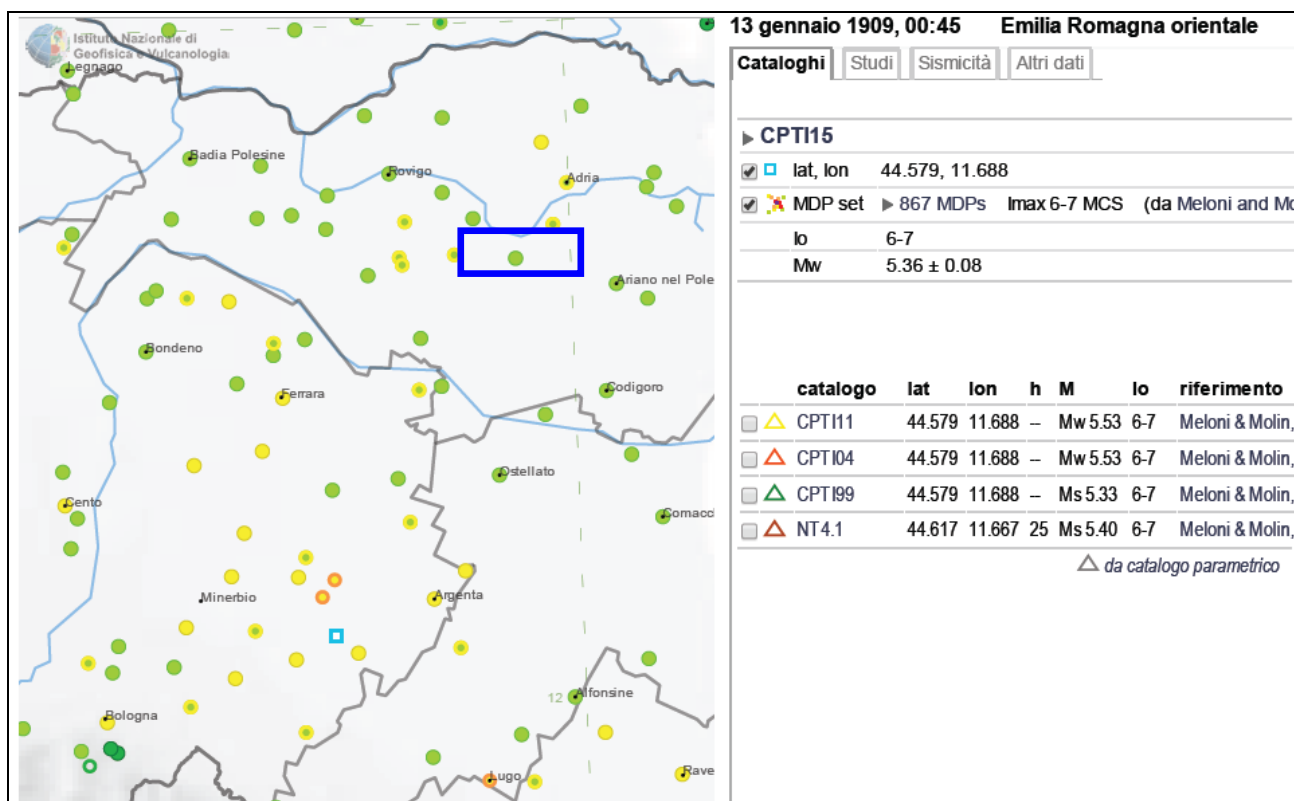


Figura 2.2-3: Localizzazione epicentro dell'evento principale che ha causato i maggiori effetti macrosismici sul comune di Berra (FE) e valori di magnitudo associati. Nel riquadro l'area di interesse.

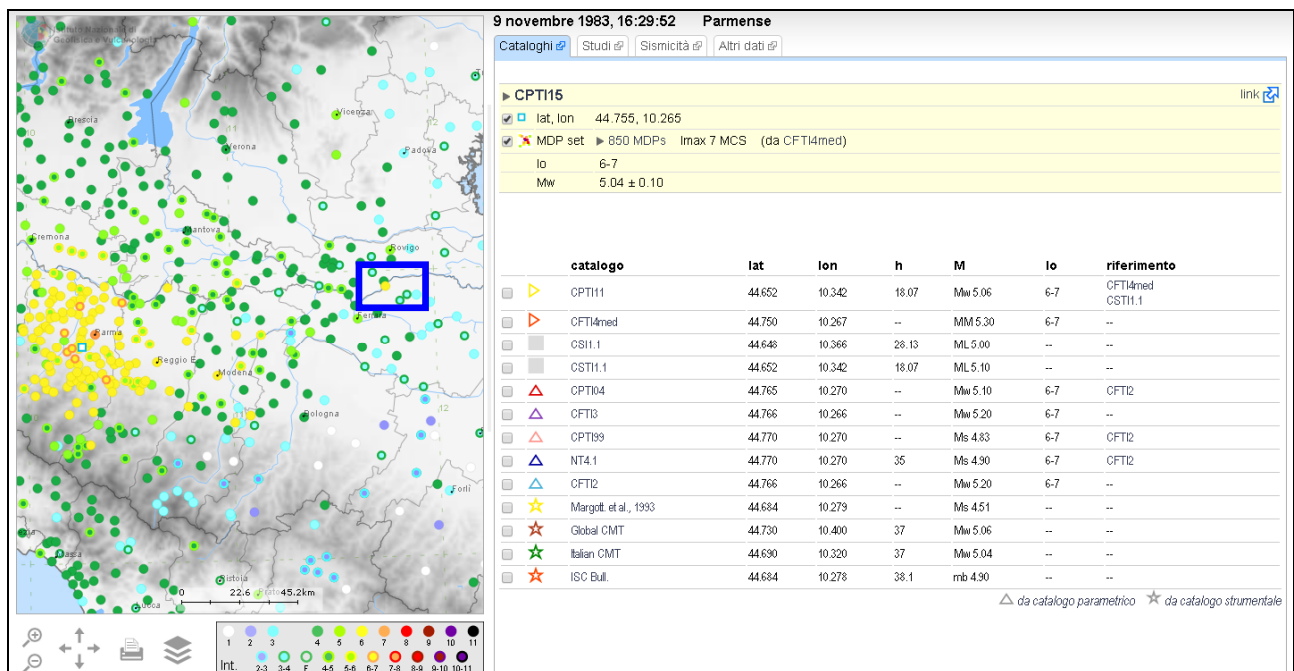
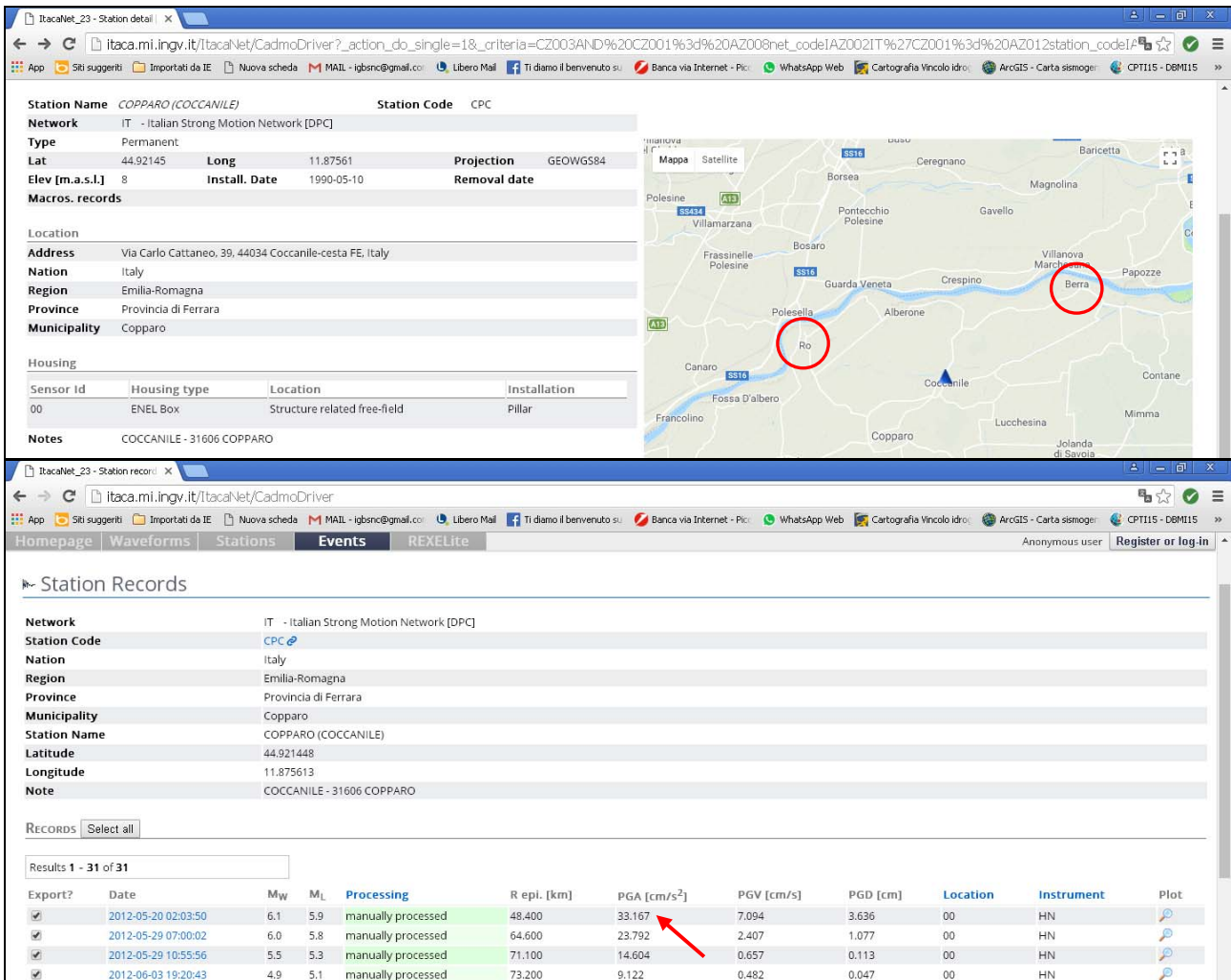


Figura 2.2-4: Localizzazione epicentro dell'evento principale che ha causato i maggiori effetti macrosismici sul comune di Ro (FE) e valori di magnitudo associati. Nel riquadro l'area di interesse.



**Figura 2.2-5 – Stazione di Coccanile “CPC” (Italian Accelerometric Archive) e dati provenienti dal sisma 2012 (nei cerchi rossi il sito in studio; il triangolo blu rappresenta la stazione accelometrica)**

### 2.3. Pericolosità sismica di base sito specifica

Nell'allegato 4 della DGR 2193/2015, la pericolosità sismica di base di ciascun punto del territorio regionale è definita sulla base di una griglia di nodi ai quali è associato un valore di  $a_{refg}$  determinato come l'accelerazione orizzontale di base espressa in frazioni percentuali dell'accelerazione di gravità ( $g = 9.81 \text{ m/s}^2$ ).

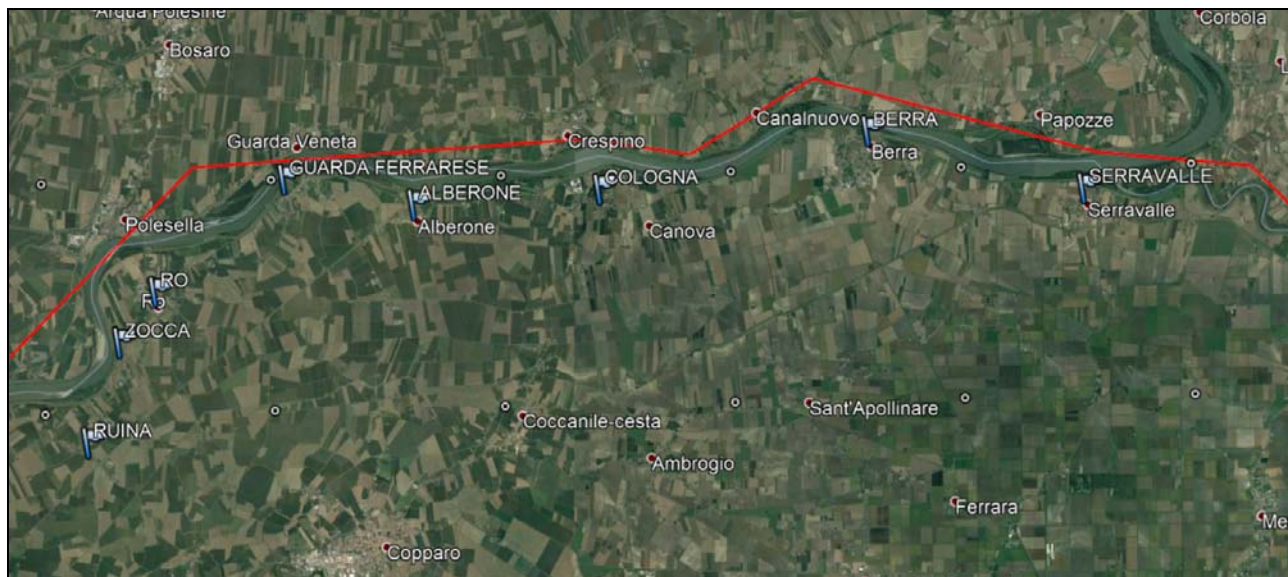
Il territorio regionale è suddiviso in una griglia di nodi (allegato 4 – DGR 2193/2015 e DGR 630/2019). A ciascun nodo corrisponde uno specifico valore di  $a_{refg}$  (allegato 4 – DGR 2193/2015) e uno specifico valore di  $ASl_{0.1-0.5}/0.4s$ . Nelle figure 2.3-1 e 2.3-2 è riportato nel dettaglio il territorio comunale di Riva del Po con i nodi ricadenti in corrispondenza dell'area di studio e nelle immediate vicinanze. I valori di riferimento di  $a_{refg}$  e di  $ASl_{0.1-0.5}/0.4s$ , selezionati nel presente studio, sono associati ai punti griglia più vicini al comune capoluogo o alla frazione considerata.

La pericolosità sismica di base secondo la DGR 630/2019 è definita per un Periodo di Ritorno  $T_R$  pari a 475 anni con probabilità di eccedenza del 10% in 50 anni.

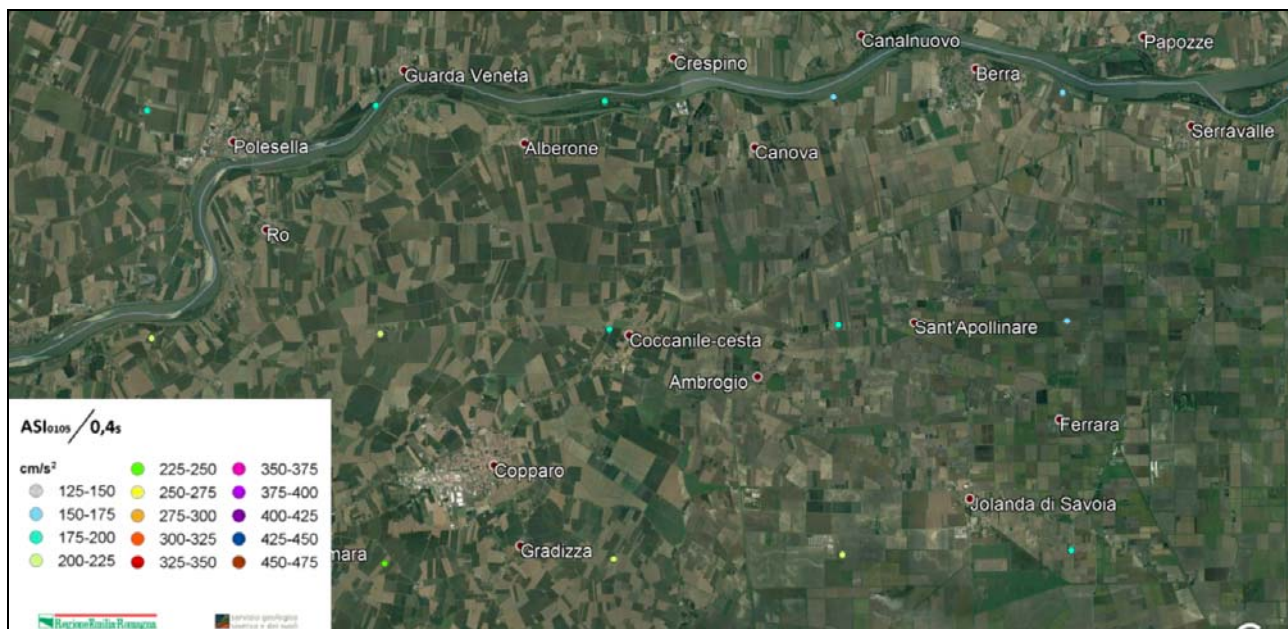
Considerando i nodi più vicini, spostandosi da sud-ovest verso nord-est (dalla frazione di Ruina verso Alberone passando per Ro e dalla frazione diologna verso Serravalle passando per Berra), i valori di  $a_{refg}$

diminuiscono progressivamente passando da valori di **0.0934 g (zona di Ruina)**, a valori di **0.0748 g (zona di Guarda Ferrarese)**, di **0.0708 g (zona di Alberone-Cologna)**, a valori di **0.0674 g (Cologna-Berra)**, di **0.0644 g (Berra-Serravalle)** e di **0.0626 g (zona di Serravalle)**.

Questi valori sono stati utilizzati, come descritto in seguito, per scalare gli accelerogrammi di input utilizzati nell'analisi di risposta sismica locale.



**Figura 2.3-1: nodi identificativi della pericolosità sismica di base (valori di  $a_{refg}$  o  $PGA_0$  riportati nel testo) per il territorio comunale di Riva del Po (FE) e sue frazioni.**

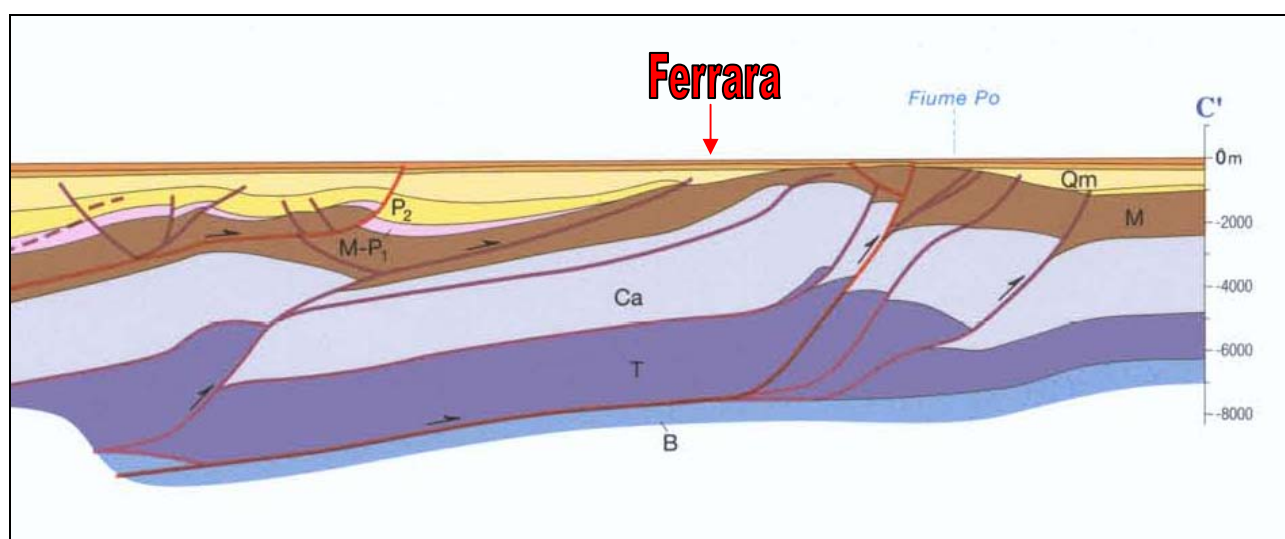


**Figura 2.3-2: nodi identificativi del parametro Acceleration Spectrum Intensity (ASI<sub>UHS</sub>) per il territorio comunale di Riva del Po (FE) e sue frazioni.**

### 3. ASSETTO GEOLOGICO, IDROGEOLOGICO E GEOMORFOLOGICO DELL'AREA

#### 3.1 Assetto geologico e idrogeologico

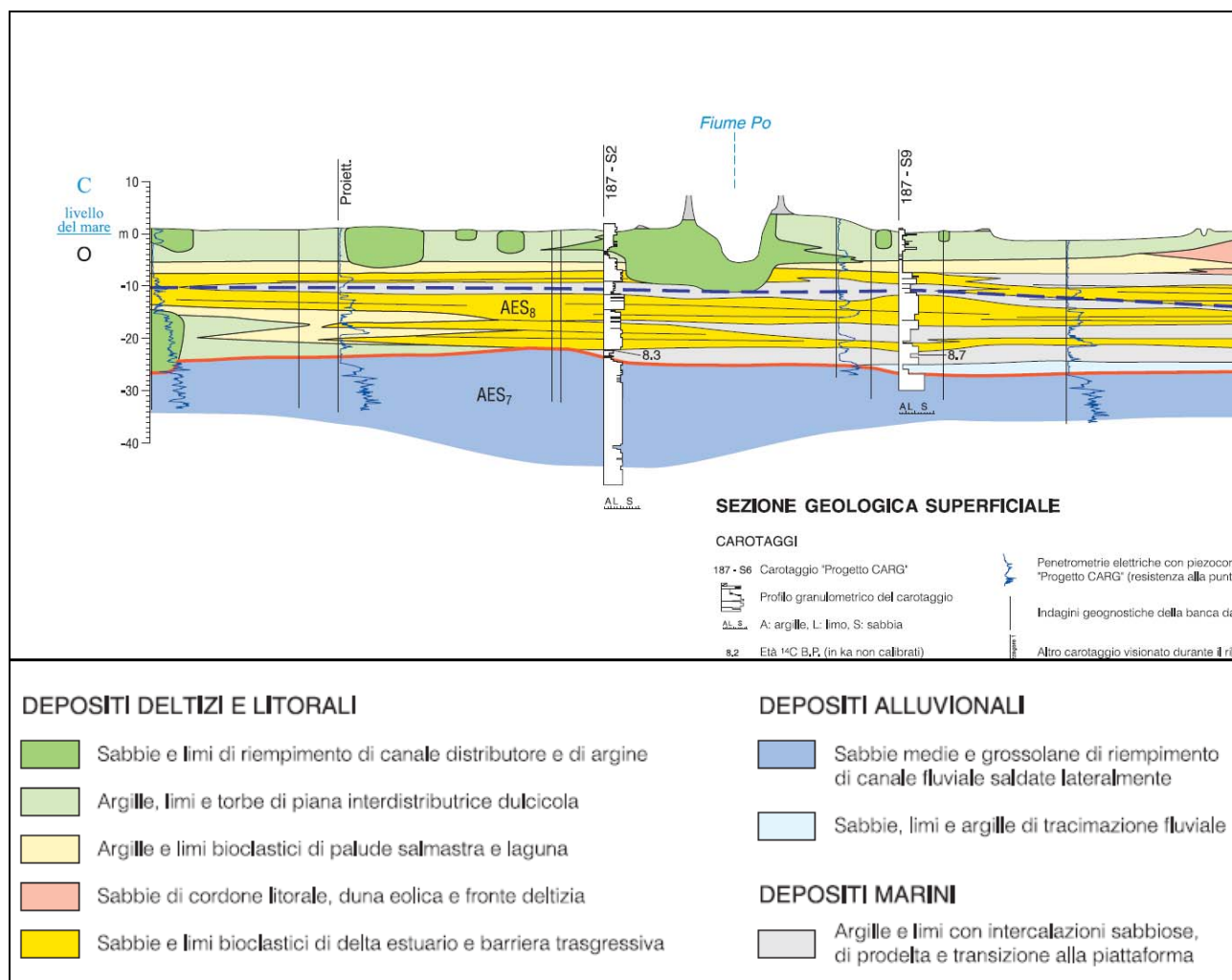
Il territorio comunale di Riva del Po si colloca nel settore sud orientale della pianura padana in destra idrografica del Fiume Po il cui corso scorre immediatamente a nord. Il paesaggio, piatto e uniforme, è interrotto e dominato dagli argini del Grande Fiume. Il comune capoluogo e le sue frazioni si posizionano subito prima dell'inizio del delta del Po in un'area attualmente di piana fluvio-deltizia caratterizzata da quote medie comprese tra circa -2 m e + 2 m s.l.m.



**Figura 3.1-1: Dettaglio della sezione C-C' della Carta Sismotettonica della Regione E-R (assetto strutturale profondo della pianura padana sud-orientale)**

Nello specifico il settore di studio si identifica nella pianura fluvio-deltizia orientale del Fiume Po, caratterizzata in profondità dall'alternanza di potenti corpi sabbiosi molto estesi lateralmente e sedimenti fini (limi-argille). Le **sabbie** derivano dalla sedimentazione del **Fiume Po** e sono presenti in strati amalgamati tra loro in modo tale da formare livelli molto spessi, anche diverse decine di metri, ed estesi per svariati chilometri. Questi corpi sabbiosi sono presenti in genere a profondità variabili da circa 15 a circa 25 m e sono di **età pleistocenica** (*canali distributori principali – piana alluvionale pleistocenica*).

Procedendo verso la superficie, al di sopra delle sabbie pleistoceniche si trovano pacchi di sedimenti più fini di *età olocenica* costituiti prevalentemente da limi più o meno argillosi, argille e subordinatamente da sabbie limose e sabbie in strati di spessore contenuto. Si tratta di **depositi olocenici di piana deltizia** del fiume Po, dove i **sedimenti sabbiosi** identificano antichi **canali distributori minori** o secondari di piana deltizia, depositi di argine e tracimazione; i depositi più fini (**limi argillosi-argille e talora torbe**) rappresentano invece le **aree cosiddette interdistributrici**, ossia aree poste tra i diversi canali distributori che solcavano la piana deltizia. Queste aree venivano frequentemente interessate da allagamenti a seguito delle esondazioni dei canali distributori e pertanto erano interessate da sedimentazione relativamente più fine. Spesso sono presenti anche argille ricche in sostanza organica e livelli torbosi che fungono da livelli guida e testimoniano la presenza in passato di ampie zone palustri formatesi all'interno di conche morfologiche (valli) dove l'acqua ristagnava per tempi molto lunghi dopo le naturali esondazioni dei canali distributori.



**Figura 3.1-2: Stralcio della sezione geologica superficiale 073 – Regione Emilia-Romagna. Schema dell'assetto geologico del settore in studio.**

 <b>Synthesis s.r.l.</b> Piazza del Popolo civ. 13 – int. 5 44034 – Copparo – Fe Tel. 0532 860546 – Fax 0532 091680 www.synthesisr.com – info@synthesisr.com	STUDIO DI MICROZONAZIONE SISMICA DI III° LIVELLO <b>Relazione Illustrativa</b>	RIF. 020/20-EB-REV00 DEL 04/2020
--	---	-------------------------------------

#### 4. DATI GEOTECNICI E GEOFISICI

Lo studio di microzonazione sismica di III livello di approfondimento dei Comuni di Berra e di Ro ha visto l'esecuzione di una serie di indagini dirette e indirette allo scopo, come già accennato in premessa, di integrare e completare le informazioni di carattere geologico-geotecnico e geofisico ricavate durante le fasi di approfondimento precedenti.

Le indagini dirette sono state volutamente realizzate nelle aree maggiormente interessate da paleocanali o tracce di percorsi fluviali (canali distributori minori e sabbie pleistoceniche del Po) con lo scopo di investigare terreni potenzialmente soggetti a liquefazione e fornire stime circa la pericolosità. Le stesse prove sono servite anche per il corretto studio dei depositi coesivi soffici di area interdistributrice e palude (cedimenti post-sismici attesi), sempre presenti alla scala dell'intero territorio nei primi 20 m di profondità come ampiamente rilevato nelle analisi di II livello di approfondimento.

Le indagini indirette sono invece servite a definire con sempre maggiore dettaglio le velocità di propagazione delle onde S dalla superficie al bedrock sismico, naturalmente con maggiore affidabilità e accuratezza entro i primi 30 m.

I dati complessivamente desunti dalla campagna geognostica attuale, unitamente a quelli ottenuti dalle indagini pregresse eseguite nel corso del II livello di approfondimento, hanno permesso di raggiungere gli obiettivi dello studio: analisi di risposta sismica locale (fattori di amplificazione e spettri di risposta), indici di rischio e parametri quantitativi delle aree instabili (Indice di liquefazione e cedimenti attesi).

Le prove eseguite per lo studio di microzonazione sismica di III Livello dei Comuni di Berra e di Ro sono di seguito elencate:

##### ZOCCA E RUINA FRAZIONI

- n. 1 Indagine geofisica mediante profilo in array con tecnica MASW (Zocca) e n. 1 misura a stazione singola del microtremore ambientale con metodo HVSR (Ruina).

##### RO FRAZIONE

- n. 2 CPTU spinte fino a 20 m di profondità da p.c. attuale;
- n. 2 sondaggi a trivella spinti fino a 6.80 m di profondità da p.c. attrezzati con piezometro e prelievo di n. 2 campioni di terreno rimaneggiato per analisi di laboratorio geotecnico;
- n. 1 sondaggio a carotaggio continuo a rotazione spinto fino a circa 21 m da p.c. con prelievo di n. 2 campioni per analisi di laboratorio finalizzate alla descrizione del comportamento dinamico del terreno (prove in colonna risonante);
- n.1 profilo sismico in array bidimensionale con tecnica ESAC;
- n. 1 indagine a stazione singola con misura del microtremore ambientale (forzante) per l'analisi sperimentale speditiva del comportamento dinamico di una struttura; nel caso specifico la misura è stata eseguita sull'edificio sede del Municipio di Ro.

##### GUARDA FERRARESE FRAZIONE

- n. 1 misura a stazione singola del microtremore ambientale con metodo HVSR (microtremore ambientale).

##### ALBERONE FRAZIONE

- n. 1 SCPTU spinta fino a 30 m di profondità da p.c. attuale;
- n. 1 sondaggio a trivella spinto fino a 7.80 m di profondità da p.c. attrezzato con piezometro e prelievo di n. 1 campione di terreno rimaneggiato per analisi di laboratorio geotecnico;
- n. 1 misura a stazione singola del microtremore ambientale con metodo HVSR.

	<b>Synthesis s.r.l.</b> Piazza del Popolo civ. 13 – int. 5 44034 – Copparo – Fe Tel. 0532 860546 – Fax 0532 091680 www.synthesisr.com – info@synthesisr.com	STUDIO DI MICROZONAZIONE SISMICA DI III° LIVELLO <b>Relazione Illustrativa</b>	RIF. 020/20-EB-REV00 DEL 04/2020
--	---	---	-------------------------------------

#### COLOGNA FRAZIONE

- n. 1 CPTU spinta fino a 20 m di profondità da p.c. attuale;
- n. 1 sondaggio a trivella spinto fino a 4.80 m di profondità da p.c. attrezzato con piezometro e prelievo di n. 1 campione di terreno rimaneggiato per analisi di laboratorio geotecnico;
- n. 1 indagine geofisica mediante profilo in array con tecnica MASW e n. 1 misura a stazione singola del microtremore ambientale con metodo HVSR.

#### BERRA CAPOLUOGO

- n. 1 SCPTU spinta fino a 30 m di profondità da p.c. attuale;
- n. 1 CPTU spinta fino a 20 m di profondità da p.c. attuale;
- n. 2 sondaggi a trivella spinti fino a 5.80 m di profondità da p.c. attrezzati con piezometro e prelievo di n. 3 campioni di terreno rimaneggiato e n. 1 campione di terreno indisturbato per analisi di laboratorio geotecnico (il campione indisturbato è stato prelevato con campionatore shelby);
- n. 1 indagine a stazione singola con misura del microtremore ambientale (forzante) per l'analisi sperimentale speditiva del comportamento dinamico di una struttura; nel caso specifico la misura è stata eseguita sull'edificio sede del Municipio di Berra.

#### SERRAVALLE FRAZIONE

- n. 1 indagine geofisica mediante profilo in array con tecnica MASW e n. 1 misura a stazione singola con metodo del microtremore ambientale con metodo HVSR;
- n. 1 indagine geofisica mediante profilo in array bidimensionale con tecnica ESAC.

Si ricorda che le indagini sopraelencate integrano le n. 350 indagini, in gran parte provenienti dall'archivio interno degli scriventi, distribuite sull'intero territorio comunale e costituite da indagini di tipo geotecnico, geologico e geofisico già considerate e analizzate durante la fase di studio precedente (Livello II dei Comuni di Berra e di Ro).

#### **4.1. Parametri geotecnici**

Le prove eseguite per l'analisi di III livello di approfondimento dei Comuni di Berra e di Ro hanno confermato in toto l'assetto del sottosuolo alla scala dell'intero territorio comunale sia dal punto di vista litostratigrafico sia per quanto riguarda la consistenza e quindi la qualità dei terreni presenti.

Si distinguono in generale 3 tipologie di depositi:

- sabbie e sabbie limose prevalenti (canali distributori, argini, tracimazioni);
- limi argillosi e argille limose prevalenti con subordinate intercalazioni di limi sabbiosi (aree interdistributrici);
- argille organiche e torbe prevalenti (paludi, zone depresse con ristagno prolungato delle acque di esondazione).

Le sabbie di canale distributore del Po, costituenti la piana alluvionale pleistocenica, sono generalmente caratterizzate da valori elevati di resistenza alla punta (in media  $R_p > 50/100 \text{ Kg/cm}^2$ ) e presumibilmente sono costituite da sabbie medio-grossolane addensate/mediamente addensate ( $D_r \geq 50\%$ ). Le sabbie pleistoceniche sono presenti con grande continuità alla scala dell'intero territorio comunale di Riva del Po per profondità in genere  $\geq 20 \text{ m}$ . Il tetto di tali sabbie mostra comunque variazioni dell'ordine di qualche metro spostandosi da punto a punto.

Le sabbie dei canali distributori minori, che si trovano e si intrecciano a vari livelli lungo la piana interdistributrice (profondità in genere  $< 20 \text{ m}$ ), sono invece caratterizzate da valori di  $R_p$  decisamente inferiori, che in genere non superano i  $50 \text{ Kg/cm}^2$ ; il loro grado di addensamento è generalmente medio-

 <b>Synthesis s.r.l.</b> Piazza del Popolo civ. 13 – int. 5 44034 – Copparo – Fe Tel. 0532 860546 – Fax 0532 091680 www.synthesisr.com – info@synthesisr.com	STUDIO DI MICROZONAZIONE SISMICA DI III° LIVELLO <b>Relazione Illustrativa</b>	RIF. 020/20-EB-REV00 DEL 04/2020
--	---	-------------------------------------

scarso ( $D_r < 50\%$ ). Si tratta probabilmente di sabbie molto sporche, limose o addirittura di limi sabbiosi. Questi depositi sono presenti con grande discontinuità e variabilità in termini di spessore, profondità ed estensione laterale.

I depositi argillosi e limoso argillosi di area interdistributrice sono, nel complesso, caratterizzati da valori di  $R_p$  piuttosto modesti, a testimonianza di un grado medio di compattezza da soffice a moderato. In generale, i valori di coesione non drenata ( $C_u$ ), ottenuti per correlazione con i valori di  $R_p$  misurati durante le numerose prove esaminate, sono in genere inferiori a  $0.70 \text{ Kg/cm}^2$  (70 KPa). Questi depositi si rinvencono in modo omogeneo e continuo alla scala dell'intero territorio comunale e sono sicuramente caratterizzati da un'elevata compressibilità.

I depositi francamente torbosi o costituiti da argille organiche sono i più soffici in assoluto, con valori molto scarsi di  $R_p$  ( $R_p < 0.20 \text{ Kg/cm}^2$ ) ed elevata compressibilità. Sono presenti in modo discontinuo, spesso sottoforma di sottili (spessore decimetrico o pluridecimetrico) e ripetuti livelli di intercalazione.

Di seguito si riportano i grafici ottenuti dalle prove dirette con andamento dei principali parametri geotecnici utili per le finalità del presente studio (litotipo-*Behaviour Type*, densità relativa-*relative density*, angolo di attrito-*friction angle*, coesione non drenata-*shear strenght  $S_u$* ).

In adiacenza alle singole verticali di indagine CPTU-SCPTU, sulla scorta delle informazioni stratigrafiche desunte dalle prove stesse, sono stati eseguiti i sondaggi a trivella con prelievo di campioni sia nel terreno fine coesivo sia nel terreno relativamente più grossolano e incoerente di natura sabbiosa. Lo scopo del prelievo è stato quello di sottoporre i campioni ad analisi di laboratorio geotecnico mirate a determinare il grado di plasticità dei terreni coesivi (Indice Plastico IP) e la curva granulometrica dei terreni sabbiosi. In quest'ultimo caso la curva granulometrica è stata confrontata con i fusi di riferimento indicati dalla DGR630/2019 per lo studio della potenziale liquefacibilità dei depositi incoerenti.

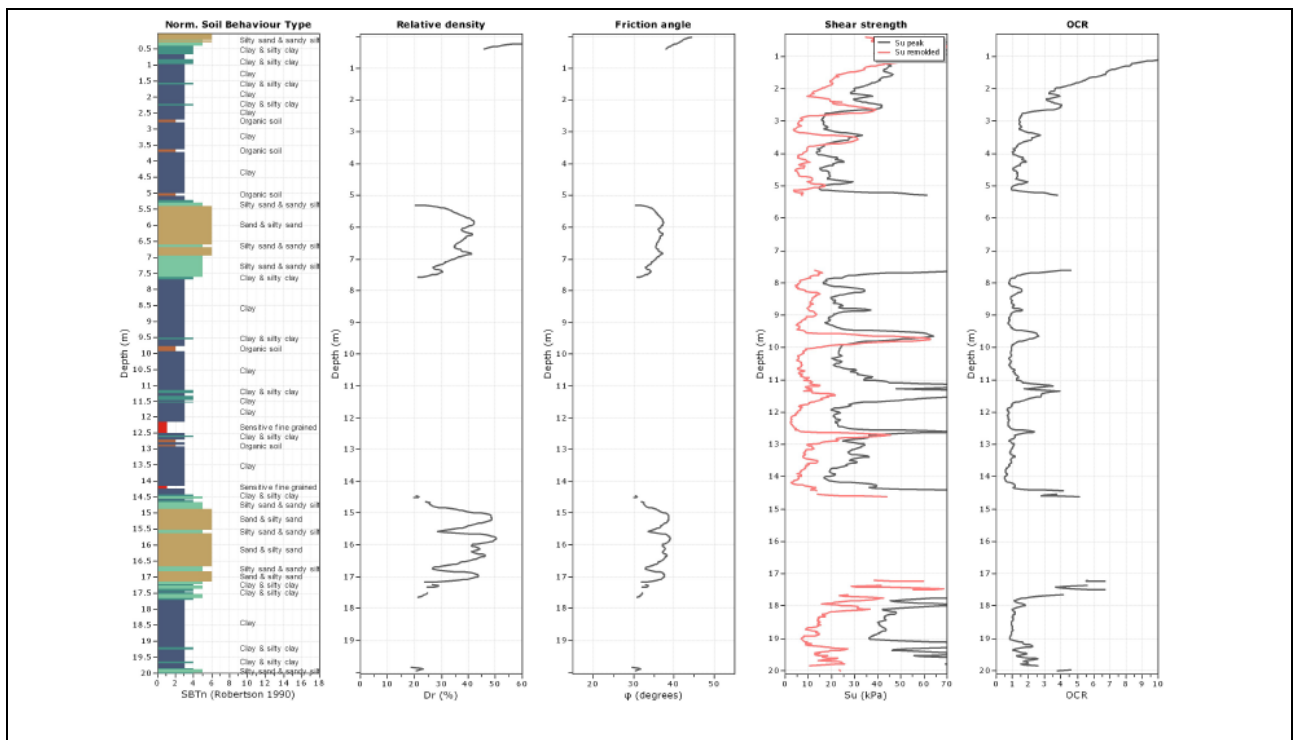
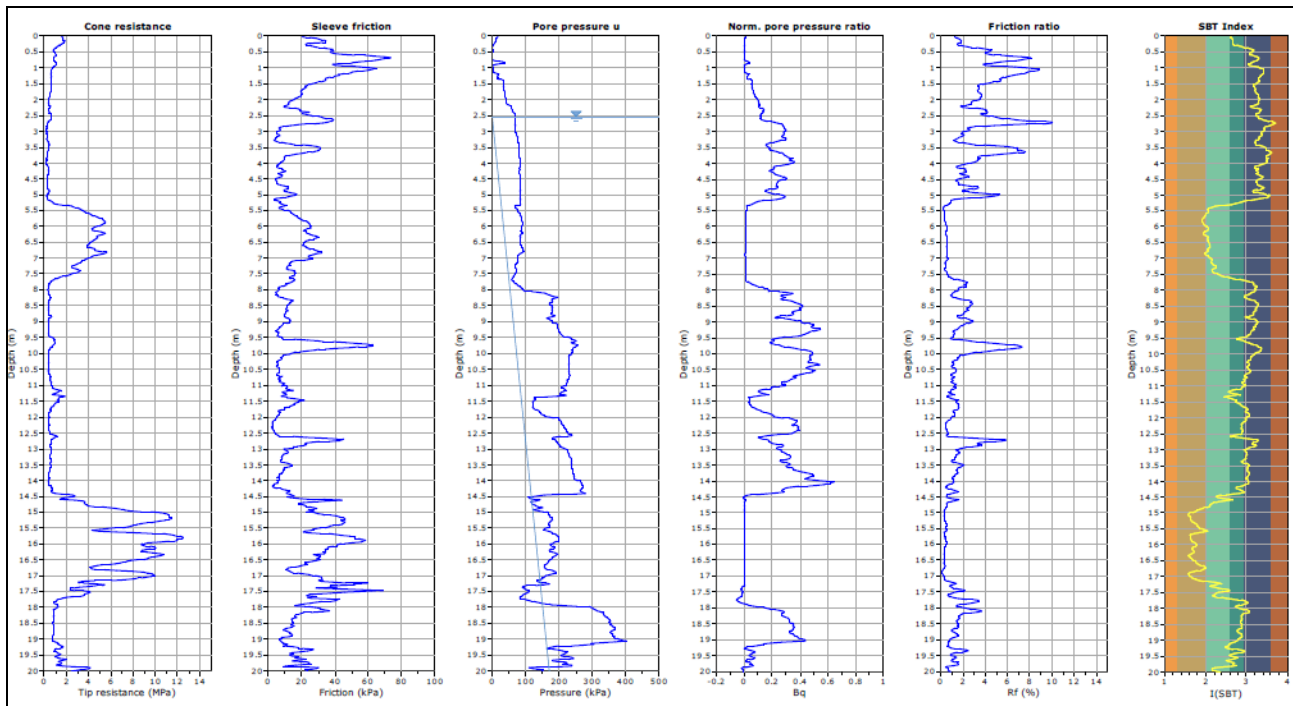


Figura 4.1-1 - CPTU2 Valori di resistenza (Berra capoluogo)

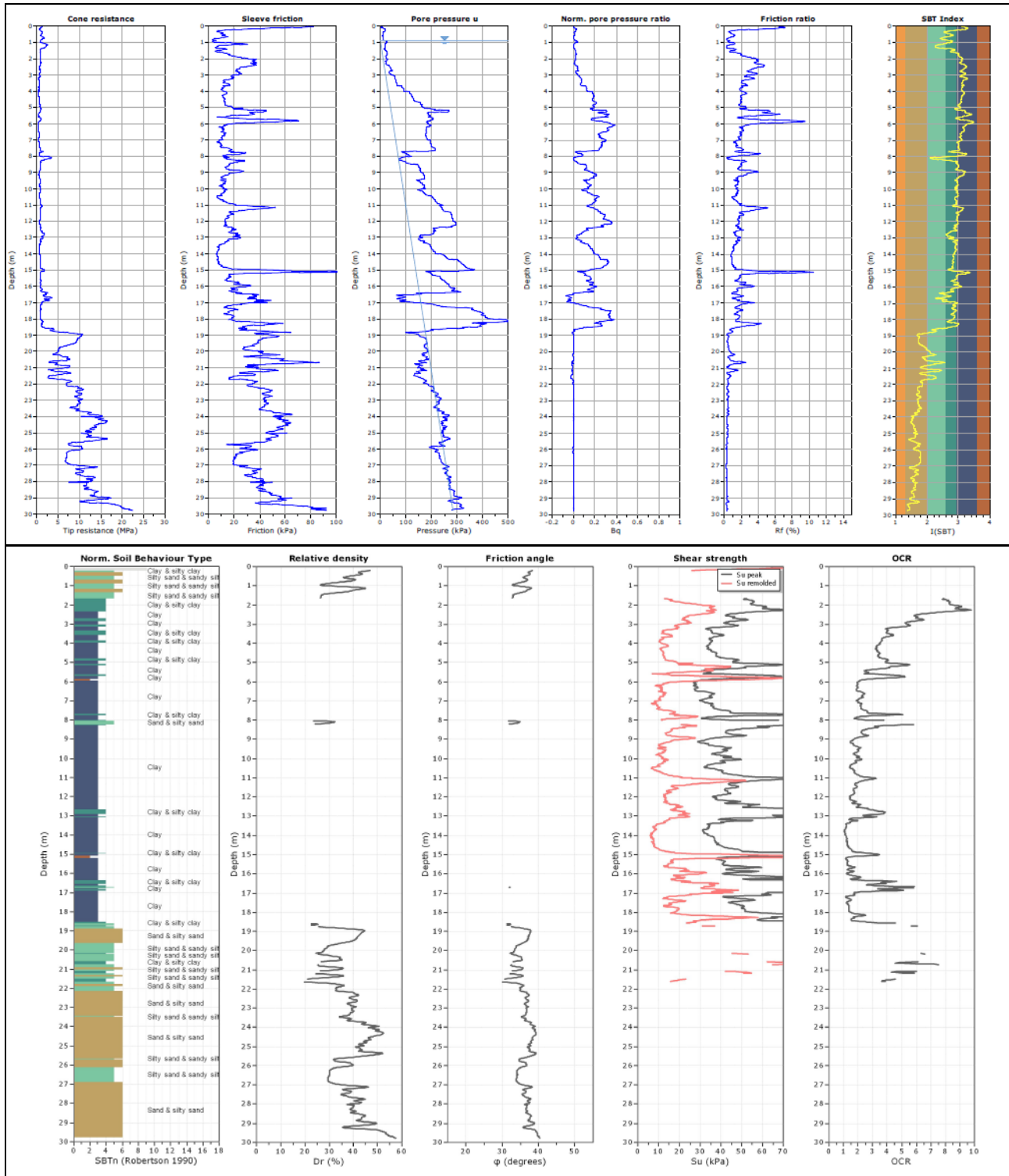


Figura 4.1-2 - SCPTU1 Valori di resistenza (Berra capoluogo)

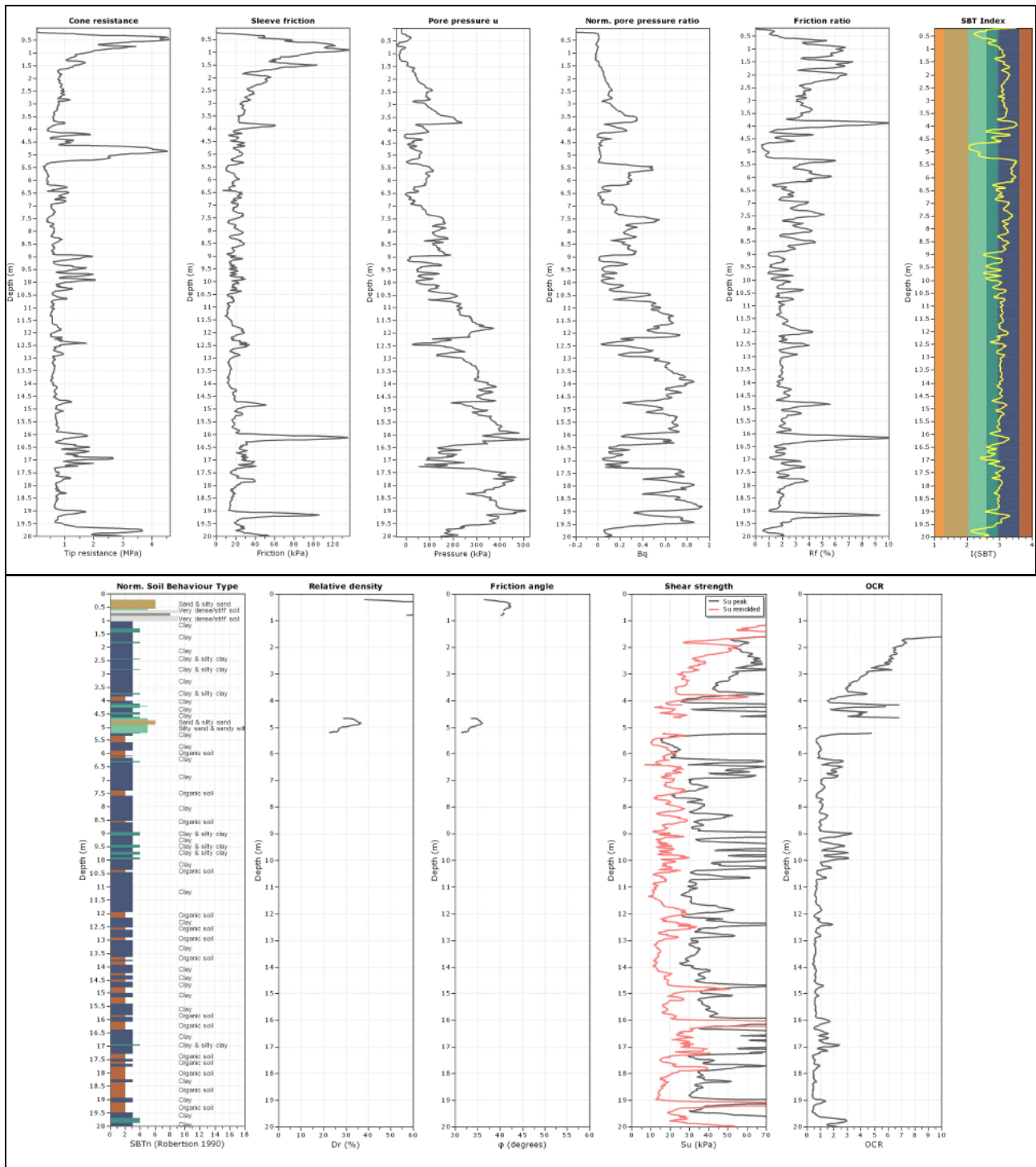


Figura 4.1-3 - CPTU Valori di resistenza (Cologna)

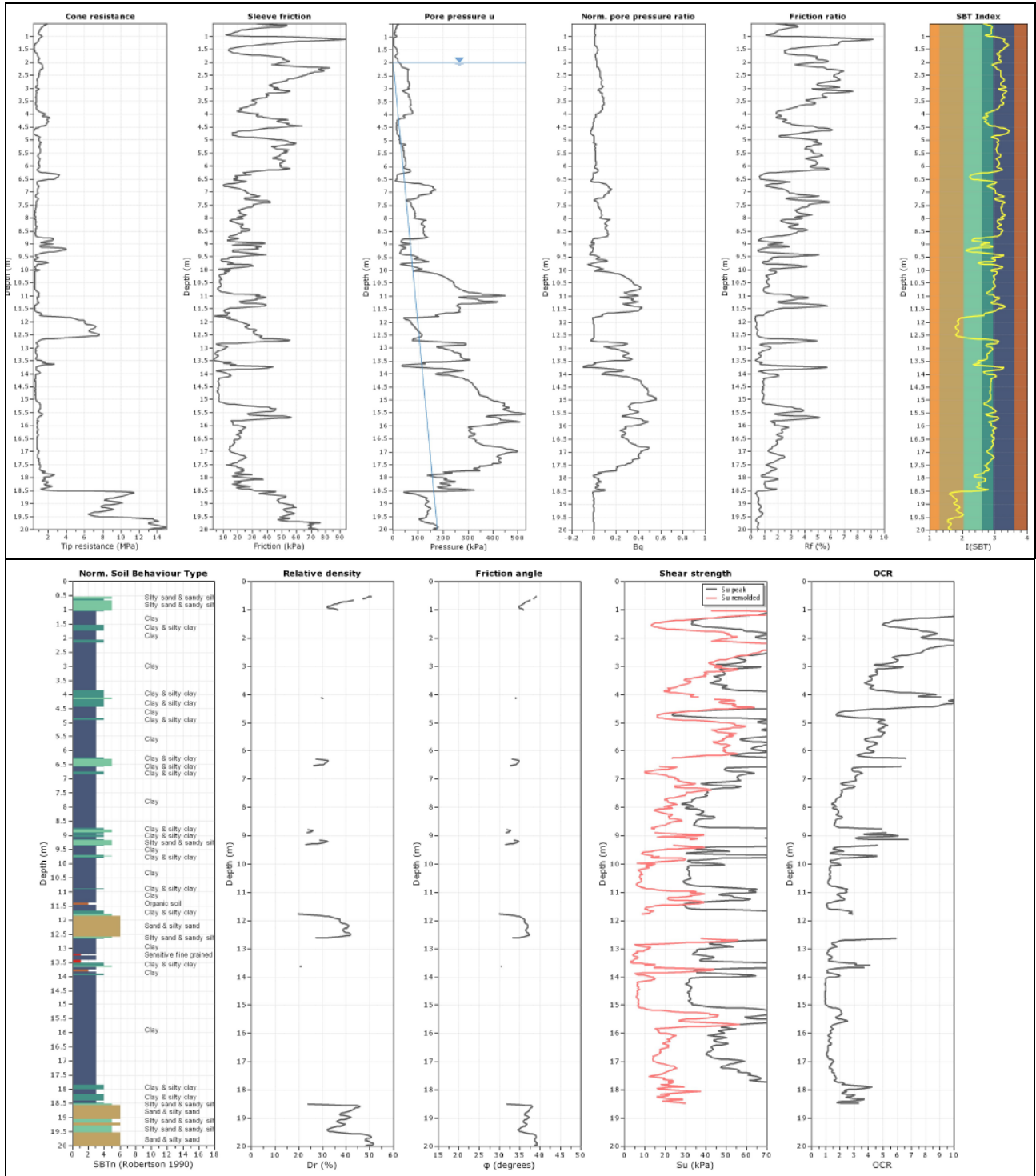


Figura 4.1-4 CPTU8 (Ro)

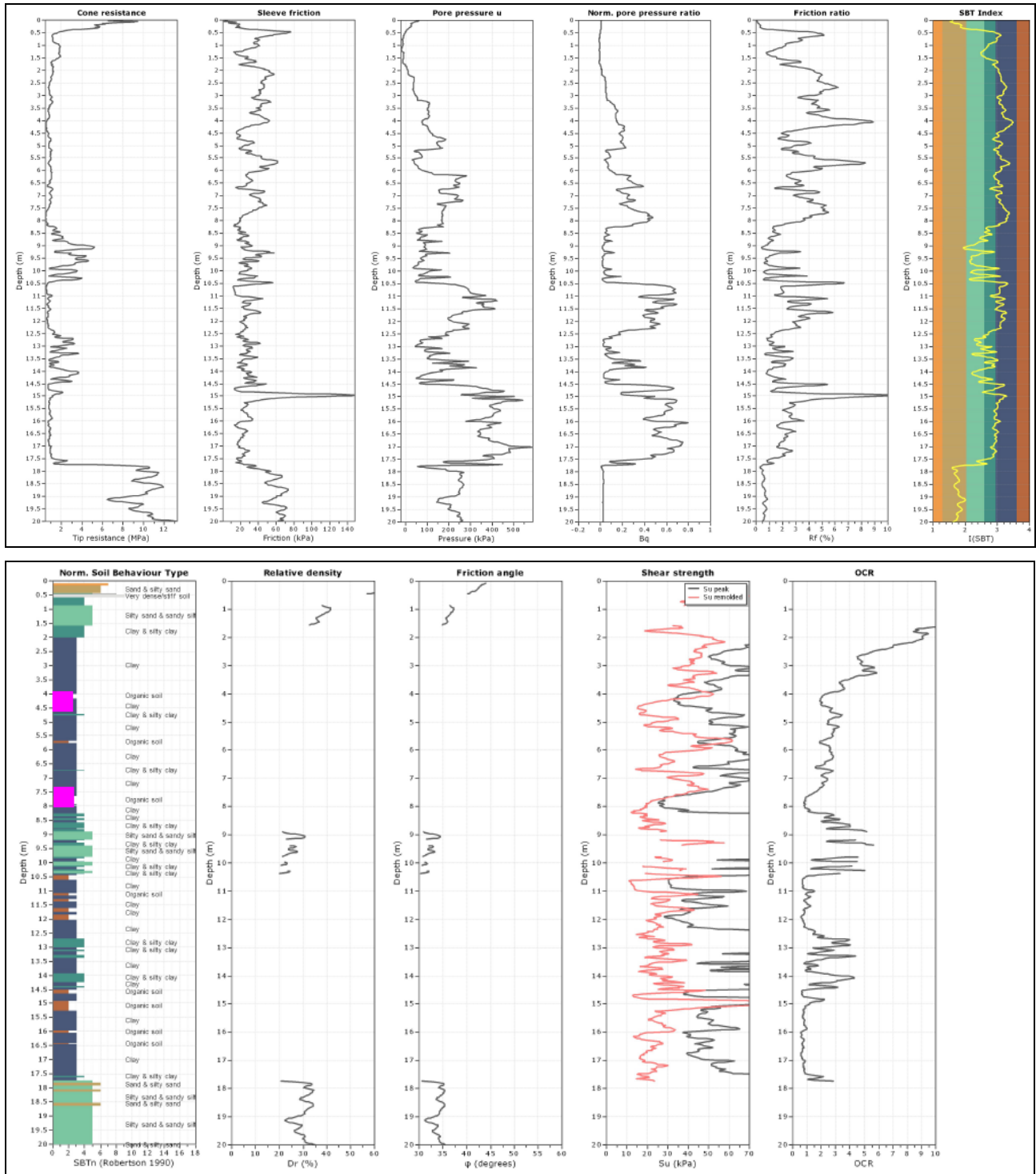


Figura 4.1-5 CPTU9 (Ro)

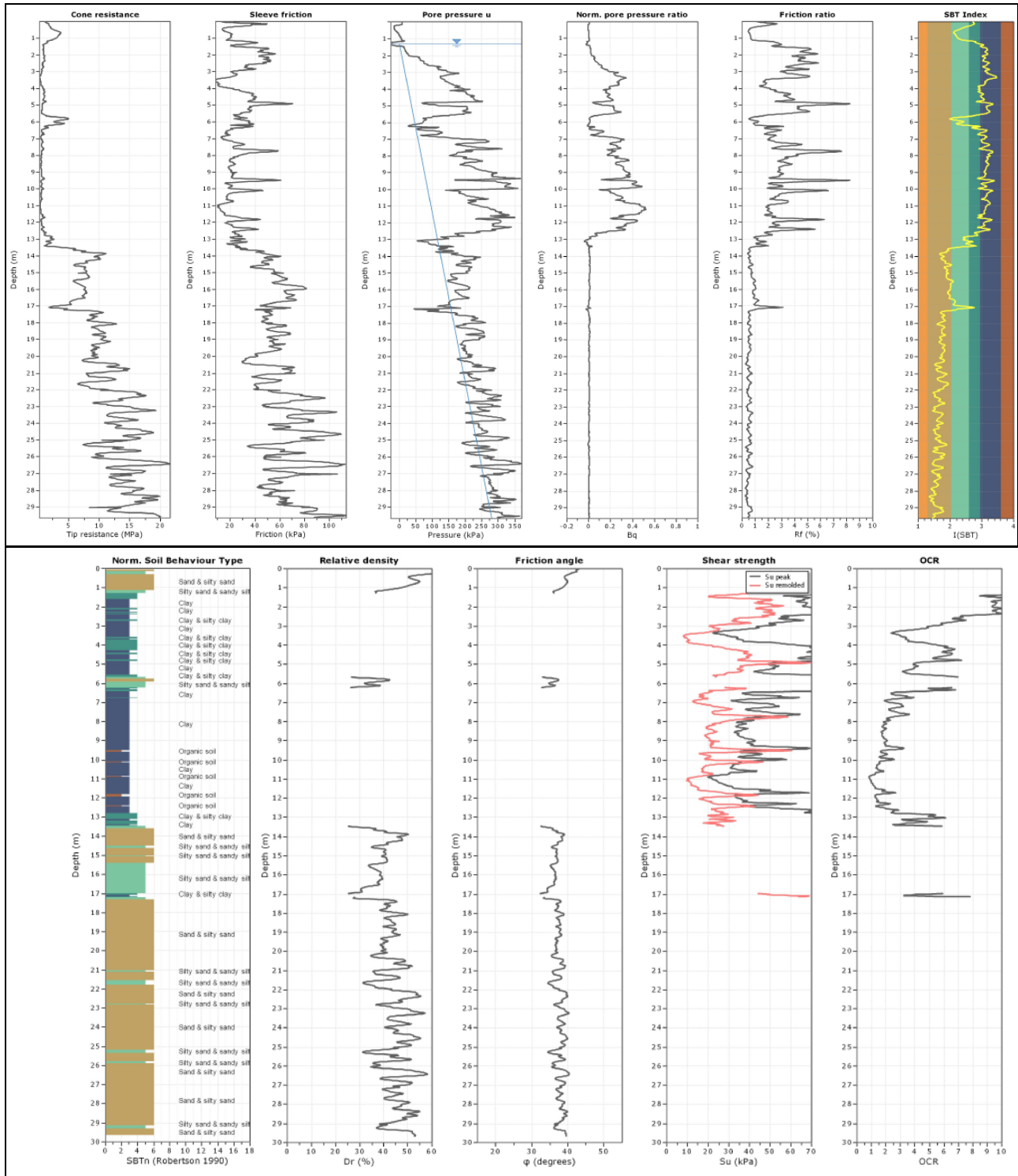
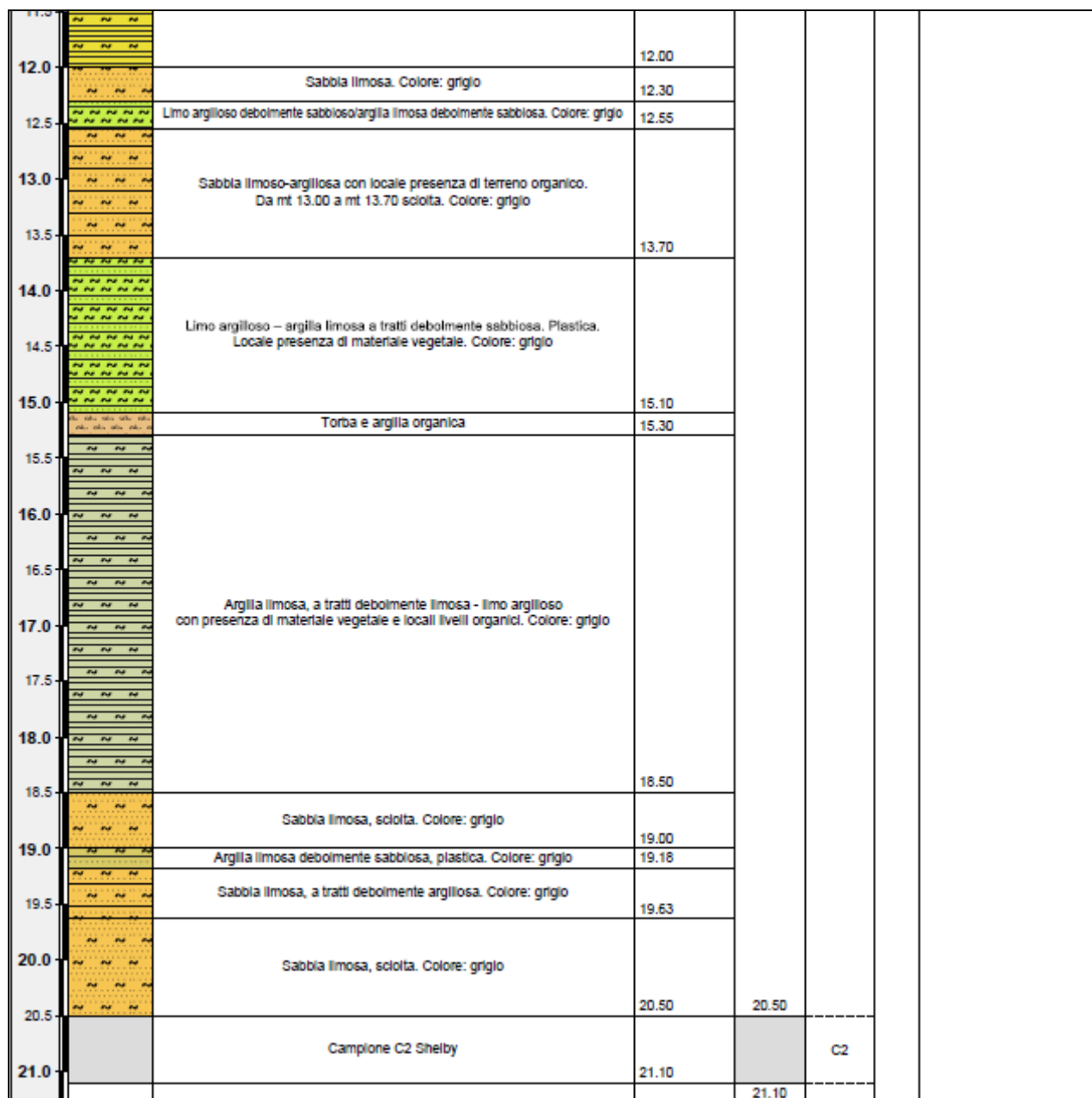


Figura 4.1-6 SCPTU5 (Alberone)

Scala (mt)	Litologia	Descrizione	Quota	Campioni	Falda	Piezometro (P)
0.5		Terreno di riporto in matrice limoso-argilloso-sabbiosa con presenza di sassi, frammenti di laterizio e di asfalto	0.60			
1.0		Limo argilloso, debolmente sabbioso, con locale presenza di radici e sporadici frammenti di laterizi. Colore: nocciola	1.18			
1.5		Argilla limosa con presenza di radici. Colore: nocciola	1.28			
2.0		Sabbia limosa sciolta. Livelli argillosi e debolmente argillosi e locale presenza di ossidazioni. Colore nocciola passante a grigio-nocciola con l'aumento della profondità	2.70			
3.0		Argilla debolmente limosa passante ad argilla limosa con l'aumento della profondità. A circa mt 2.90 presenza di terreno organico. Locali concrezioni. Colore da grigio-nocciola a grigio	4.20			
4.0		Sabbia limosa, sciolta. Colore: grigio-nocciola	4.40			
5.0		Argilla limosa, a tratti debolmente limosa e limo argilloso. Colore: grigio	5.25			
6.0		Argilla limosa - limo argilloso interrotti da livellotti di sabbia limoso-argillosa. Colore: grigio	6.10			
6.5		Limo argilloso-sabbioso/argilla limoso-sabbiosa. Colore: grigio	6.53			
7.0		Sabbia limosa, sciolta. Colore: grigio	6.80			
7.5		Argilla limosa, a tratti debolmente limosa, plastica. A mt 7.50 presenza di terreno organico. Colore: grigio	6.90			
8.0		Sabbia limoso-argillosa / limo sabbioso-argilloso; da mt 8.00 a mt 8.20 sciolta. Colore: grigio	7.60			
8.5		Argilla limosa, a tratti debolmente limosa, con locale presenza di terreno organico. Colore: grigio	8.30			
9.0			9.00	9.00		
9.5		Campione C1 Shelby	9.60		C1	
10.0		Argilla debolmente limosa, a tratti limosa, con presenza di materiale vegetale, plastica. Colore: grigio	9.60	9.60		
10.5		Argilla organica limosa	10.64			
11.0		Argilla debolmente limosa con presenza di materiale vegetale e locali livelli organici, plastica. Colore: grigio, a tratti grigio scuro	10.70			



**Figura 4.1-7 Sondaggio a carotaggio continuo (Ro)**

Mediante i sondaggi a trivella sono stati prelevati i campioni elencati in tabella per le analisi di laboratorio geotecnico. Circa i terreni coesivi, il valore di soglia dell'Indice Plastico fissato al 30 % rappresenta il limite oltre il quale i campioni presentano un grado di plasticità significativo ai fini della stima dei cedimenti post-sismici. A tal proposito, come si vedrà in seguito, il valore di IP ottenuto in laboratorio è stato analizzato unitamente ai valori di coesione non drenata e velocità di propagazione delle onde S rilevate all'interno del medesimo strato come indicato dalla normativa di riferimento.



TABELLA 4.1-1: SINTESI DEI RISULTATI PROVE DI LABORATORIO TERRENI INCOERENTI

SITO	PROF. PRLEIEVO (m)	PROVA CORRISPONDENTE	LITOTIPO	ANALISI ESEGUITE	Ghiaia (%)	Sabbia (%)	Limo (%)	Argilla (%)
BERRA CAPOLUOGO	Intervallo 5.50-6.00	S2-C2	SABBIA LIMOSA	ANALISI GRANULOMETRICA	1.13	65.90	29.91	3.06
RO FRAZIONE	Intervallo 6.40-6.80	S8-C2	SABBIA LIMOSA e/o LIMO SABBIOSO	ANALISI GRANULOMETRICA	1.28	30.24	61.88	6.60
ALBERONE FRAZIONE	Intervallo 5.80-7.10	S15-C2	SABBIA LIMOSA e/o LIMO SABBIOSO	ANALISI GRANULOMETRICA	0.64	52.37	42.47	4.52

TABELLA 4.1-2: SINTESI DEI RISULTATI PROVE DI LABORATORIO TERRENI COESIVI

SITO	PROF. PRLEIEVO (m)	PROVA CORRISPONDENTE	LITOTIPO	ANALISI ESEGUITE	VALORE IP medio (%)	VALORE DI SOGLIA (%) (DGR2193/2015)
BERRA CAPOLUOGO	Intervallo 1.80-5.20	S2-C1	LIMO/ARGILLA	LIMITI DI ATTERBERG	26.7 (<)	30
BERRA CAPOLUOGO	Intervallo 0.90-2.30	S16-C1	LIMO/ARGILLA	LIMITI DI ATTERBERG	35.7 (>)	30
BERRA CAPOLUOGO	Intervalli 2.95-3.50 4.60-5.10	S16-C2	LIMO/ARGILLA	LIMITI DI ATTERBERG	31.0 (>)	30
COLOGNA FRAZIONE	Intervalli 1.00-2.65 2.90-3.70 4.10-4.25	S1-C1	LIMO/ARGILLA	LIMITI DI ATTERBERG	28.2 (<)	30
RO FRAZIONE	Intervallo 4.80-6.20	S8-C1	LIMO/ARGILLA	LIMITI DI ATTERBERG	23.0 (<)	30

RO FRAZIONE	Intervallo 2.00-6.80	S9-C1	LIMO/ARGILLA	LIMITI DI ATTERBERG	24.5 (<)	30
ALBERONE FRAZIONE	Intervalli 1.90-5.70	S15-C1	LIMO/ARGILLA	LIMITI DI ATTERBERG	24.1 (<)	30

## 4.2. Parametri geofisici

### INDAGINI SUOLO

Le prove che sono state seguite nella campagna geognostica 2018 per il III Livello di approfondimento dei Comuni di Berra e di Ro sono elencate di seguito:

- n. 1 profilo in array MASW n.1 misura HVSR presso la frazione di Cologna;
- n. 1 profilo in array MASW n.1 misura HVSR presso la frazione di Serravalle;
- n.1 profilo in array bidimensionale ESAC (geometria a croce) presso la frazione Serravalle;
- n. 1 profilo in array MASW presso la frazione di Zocca;
- n.1 profilo in array bidimensionale ESAC (geometria a croce) presso la frazione di Ro;
- n. 3 misure del microtremore ambientale con tecnica HVSR presso le frazioni di Alberone, Guarda Ferrarese e Ruina.

Per ciascun punto di indagine, il profilo verticale di Vs è stato stimato mediante fit congiunto tra lo spettro di velocità di fase delle onde R (Rayleigh) e la curva sperimentale H/V registrata con la tecnica HVSR. Le misure HVSR sono state eseguite in corrispondenza degli stessi profili in array.

L'area investigata è caratterizzata da valori di velocità delle onde di taglio S (Vs) caratteristici di terreni da molto soffici (argille e torbe con Vs<180 m/s) a compatti/addensati (sabbie del Po con Vs ≈ 250 m/s). Le velocità delle onde S, nel complesso, tendono ad aumentare con la profondità in modo abbastanza graduale fino all'interfaccia tra i depositi di pianura deltizia di età olocenica e le sabbie medio-grossolane di riempimento canale (canale distributore) del fiume Po di età pleistocenica. In corrispondenza di tale superficie, posta a profondità variabile, che in media corrisponde all'intervallo 15-25 m circa, le Vs subiscono un deciso innalzamento per poi tornare ad aumentare gradualmente con la profondità.

L'elaborazione delle curve HVSR, associate ai profili in array (MASW e in particolare ESAC), ha permesso di estendere la modellazione delle Vs fino a profondità di oltre 100 m. In corrispondenza dell'ex territorio comunale di Berra si rileva la presenza di modeste amplificazioni locali del moto del suolo per risonanza stratigrafica a contrasto d'impedenza prevalentemente moderato (ampiezza picco in genere  $2 \leq F_0 < 3$ ) sia nell'intervallo di frequenze 1-2 Hz sia per frequenze < 1 Hz (intervallo 0.4-0.8 Hz circa). In corrispondenza dell'ex territorio comunale di Ro le curve HVSR sono caratterizzate da picchi di amplificazione basso-moderati ( $2 < F_0 < 3$ ) per frequenze < 1Hz (contrastati presumibilmente profondi  $\geq 100$  m) e da deboli amplificazioni tra 1-2 Hz ( $F_0 < 2$ ; contrasti più superficiali collocabili a circa 20 m).

Il bedrock sismico con Vs = 800 m/s è sicuramente profondo oltre i 250-300 m almeno (ex Comune di Berra) e oltre i 150-200 m almeno (ex Comune di Ro).

Il comportamento in campo dinamico del terreno, è stato definito mediante prove di laboratorio geotecnico in colonna risonante. I campioni analizzati sono rappresentativi rispettivamente della frazione coesiva argillosa (0-20 m) e di quella incoerente sabbiosa (20-30 m). I campioni sono stati prelevati nell'area di Ro mediante un sondaggio a carotaggio continuo a rotazione spinto fino a 21 m di profondità. I terreni

carotati si ritengono assolutamente rappresentativi e del tutto simili a quelli presenti in tutto il territorio comunale di Riva del Po. Le curve di laboratorio (curve degrado modulo di taglio e smorzamento) sono state impiegate nell'analisi di risposta sismica locale come descritto in seguito.

Le figure seguenti mostrano i risultati sperimentali delle indagini geofisiche effettuate in termini di profilo Vs-profondità, spettro di velocità di fase dell'onda di Rayleigh (profilo MASW e ESAC) e di frequenze di risonanza del sottosuolo (curva H/V da misura a stazione singola).

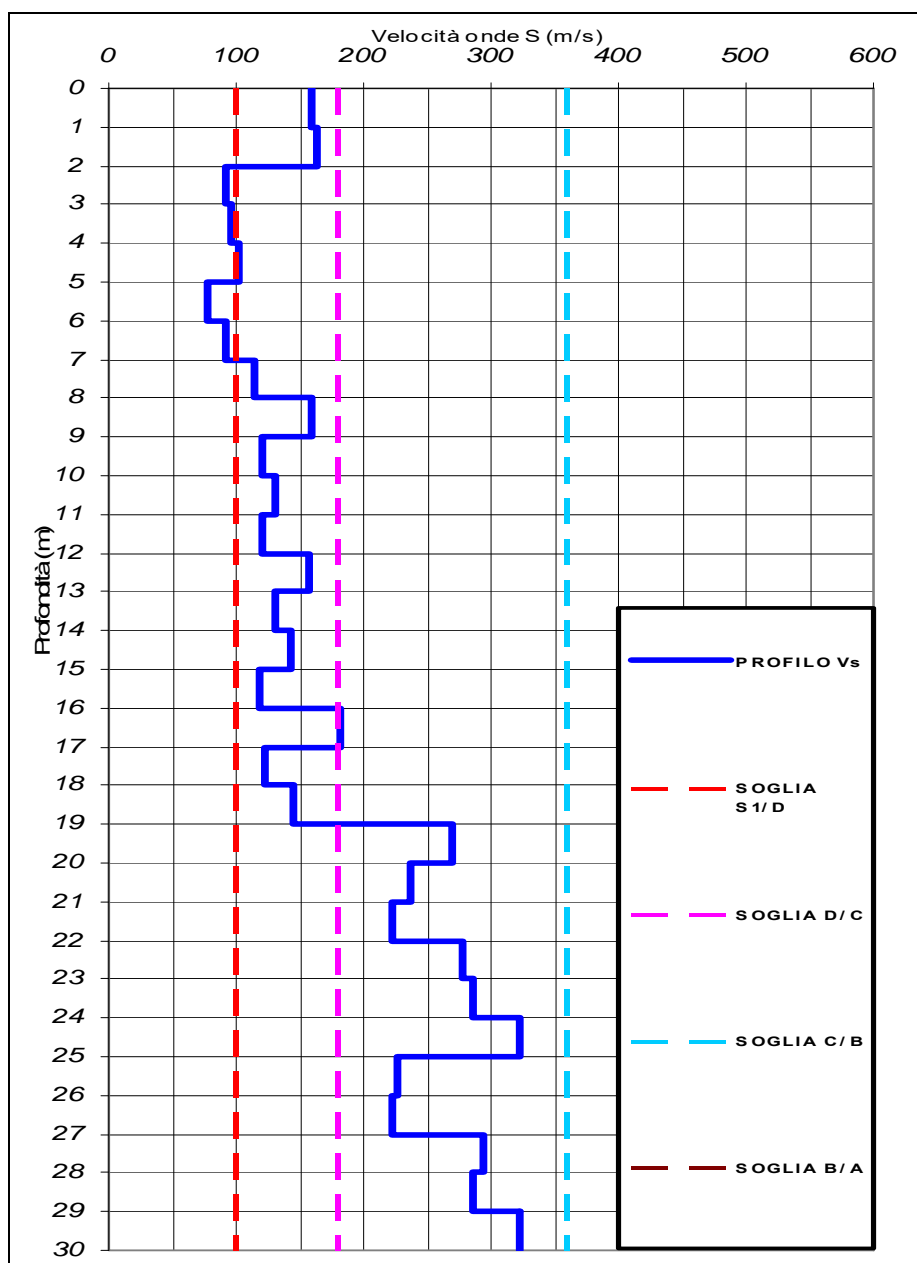
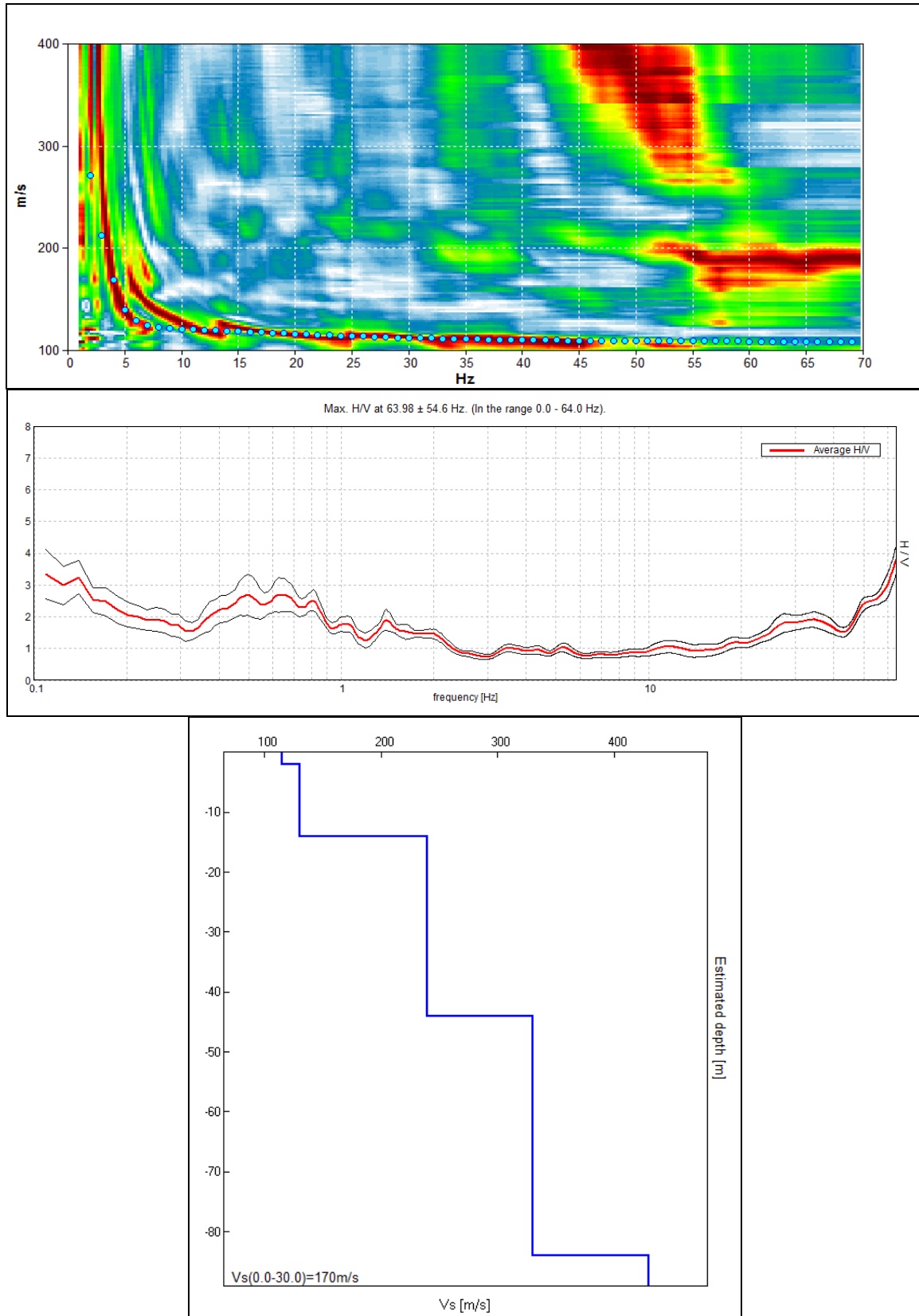


Figura 4.2-1 – Profilo di velocità onde S da SPTU1 eseguita presso Berra capoluogo



**Figura 4.2-2 – Spettro MASW, curva sperimentale H/V e profilo Vs-profondità per Cologne**

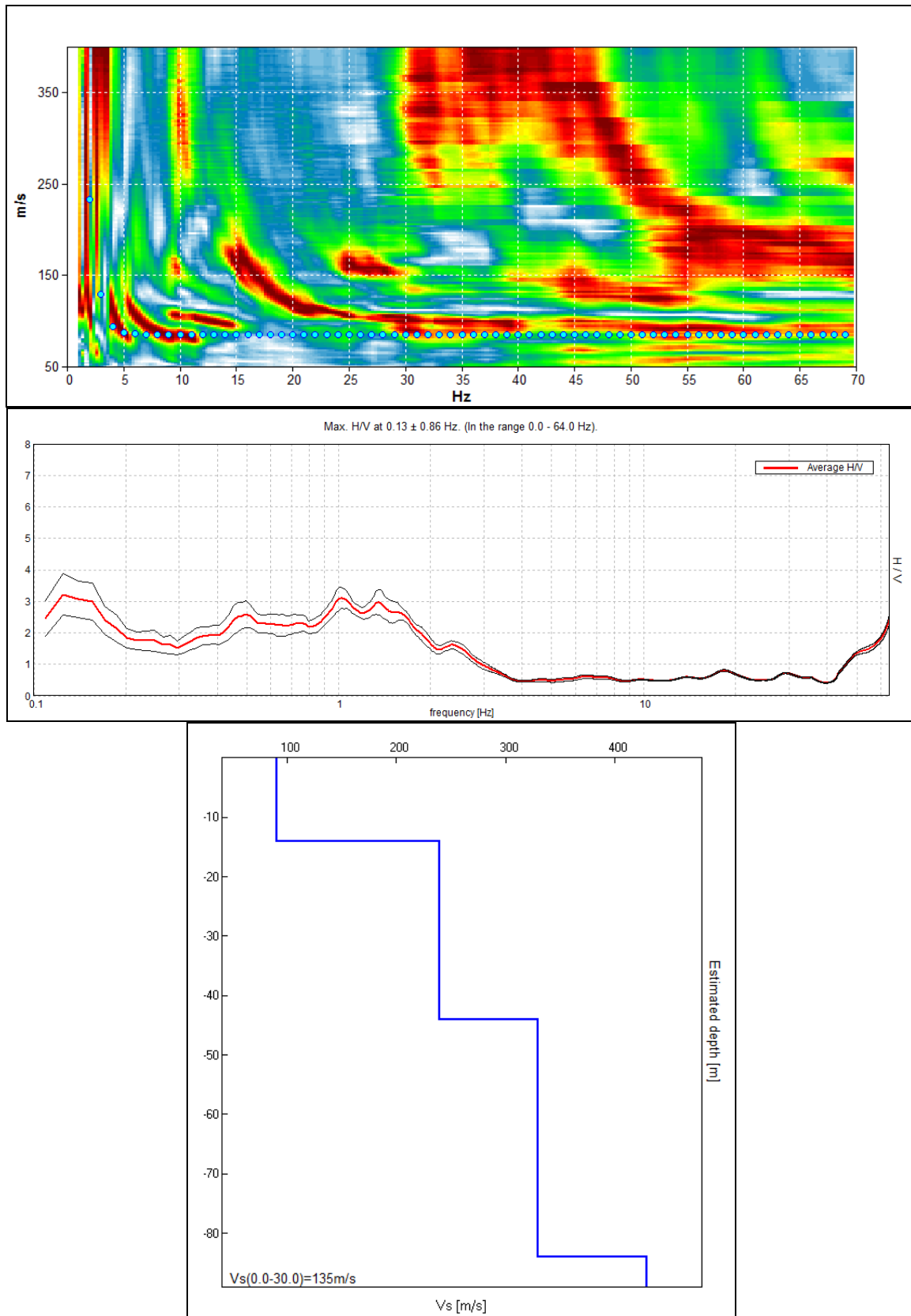
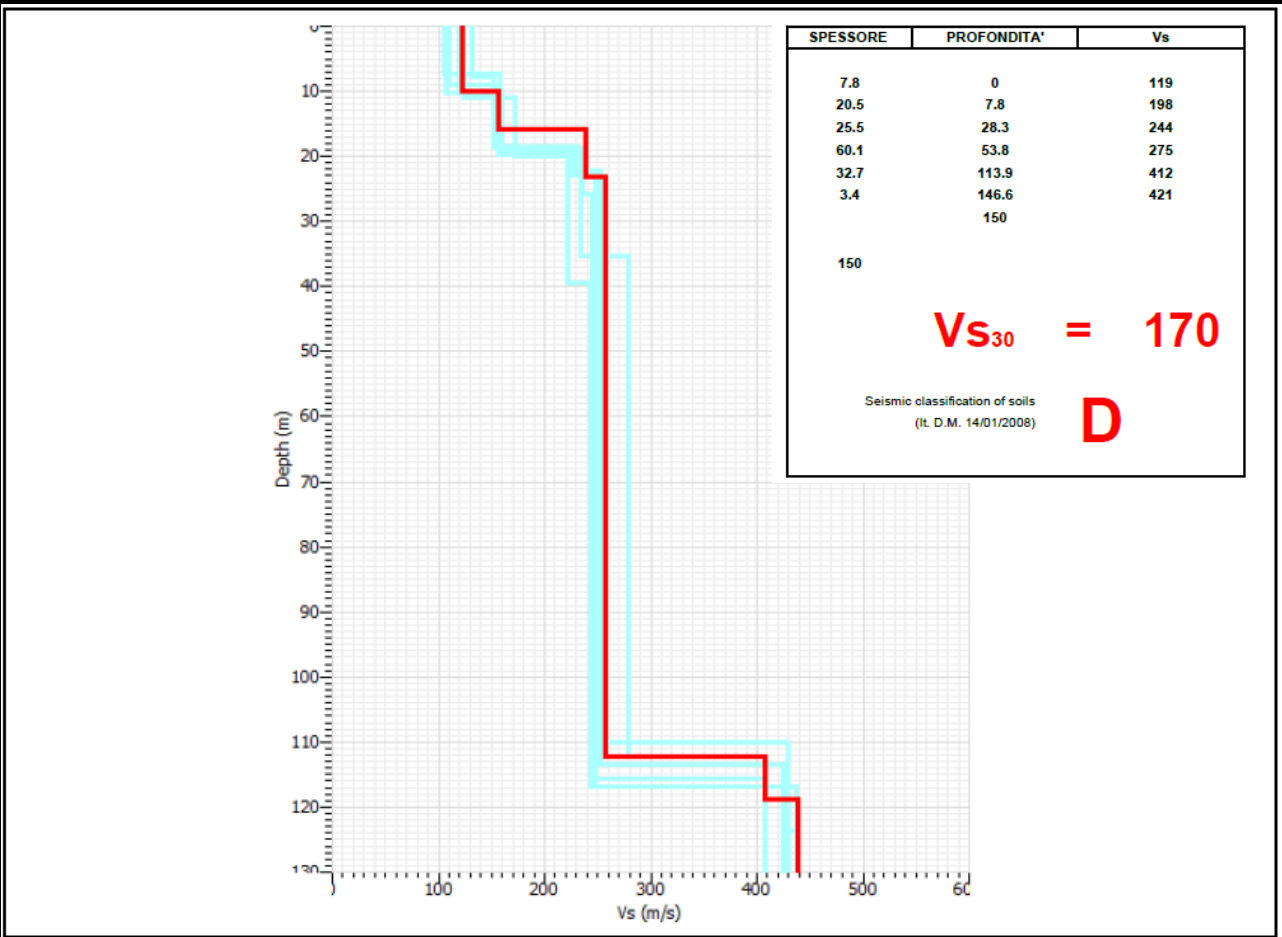
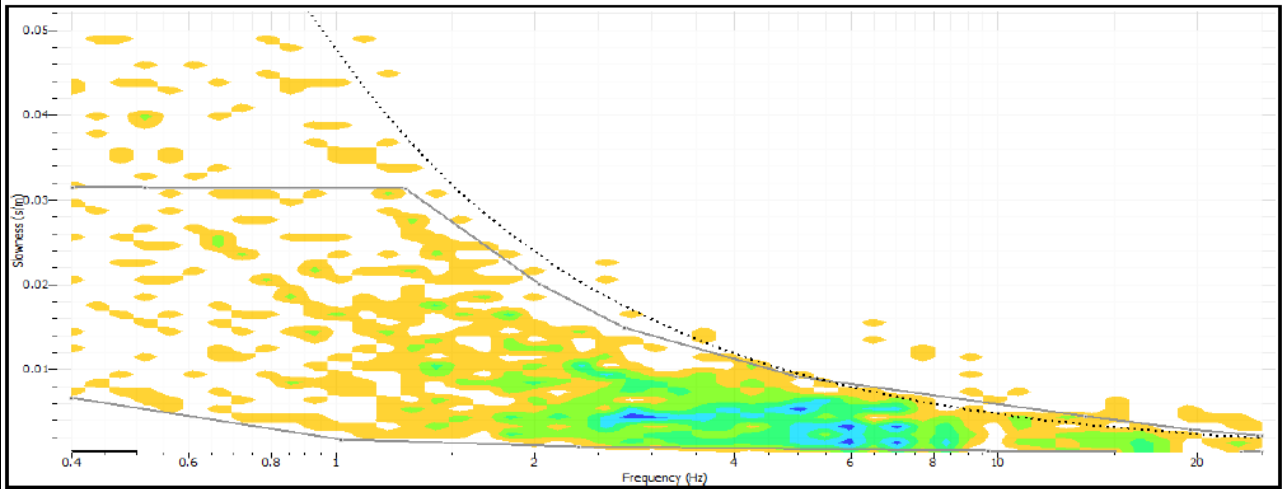


Figura 4.2-3 – Spettro MASW, curva sperimentale H/V e profilo Vs-profondità per Serravalle



**CUMULATA DELLE CURVE DI DISPERSIONE DEI RINGS E RELATIVO PICKING PER INDIVIDUARNE LE FASI PIÙ SIGNIFICATIVE**



**Figura 4.2-4 – ESAC (frazione di Serravalle)**

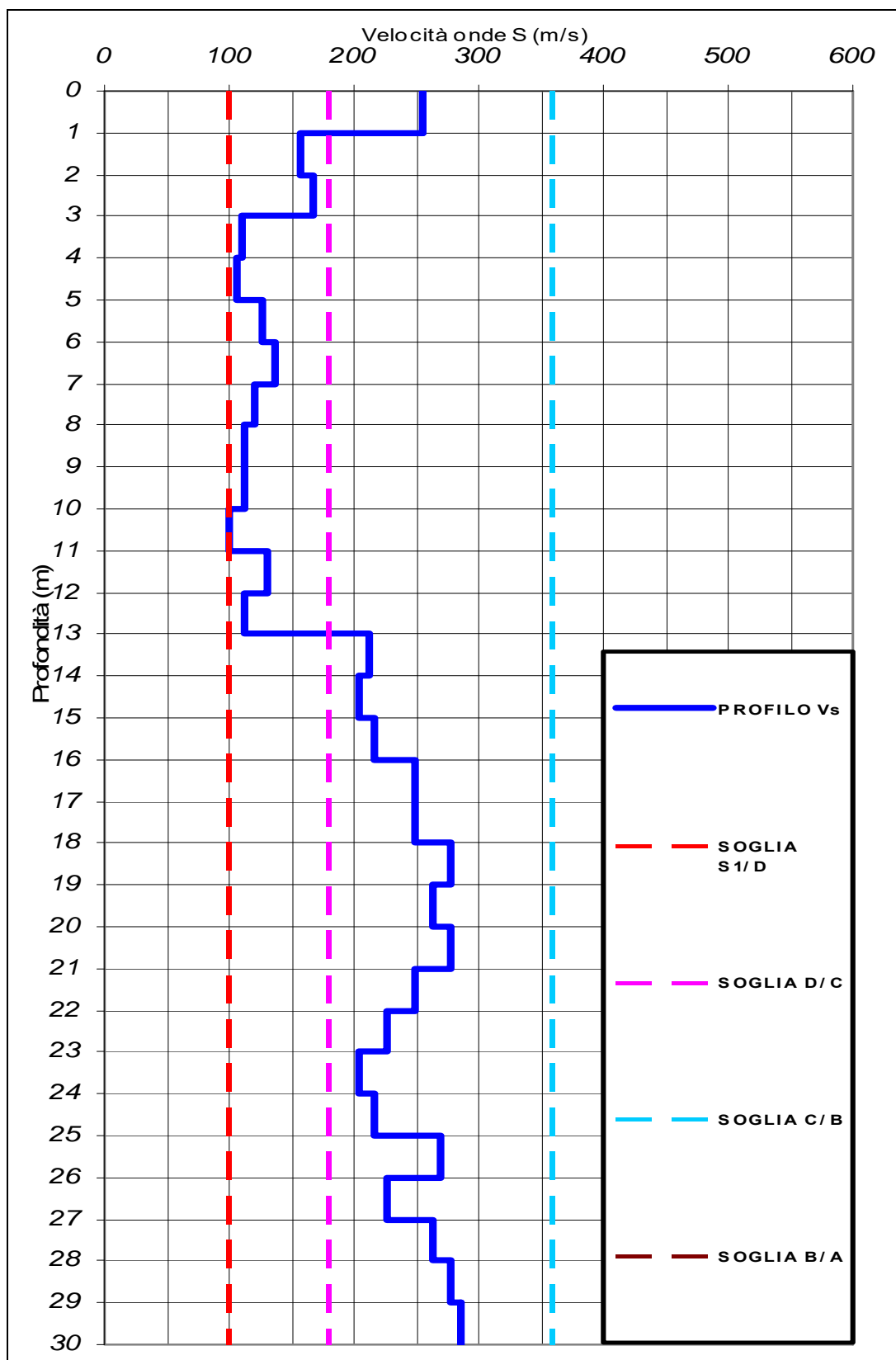
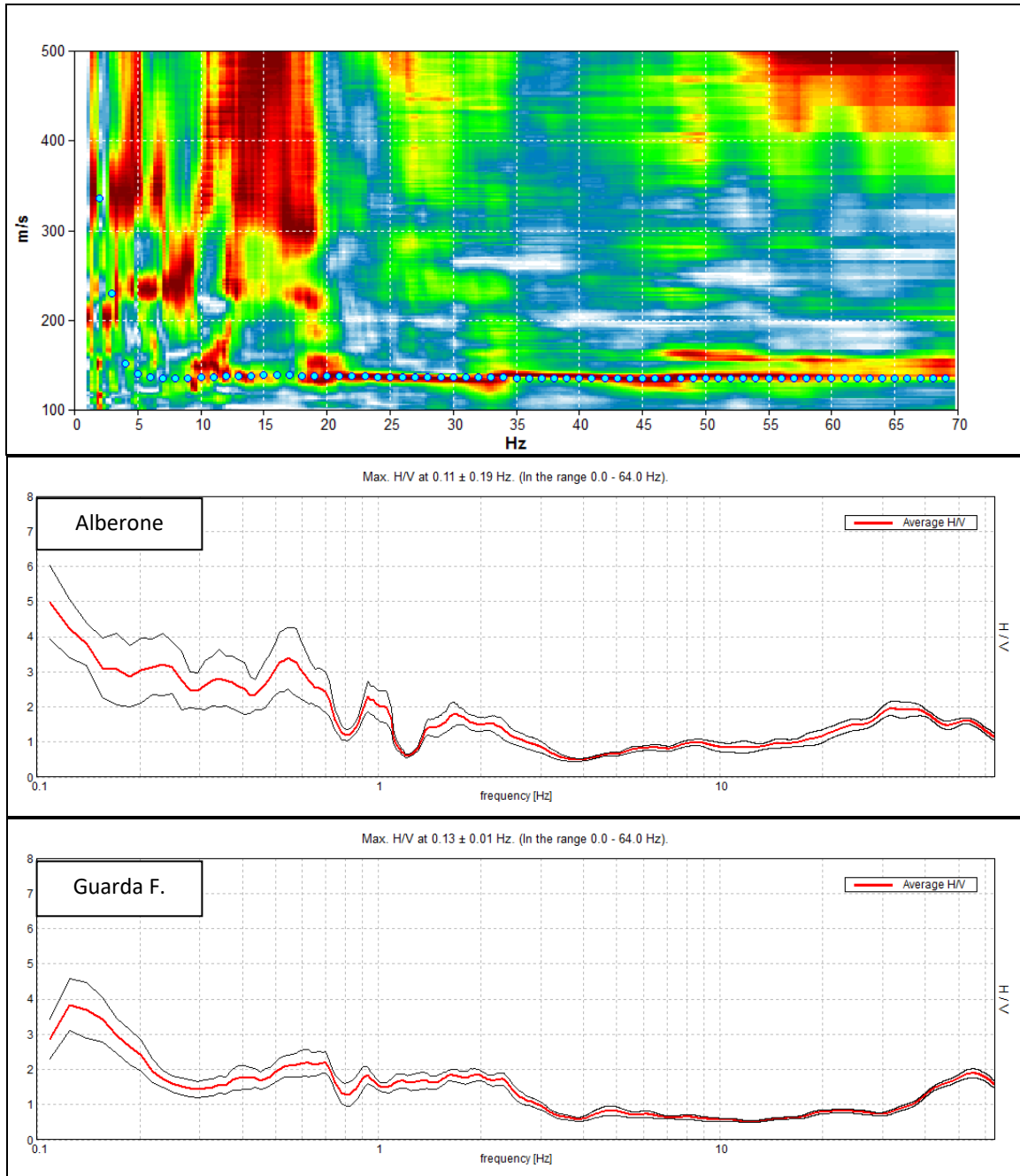


Figura 4.2-5 – Profilo di velocità onde S da SCPTU5 eseguita presso Alberone frazione



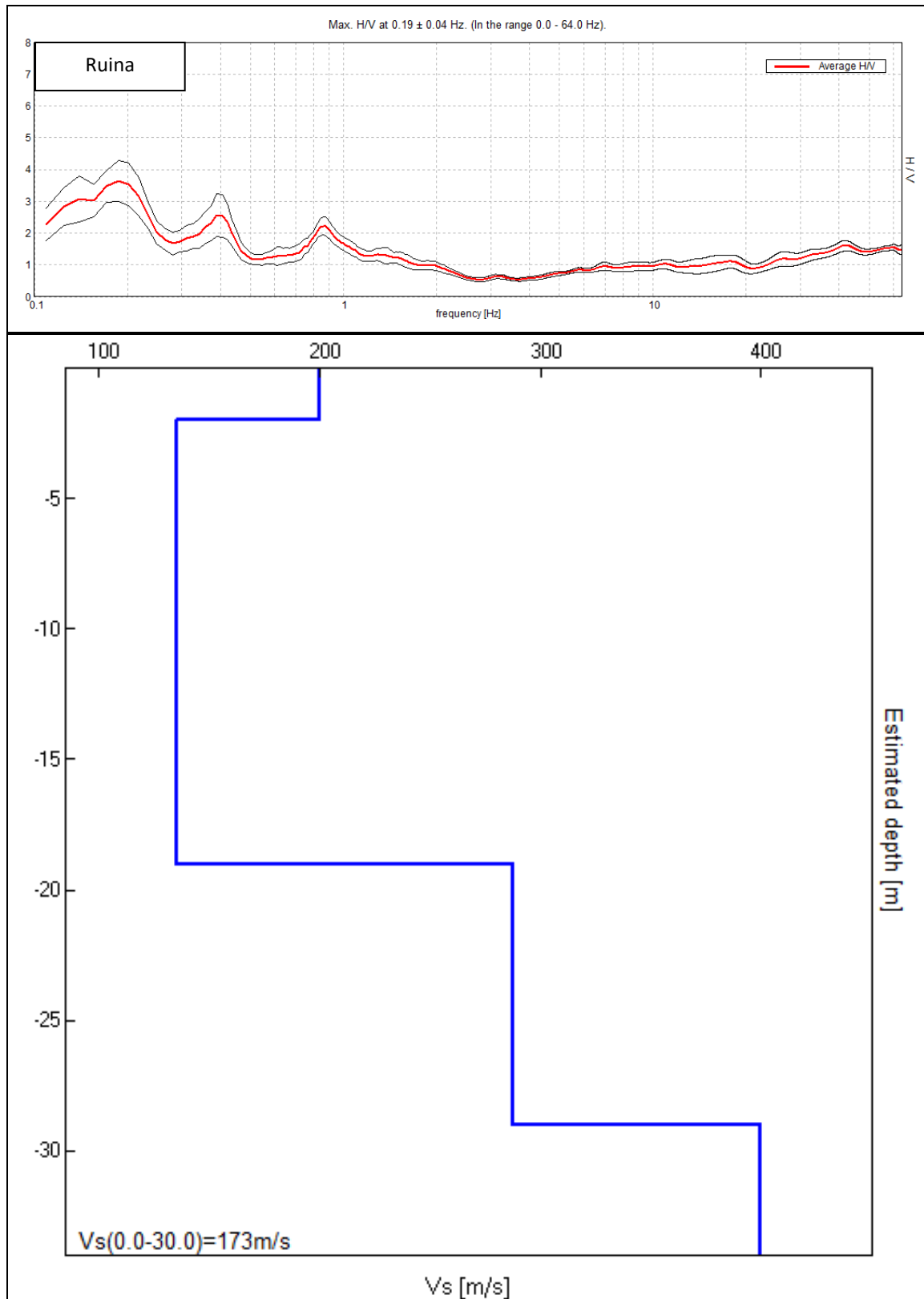
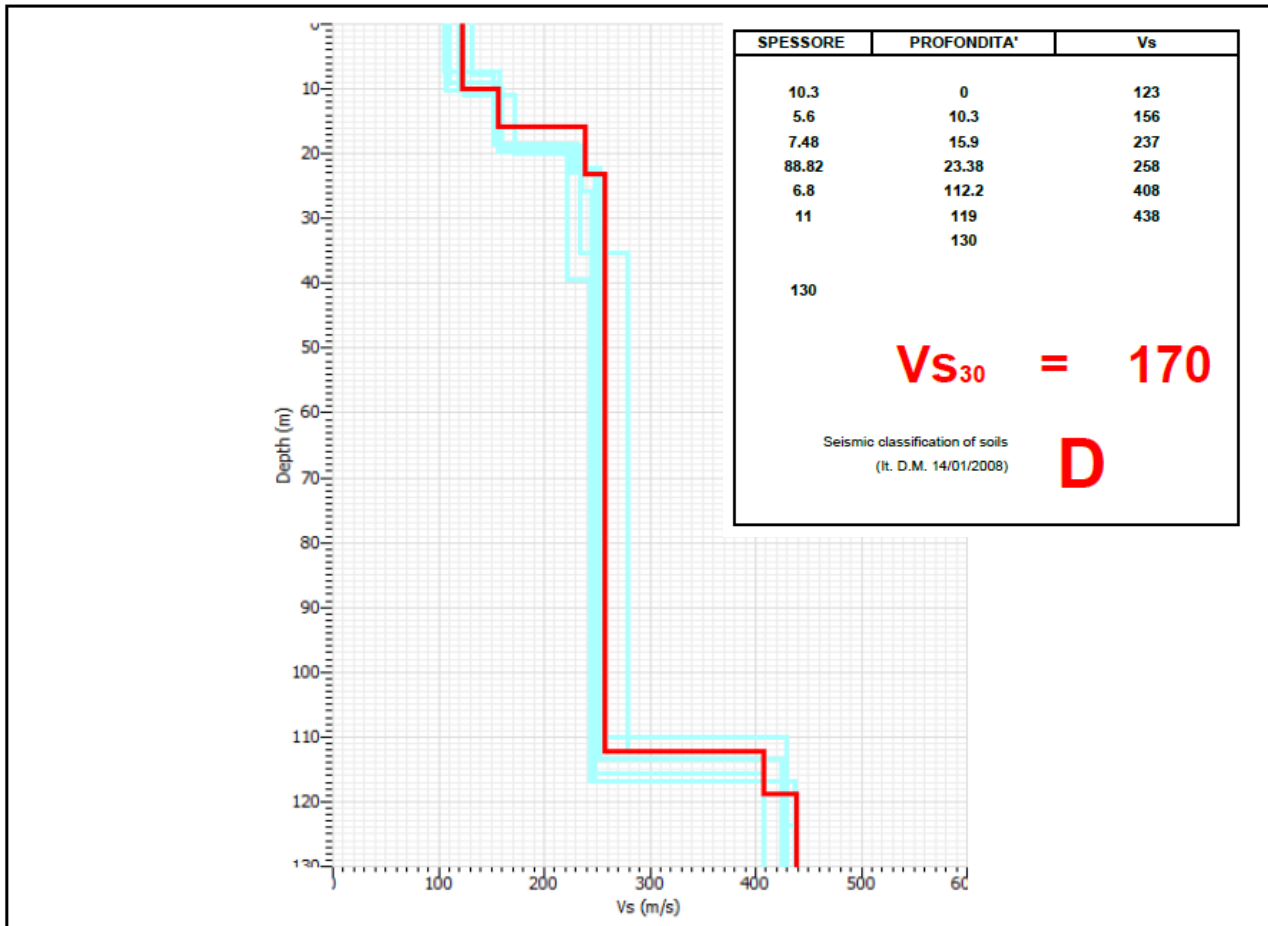
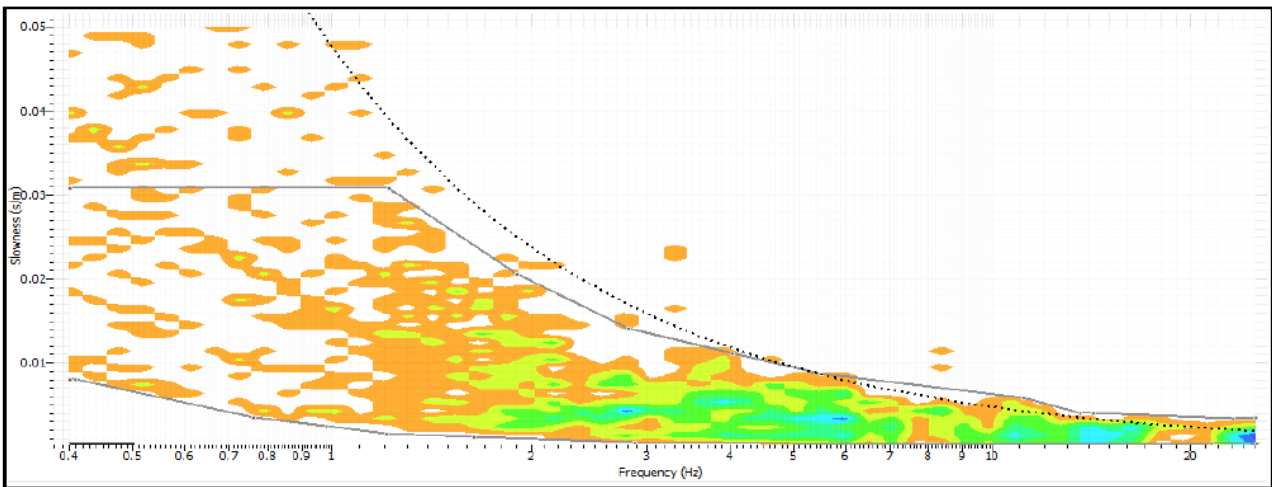


Figura 4.2-6 – Spettro masw eseguito nella frazione di Zocca, curve sperimentali H/V di Ruina, Guarda F. e Alberone e profilo Vs-profondità stimato sulla base delle misure eseguite nel territorio di Ro e frazioni.

**CUMULATA DELLE CURVE DI DISPERSIONE DEI RINGS E RELATIVO PICKING PER INDIVIDUARE LE FASI PIÙ SIGNIFICATIVE**



**Figura 4.2-7 – ESAC (Ro frazione)**

Nella tabella seguente si riepilogano i risultati ottenuti dalle prove analizzate:

TABELLA 4.2-1: SINTESI DEI RISULTATI DELLE INDAGINI GEOFISICHE

SITO	TIPO DI PROVA	VS30	AMPLIFICAZIONE STRATIGRAFICA	MAX H/V	AMPIEZZA PICCO	COMMENTI
BERRA CAPOLUOGO	SCPTU1	152 m/s	-	-	-	-
COLOGNA FRAZIONE	MASW + HVSR	170 m/s	Intervallo 0.4-0.8 Hz (a 1-2 Hz il contrasto tipicamente presente nell'area è di ampiezza molto basso)	≈ 0.65 Hz	moderato	I picchi H/V riguardano ampi intervalli di frequenza; non si individua un picco stretto e chiaro. Le amplificazioni registrate per freq. < 1 Hz sono probabilmente associate a contrasti posti a profondità ≥ 100 metri.
SERRAVALLE FRAZIONE	MASW + HVSR	135 m/s	Intervallo 1-2 Hz	≈ 1.00 Hz	moderato	I picchi H/V riguardano ampi intervalli di frequenza; non si individua un picco stretto chiaro. L'amplificazione registrata a 1-2 Hz è associabile al contatto tra depositi soffici e sabbie del Po posto a circa 15-20 m presente alla scala dell'intera area.
SERRAVALLE FRAZIONE	ESAC	170 m/s	-	-	-	-
RO FRAZIONE	ESAC	170	-	-	-	-

ALBERONE FRAZIONE	SCPTU5	175 m/s	-	-	-	-
ZOCCA FRAZIONE	MASW	173 m/s	-	-	-	-
ALBERONE FRAZIONE	HVSR	-	<p>frequenze &lt; 1Hz (a 1-2 Hz il contrasto tipicamente presente nell'area è di ampiezza molto basso)</p>	≈ 0.65 Hz	moderato	<p>I picchi H/V riguardano ampi intervalli di frequenza; non si individua un picco stretto e chiaro. Le amplificazioni registrate per freq. &lt; 1 Hz sono probabilmente associate a contrasti posti a profondità ≥ 100 metri</p>
GUARDA FERRARESE FRAZIONE	HVSR	-	<p>frequenze &lt; 1Hz (a 1-2 Hz il contrasto tipicamente presente nell'area è di ampiezza molto basso)</p>	≈ 0.50- 0.70 Hz	basso	<p>I picchi H/V riguardano ampi intervalli di frequenza; non si individua un picco stretto e chiaro. Le amplificazioni registrate per freq. &lt; 1 Hz sono probabilmente associate a contrasti posti a profondità ≥ 100 metri</p>
RUINA FRAZIONE	HVSR	-	<p>frequenze &lt; 1Hz (a 1-2 Hz il contrasto tipicamente presente nell'area è di ampiezza molto basso)</p>	≈ 0.40 Hz	moderato	<p>I picchi H/V riguardano ampi intervalli di frequenza; non si individua un picco stretto e chiaro. Le amplificazioni registrate per freq. &lt; 1 Hz sono probabilmente associate a contrasti posti a profondità ≥ 100 metri</p>

 <b>Synthesis s.r.l.</b> Piazza del Popolo civ. 13 – int. 5 44034 – Copparo – Fe Tel. 0532 860546 – Fax 0532 091680 www.synthesisr.com – info@synthesisr.com	STUDIO DI MICROZONAZIONE SISMICA DI III° LIVELLO <b>Relazione Illustrativa</b>	RIF. 020/20-EB-REV00 DEL 04/2020
--	---	-------------------------------------

## **INDAGINI STRUTTURA**

Come già accennato, in corrispondenza dell'edificio sede del Municipio di Riva del Po e dell'edificio ex sede del Municipio di Ro, sono state eseguite indagini a stazione singola con misura del microtremore ambientale (forzante) per analizzare sperimentalmente il comportamento dinamico della struttura. In particolare si è tentato, in modo speditivo, di individuare la frequenza del primo modo flessionale di vibrazione (ed eventualmente anche quella dei modi superiori) dei fabbricati in oggetto. Lo scopo è stato quello di permettere un primo e indicativo confronto tra la frequenza di vibrazione di due strutture presenti sul territorio e le frequenze di risonanza del suolo al fine di stabilire la possibilità di effetti di doppia risonanza terreno-struttura.

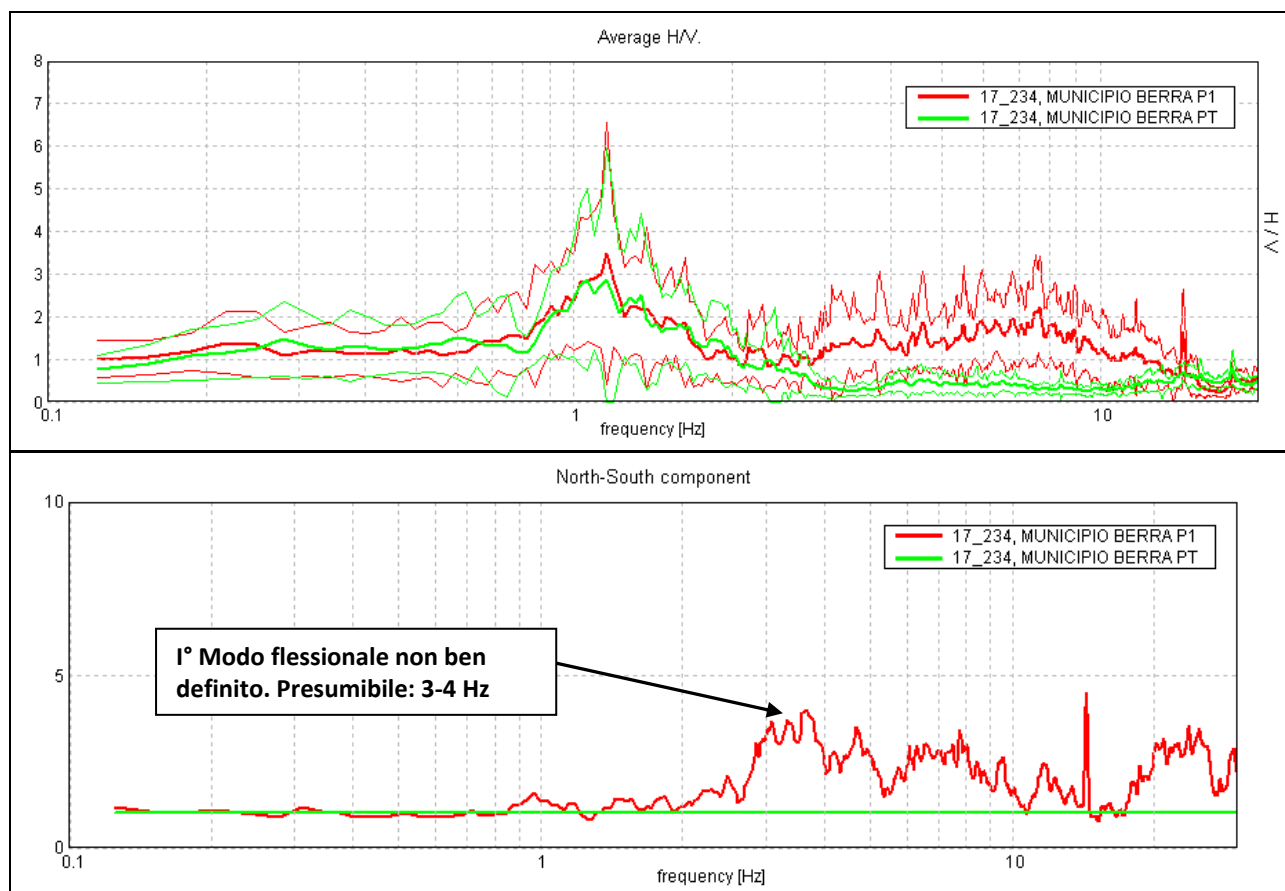
Le misure a stazione singola, eseguite con tomografo digitale (lo stesso impiegato per le registrazioni al suolo), prevedono la registrazione in seno alla struttura del microtremore ambientale (forzante) sempre presente e costituito da rumore antropico e rumore naturale (vento, perturbazioni atmosferiche etc.); pertanto non sono state utilizzate sorgenti energetiche esterne quali masse battenti, esplosivi o altro.

Per fabbricato, sono state eseguite in totale n. 2 misure, al piano terra e al piano più alto lungo la stessa verticale. Lo strumento impiegato è dotato di n. 3 canali velocimetrici orientati nelle 3 direzioni dello spazio (due componenti Orizzontali: N-S;E-W e una componente Verticale: UP-DOWN) in grado di campionare e registrare il microtremore ambientale (0.1 – 0.0001 mm/s) proveniente in modo casuale da tutte le direzioni dello spazio.

Lo strumento di misura è stato posto a diretto contatto con il pavimento/solaio in modo che fosse solidale con la struttura. Gli assi strumentali denominati N-S e E-W, da non confondere con il nord-sud ed est-ovest geografici, sono stati sempre disposti parallelamente ai principali assi strutturali. In particolare, per l'edificio sede del Municipio di Riva del Po, l'asse strumentale N-S è stato posto perpendicolarmente al lato lungo dell'edificio.

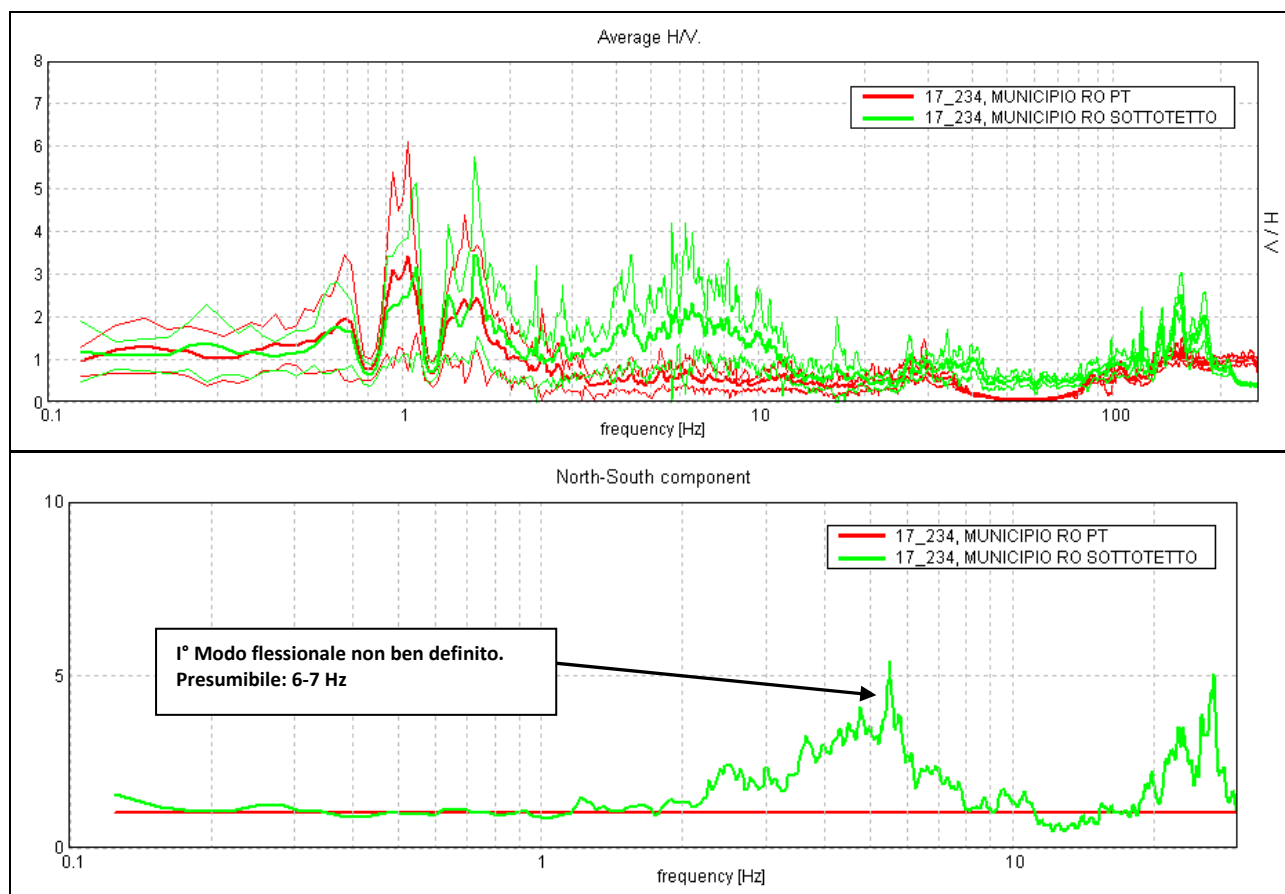
La tecnica di indagine impiegata, denominata SSR (Standard Spectral Ratio) prevede la rimozione dell'effetto del sottosuolo (misura eseguita a piano terra) dalle registrazioni eseguite ai diversi piani della struttura (in questo caso il piano più alto). Nell'analisi sono considerati esclusivamente i rapporti tra le componenti di vibrazione orizzontali Nord-Sud (N-S) e Est-Ovest (E-W) mentre si trascura l'effetto sulla componente verticale UP-DOWN.

Di seguito si mostrano i risultati sperimentali ottenuti:



**Figura 4.2-8 – Modi di vibrare della struttura esaminata (sede del Municipio Riva del Po)**

Il primo modo flessionale non è ben definito, probabilmente a causa dell'elevata inerzia della struttura data dalla sua geometria e altezza. Il 1° modo flessionale di vibrazione dell'edificio potrebbe essere individuato a circa 3-4 Hz.



**Figura 4.2-9 – Modi di vibrare della struttura esaminata (sede dell'ex Municipio di Ro)**

Il primo modo flessionale non è ben definito., probabilmente causa dell'elevata inerzia della struttura data dalla sua geometria e altezza. Il 1° modo flessionale di vibrazione dell'edificio potrebbe essere individuato a circa 6-7 Hz.

## 5. MODELLO DEL SOTTOSUOLO

Sulla base delle prove analizzate e dei risultati ottenuti nel corso del III livello di approfondimento dei Comuni di Berra e di Ro, considerando tutte le informazioni e le conoscenze di carattere geologico e geomorfologico, le indagini geognostiche consultate ed eseguite nel corso del II livello di analisi, è possibile fornire il seguente modello di sottosuolo di sintesi:

TABELLA 5-1: MODELLO SCHEMATICO DEL SOTTOSUOLO NELL'AREA COMUNALE DI RIVA DEL PO E SUE FRAZIONI

UNITA'	DESCRIZIONE	PERIODO	PROFONDITA'	COMPATTEZZA ADDENSAMENTO DEPOSITO	FREQ. RISONANZA PRINCIPALE	Vs MEDIA
<b>A</b>	Unità dei canali distributori e delle aree interdistributrici di piana deltizia	OLOCENE	0-20 m circa	soffice (frazione coesiva)  addensamento medio-scarso (frazione granulare)	1-2 Hz contrasti  "superficiali" ≈20 m ampiezza in genere moderata 2<F <sub>0</sub> <3 (Comune di Berra) in genere bassa/molto bassa (≤2) (Comune di Ro)	Vs < 180 m/s
<b>C</b>	Unità della pianura alluvionale pleistocenica del Fiume Po	PLEISTOCENE	> 15-20 m circa	addensamento medio-alto (granulare)	0.4-0.8 Hz contrasti "profondi" ≥100 m di ampiezza moderata (Comune di Berra)  < 1 Hz contrasti "profondi" ≥100 m di ampiezza in genere moderata (Comune di Ro)	Vs ≈ 250 m/s



L'**unità A** è costituita da tutti quei depositi di età olocenica (10000 anni fa – attuale) depositi in ambiente di piana deltizia del fiume Po. E' costituita principalmente da depositi fini coesivi soffici di natura argillosa e limosa che rappresentano depositi di area interdistributrice depositi durante le frequenti e ripetute esondazioni dei canali distributori. Quest'ultimi sono caratterizzati invece da depositi granulari incoerenti (sabbie, sabbie limose, limi sabbiosi) di canale distributore minore, argine, rotta e tracimazioni, con densità relativa medio-scarso. I livelli sabbiosi sono in genere subordinati in termini di spessore rispetto agli strati coesivi.

Frequentemente si incontrano livelli torbosi che testimoniano periodi di ristagno delle acque più lunghi e condizioni di energia molto bassa. Allontanandosi progressivamente dall'asse del canale distributore la tessitura dei depositi diminuisce progressivamente. La base dell'unità A è rappresentata dalle sabbie pleistoceniche del Fiume Po, che ovunque nel territorio comunale, sono presenti a circa 15-20 m di profondità.

L'**Unità C** è rappresentata dalle sabbie pleistoceniche di pianura alluvionale del Po. Sono sabbie per lo più di riempimento canale (canale-barra-argine), medio grossolane con lamine di trazione, presenti in modo continuo ed omogeneo in quanto saldate lateralmente in modo da formare un livello continuo per diversi chilometri.

Tutti i depositi sopradescritti (Unità A e Unità C) sono suscettibili di amplificazione locale per risonanza stratigrafica; si trascurano gli effetti topografici in quanto l'area è pianeggiante. I depositi appartenenti all'Unità A sono, per le loro caratteristiche tessiture, di consistenza e per le profondità a cui si trovano, suscettibili di instabilità per densificazione (frazione coesiva soffice) e liquefazione (frazione granulare incoerente satura). Si rimanda al capitolo 8 per le considerazioni di dettaglio.

Si evidenzia come, alla scala dell'intera Unione dei Comuni Terre e Fiumi, è stata riconosciuta la presenza di un'ulteriore unità, denominata **Unità B**. Questa è stata inserita al fine di distinguere le porzioni di sottosuolo caratterizzate da una forte e importante presenza di terreni fini organici e torbosi. Si tratta di aree in passato depresse e pressoché sempre invase dalle acque di tracimazione che ristagnavano per tempi molto lunghi, consentendo la deposizione di argille miste ad abbondante frazione organica e a significativi spessori di torba (> 1 m). Tale unità non è presente nel territorio comunale di Riva del Po.

## 6. INTERPRETAZIONI ED INCERTEZZE

Come precedentemente descritto, ai fini del presente studio sono state utilizzate le seguenti banche dati:

- archivio prove e dati di Synthesis S.r.l.;
- banca dati del Servizio Geologico Sismico e de i Suoli Regione Emilia-Romagna;
- banca dati del Comune di Berra;
- banca dati del Comune di Ro;
- prove geofisiche eseguite ex-novo per il III Livello di approfondimento dei Comuni di Berra e di Ro al fine di integrare i dati in possesso laddove carenti o confermare risultati precedentemente ottenuti.

Le unità litostratigrafiche descritte, i valori geotecnici associati e gli spessori riportati sono da considerarsi validi a scala generale; tuttavia, data la copertura non omogenea e totale del territorio dal punto di vista delle prove geognostiche, si ritengono possibili variazioni locali in termini di qualunque elemento considerato (spessore, resistenze, litologia, Vs etc...).

In fase di nuove edificazioni e di sviluppo urbanistico sono sempre necessarie specifiche e puntuali indagini a conferma o smentita dell'assetto geologico-sismico proposto per l'area comunale di Riva del Po.

## 7. METODOLOGIE DI ELABORAZIONE E RISULTATI

Le metodologie di elaborazione impiegate nel presente studio e i risultati di III livello di approfondimento sono i seguenti:

TABELLA 7-1: SCHEMA METODOLOGICO APPLICATO

EFFETTI LOCALI	Obiettivo	Metodologia	Risultato
<b>AMPLIFICAZIONI STRATIGRAFICHE DEL MOTO SISMICO</b>	<b>Stima fattori di amplificazione e sismica e spettri di risposta per l'area comunale di Riva del Po e sue frazioni</b>	<ul style="list-style-type: none"> <li>• Calcolo numerico della risposta sismica locale mediante codice di calcolo STRATA (<i>Equivalent linear site response analysis</i>). Modello Vs-profondità basato su indagini SCPTU-MASW-HVSR-ESAC; Litologia strati desunta da prove CPT, CPTU, Sondaggi profondi, Database Servizio Geologico E-R; Comportamento dinamico terreni ottenuto da prove di laboratorio in Colonna Risonante.</li> </ul>	<ul style="list-style-type: none"> <li>• Spettro di risposta elastico 1-sigma (spettro medio + deviazione standard);</li> <li>• Valori del rapporto <math>PGA/PGA_0</math> (fattore di amplificazione F.A.);</li> <li>• Valori del rapporto <math>SA/SA_0</math> (Housner);</li> <li>• Valori del rapporto <math>SI/SI_0</math> (Housner);</li> <li>• Valori dello scuotimento in accelerazione (<math>cm/s^2</math>) atteso al sito per gli intervalli di periodi <math>0,4s \leq T \leq 0,8s</math>, <math>0,7s \leq T \leq 1,1s</math> e <math>0,5s \leq T \leq 1,5s</math>.</li> </ul>
<b>INSTABILITA' DEI SUOLI IN CASO DI SISMA</b>	<b>Stima dell'Indice di liquefazione <math>I_L</math> e della relativa classe di pericolosità nei terreni incoerenti in falda (canali distributori, argini, rotte)</b>	<ul style="list-style-type: none"> <li>• Analisi dei dati ottenuti dalle prove CPTU e CPT con metodo di Boulanger &amp; Idriss (2014) e stima di <math>I_L</math> con metodo di Somnez (2003);</li> <li>• Analisi delle curve granulometriche ottenute in laboratorio geotecnico e confronto con i fusi di riferimento indicati dalla normativa vigente (DGR 630/2019).</li> </ul>	<ul style="list-style-type: none"> <li>• Andamento del fattore di sicurezza alla liquefazione con la profondità fino a 20 m;</li> <li>• Stima del valore di <math>I_L</math> e attribuzione della classe di pericolosità alla liquefazione;</li> <li>• Considerazioni circa i fusi granulometrici.</li> </ul>
	<b>Stima dei cedimenti attesi post-sisma (aree interdistributrici e paludi)</b>	<ul style="list-style-type: none"> <li>• Analisi dei dati ottenuti dalle prove CPTU e di laboratorio geotecnico con individuazione dei livelli dove: <math>Cu &lt; 70</math> KPa, <math>Vs &lt; 180</math> m/s e <math>IP &gt; 30\%</math>.</li> <li>• Prove edometriche per analisi della compressibilità dei livelli di terreno ove sono verificate le condizioni di cui al punto precedente.</li> </ul>	<ul style="list-style-type: none"> <li>• Stima indicativa del cedimento permanente post-sismico a carico della frazione coesiva soffice (compattazione dinamica).</li> </ul>

 <b>Synthesis s.r.l.</b> Piazza del Popolo civ. 13 – int. 5 44034 – Copparo – Fe Tel. 0532 860546 – Fax 0532 091680 www.synthesisr.com – info@synthesisr.com	STUDIO DI MICROZONAZIONE SISMICA DI III° LIVELLO <b>Relazione Illustrativa</b>	RIF. 020/20-EB-REV00 DEL 04/2020
--	---	-------------------------------------

## 8. ELABORATI CARTOGRAFICI

Il presente studio, come prescritto dalla DGR 630/2019, è corredato da una serie di elaborati cartografici di seguito elencati:

### Terzo livello di approfondimento:

- Carta delle indagini in scala 1:20.000 (carta unica) e distinte per le frazioni di Ruina e Zocca (1° di 6), Ro (2° di 6), Guarda Ferrarese e Alberone (3° di 6), Cologna (4° di 6), Berra (5° di 6) e Serravalle (6° di 6), tutte in scala 1:10.000;
- Carta delle frequenze naturali dei terreni in scala 1:15.000 (carta unica) e distinte per le frazioni di Ruina, Zocca e Ro (1° di 5), Guarda Ferrarese e Alberone (2° di 5), Cologna (3° di 5), Berra (4° di 5) e Serravalle (5° di 5), tutte in scala 1:10.000;
- Carta delle velocità delle onde di taglio S (Vs) in scala 1:10.000 (carta unica) e distinte per le frazioni di Ruina, Zocca e Ro (1° di 5) in scala 1:10.000, Guarda Ferrarese e Alberone (2° di 5) in scala 1:5.000, Cologna (3° di 5) in scala 1:5.000, Berra (4° di 5) in scala 1:5.000 e Serravalle (5° di 5) in scala 1:10.000;
- Carta dei fattori di amplificazione – Accelerazione Massima Orizzontale (F.A.  $PGA = PGA/PGA_0$ ) in scala 1:15.000 (carta unica) e distinte per le frazioni di Ruina, Zocca e Ro (1° di 4) in scala 1:10.000, Guarda Ferrarese e Alberone (2° di 4), Berra (3° di 4), Cologna e Serravalle (4° di 4), tutte in scala 1:5.000;
- Carta dei fattori di amplificazione – Integrale dello Spettro di Risposta in Accelerazione (F.A. =  $SA/SA_0$ ) ( $0,1s \leq T \leq 0,5s$ ) in scala 1:15.000 (carta unica) e distinte per le frazioni di Ruina, Zocca e Ro (1° di 4) in scala 1:10.000, Guarda Ferrarese e Alberone (2° di 4), Berra (3° di 4), Cologna e Serravalle (4° di 4), tutte in scala 1:5.000;
- Carta dei fattori di amplificazione – Integrale dello Spettro di Risposta in Accelerazione (F.A. =  $SA/SA_0$ ) ( $0,4s \leq T \leq 0,8s$ ) in scala 1:15.000 (carta unica) e distinte per le frazioni di Ruina, Zocca e Ro (1° di 4) in scala 1:10.000, Guarda Ferrarese e Alberone (2° di 4), Berra (3° di 4), Cologna e Serravalle (4° di 4), tutte in scala 1:5.000;
- Carta dei fattori di amplificazione – Integrale dello Spettro di Risposta in Accelerazione (F.A. =  $SA/SA_0$ ) ( $0,7s \leq T \leq 1,1s$ ) in scala 1:15.000 (carta unica) e distinte per le frazioni di Ruina, Zocca e Ro (1° di 4) in scala 1:10.000, Guarda Ferrarese e Alberone (2° di 4), Berra (3° di 4), Cologna e Serravalle (4° di 4), tutte in scala 1:5.000;
- Carta dei fattori di amplificazione – Integrale dello Spettro di Risposta in Accelerazione (F.A. =  $SA/SA_0$ ) ( $0,5s \leq T \leq 1,5s$ ) in scala 1:15.000 (carta unica) e distinte per le frazioni di Ruina, Zocca e Ro (1° di 4) in scala 1:10.000, Guarda Ferrarese e Alberone (2° di 4), Berra (3° di 4), Cologna e Serravalle (4° di 4), tutte in scala 1:5.000;
- Carta dei fattori di amplificazione – Intensità di Housner (F.H. =  $SI/SI_0$ ) ( $0,1s \leq T \leq 0,5s$ ) in scala 1:15.000 (carta unica) e distinte per le frazioni di Ruina, Zocca e Ro (1° di 4) in scala 1:10.000, Guarda Ferrarese e Alberone (2° di 4), Berra (3° di 4), Cologna e Serravalle (4° di 4), tutte in scala 1:5.000;
- Carta dei fattori di amplificazione – Intensità di Housner (F.H. =  $SI/SI_0$ ) ( $0,5 \leq T \leq 1,0s$ ) in scala 1:15.000 (carta unica) e distinte per le frazioni di Ruina, Zocca e Ro (1° di 4) in scala 1:10.000, Guarda Ferrarese e Alberone (2° di 4), Berra (3° di 4), Cologna e Serravalle (4° di 4), tutte in scala 1:5.000;
- Carta dei fattori di amplificazione – Intensità di Housner (F.H. =  $SI/SI_0$ ) ( $0,5 \leq T \leq 1,5s$ ) in scala 1:15.000 (carta unica) e distinte per le frazioni di Ruina, Zocca e Ro (1° di 4) in scala 1:10.000, Guarda Ferrarese e Alberone (2° di 4), Berra (3° di 4), Cologna e Serravalle (4° di 4), tutte in scala 1:5.000;
- Carta dei fattori di amplificazione – Scuotimento in Accelerazione ( $cm/s^2$ )  $H_{SM}$  ( $0,1s \leq T \leq 0,5s$ ) in scala 1:15.000 (carta unica) e distinte per le frazioni di Ruina, Zocca e Ro (1° di 4) in scala 1:10.000, Guarda Ferrarese e Alberone (2° di 4), Berra (3° di 4), Cologna e Serravalle (4° di 4), tutte in scala 1:5.000;



- Carta dei fattori di amplificazione – Scuotimento in Accelerazione ( $\text{cm/s}^2$ ) H ( $0,4s \leq T \leq 0,8s$ ) in scala 1:15.000 (carta unica) e distinte per le frazioni di Ruina, Zocca e Ro (1° di 4) in scala 1:10.000, Guarda Ferrarese e Alberone (2° di 4), Berra (3° di 4), Cologna e Serravalle (4° di 4), tutte in scala 1:5.000;
- Carta dei fattori di amplificazione – Scuotimento in Accelerazione ( $\text{cm/s}^2$ ) H ( $0,7s \leq T \leq 1,1s$ ) in scala 1:15.000 (carta unica) e distinte per le frazioni di Ruina, Zocca e Ro (1° di 4) in scala 1:10.000, Guarda Ferrarese e Alberone (2° di 4), Berra (3° di 4), Cologna e Serravalle (4° di 4), tutte in scala 1:5.000;
- Carta dei fattori di amplificazione – Scuotimento in Accelerazione ( $\text{cm/s}^2$ ) H ( $0,5s \leq T \leq 1,5s$ ) in scala 1:15.000 (carta unica) e distinte per le frazioni di Ruina, Zocca e Ro (1° di 4) in scala 1:10.000, Guarda Ferrarese e Alberone (2° di 4), Berra (3° di 4), Cologna e Serravalle (4° di 4), tutte in scala 1:5.000.

### 8.1 Carta delle Indagini

E' la carta in cui sono riportate tutte le indagini geognostiche e geofisiche, sia quelle utilizzate per il I° e II° Livello di approfondimento dei Comuni di Berra e di Ro sia quelle realizzate nel presente studio (III livello di approfondimento dei Comuni di Berra e di Ro).

Per il comune di Riva del Po, comprese tutte le frazioni, sono state nel complesso analizzate e/o realizzate:

#### I-II LIVELLO DI APPROFONDIMENTO

- n. 174 prove penetrometriche statiche meccaniche (CPT);
- n. 11 prove penetrometriche statiche con piezocono (CPTU);
- n. 3 prove penetrometriche statiche con piezocono e cono sismico (SCPTU);
- n. 82 pozzi per acqua;
- n. 29 sondaggi a carotaggio continuo;
- n. 3 sondaggi con piezometro (Regione Emilia – Romagna);
- n. 1 pozzo per la ricerca di idrocarburi;
- n. 5 indagini tipo *Multichannel Analysis of Surface Waves* (MASW);
- n. 1 misurazione ESAC-SPAC;
- n. 41 misurazioni dei microtrempi ambientali *Horizontal to Vertical Spectral Ratio* (HVSr).

#### III LIVELLO DI APPROFONDIMENTO

- n. 4 prove penetrometriche statiche con piezocono (CPTU);
- n. 2 prova penetrometrica statica con piezocono sismico (SCPTU);
- n. 6 sondaggi a trivella con prelievo di n. 5 campioni tra rimaneggiati e indisturbati (shelby) per analisi di laboratorio geotecnico;
- n. 3 profili sismici in array tipo *Multichannel Analysis of Surface Waves* (MASW);
- n. 2 profili sismici con array bidimensionale tipo **ESAC**;
- n. 5 misurazioni del microtrempo ambientale con metodo *Horizontal to Vertical Spectral Ratio* (HVSr);
- n. 2 misure sperimentali del comportamento dinamico di una struttura (metodo SSR e misura a stazione singola).

Circa le indagini dirette che fanno riferimento al I-II livello di approfondimento, la maggior parte di esse proviene dall'archivio interno di Synthesis S.r.l. Si tratta per lo più di prove penetrometriche statiche a punta meccanica e a punta elettrica con piezocono, eseguite nel corso di pregresse campagne geognostiche. Le penetrometrie in media hanno raggiunto profondità comprese tra 15-30 m da piano

	<b>Synthesis s.r.l.</b> Piazza del Popolo civ. 13 – int. 5 44034 – Copparo – Fe Tel. 0532 860546 – Fax 0532 091680 www.synthesisr.com – info@synthesisr.com	STUDIO DI MICROZONAZIONE SISMICA DI III° LIVELLO <b>Relazione Illustrativa</b>	RIF. 020/20-EB-REV00 DEL 04/2020
--	---	---	-------------------------------------

campagna. Per quanto riguarda i sondaggi e pozzi per acqua la profondità è in genere compresa tra 30-40 m da p.c. (un minimo di circa 20 m a un massimo di 60 m da p.c.), mentre il pozzo per idrocarburi ha raggiunto profondità di circa 200 m.

Le prove che fanno riferimento al III livello di approfondimento (campagna 2018) sono state realizzate interamente nel corso del presente studio. Le indagini dirette hanno esplorato profondità paria a 20 - 30 m, i sondaggi a trivella hanno raggiunto profondità di circa 5 - 7 m, mentre il sondaggio a carotaggio continuo ha raggiunto -21 m circa da p.c.

La profondità raggiunta nel complesso dalle prove è ampiamente sufficiente per individuare e stimare gli indici di rischio degli orizzonti potenzialmente suscettibili di instabilità, nello specifico terreni suscettibili di densificazione (terreni fini-coesivi) o liquefazione (terreni granulari-incoerenti).

Circa le indagini indirette di tipo geofisico, per il I-II livello di approfondimento (campagna 2017) sono stati eseguiti:

- per il Comune di Berra, profili sismici in array in onde di superficie e misure a stazione singola del microtremore ambientale con metodo HVSR; queste prove sono state eseguite in corrispondenza del centro (municipio, chiesa, piazza centrale) degli abitati di Berra, Cologna e Serravalle. Tutte le altre indagini di tipo indiretto geofisico provengono da precedenti campagne geognostiche.

- per il Comune di Ro, n.1 prova penetrometrica con cono sismico (SCPTU) al fine di definire il profilo delle velocità di propagazione delle onde di taglio S (Vs), n. 35 misure di tipo HVSR (molte delle quali reperite dal "Progetto SISMAPO" e realizzate sulla sommità e al piede (lato campagna) dell'argine del Po, utili per definire la frequenza fondamentale di risonanza di terreni e per l'individuazione delle superfici di contrasto e impedenza nel sottosuolo) e n. 1 profilo sismico in array con tecnica MASW.

Le indagini geofisiche eseguite per il III livello di approfondimento (campagna 2018), sono consistite in profili in array di tipo masw (n. 1 Zocca, n. 1 a Cologna e n. 1 a Serravalle), in due profili in array bidimensionale di tipo ESAC (Ro e Serravalle), in misure a stazione singola del microtremore ambientale sia sul suolo (HVSR-frequenze naturali di vibrazione del sottosuolo) sia su strutture (SSR-periodo di vibrazione della struttura); nel caso specifico le strutture esaminate sono state l'edificio sede del Municipio di Riva del Po e l'edificio ex sede del Municipio di Ro.

## 8.2 Carta delle frequenze naturali dei terreni

La carta contiene informazioni sulla frequenza e l'ampiezza dei picchi di amplificazione locale del moto del suolo per risonanza stratigrafica che caratterizzano l'area. E' una carta molto importante in quanto frutto di registrazioni dirette eseguite in sito. Le misure effettuate, i cui valori di picco sono riportati sulla carta, indicano a quali frequenze il moto del suolo subisce delle amplificazioni per effetto dell'assetto stratigrafico specifico del sottosuolo investigato e per effetto dei contrasti di rigidità relativi tra gli strati, o più in generale tra le unità, che lo compongono.

L'elaborazione delle curve HVSR, associate ai profili in array (MASW e in particolare ESAC), ha permesso di estendere la modellazione delle Vs fino a profondità di oltre 100 m.

Dall'elaborazione delle curve HVSR, per il territorio dell'ex Comune di Berra, si rileva la presenza di modeste amplificazioni locali del moto del suolo per risonanza stratigrafica a contrasto d'impedenza prevalentemente moderato (ampiezza picco in genere  $2 \leq F_0 < 3$ ) sia nell'intervallo di frequenze 1-2 Hz sia per frequenze  $< 1$  Hz (intervallo 0.4-0.8 Hz circa).

L'ampiezza dei picchi di amplificazione aumenta lungo la direzione ovest-est, ossia da Cologna verso Serravalle, seguendo il corso attuale del Po. In generale, se si vuole attribuire un valore medio rappresentativo dell'area, il picco del rapporto H/V si attesta tra  $2 < F_0 < 3$ .

Sicuramente anomala in termini di ampiezza del picco la misura *BERRA 038002P25HVSR26* (II livello), il cui picco a circa 1 Hz presenta un'ampiezza pari a 6 che non trova altri riscontri.



Le curve HVSR, registrate in corrispondenza del territorio dell'ex Comune di Ro, sono caratterizzate da picchi di amplificazione basso-moderati ( $2 < F_0 < 3$ ) per frequenze  $< 1$  Hz (contrasti presumibilmente profondi  $\geq 100$  m) e da deboli amplificazioni tra 1-2 Hz ( $F_0 < 2$ ; contrasti più superficiali collocabili a circa 20 m corrispondente al contatto Unità A-Unità C).

I risultati ottenuti e descritti sono da confrontare con specifiche misure del periodo di vibrazione delle strutture (analisi del comportamento dinamico delle strutture) al fine di consentire il confronto tra le frequenze di vibrazione del terreno e quelle delle strutture con l'obiettivo di evitare o contenere il fenomeno di *doppia risonanza terreno-struttura*. Nello studio in esame, a tal proposito, è stato analizzato il comportamento dinamico (modi di vibrazione e relativi periodi) dell'edificio sede del Municipio di Riva del Po e dell'edificio ex sede del Municipio di Ro.

### 8.3 Carta delle velocità delle onde di taglio S (Vs)

La carta illustra e riporta i valori stimati di Vs30, ovvero la media ponderata di velocità delle onde di taglio S nei primi 30 m da p.c.

La stima è stata eseguita mediante:

#### I-II LIVELLO DI APROFONDIMENTO (indagini pregresse)

- n.3 prove penetrometriche con cono sismico (SCPTU);
- n. 4 profili in array con tecnica MASW (profilo monodimensionale) eseguiti dagli scriventi nella campagna di indagini 2017;
- n. 1 misura del microtremore ambientale (HVSR);
- n.1 profilo in array con tecnica ESAC (profilo bidimensionale) proveniente da dati di archivio.

#### III LIVELLO DI APPROFONDIMENTO (campagna 2018)

- n. 2 prove penetrometriche con cono sismico (SCPTU)
- n. 3 profili in array con tecnica MASW (profilo monodimensionale);
- n.2 profili in array con tecnica ESAC (profilo bidimensionale);
- n. 3 misure del microtremore ambientale (HVSR).

La tabella sottostante riepiloga i risultati ottenuti.

TABELLA 8.3-1: VALORI DI VS<sub>30</sub> STIMATI PER L'AREA COMUNALE DI RIVA DEL PO

SITO	Tipologia di indagine e anno campagna geofisica	VS <sub>30</sub> m/s	COMMENTI
Berra	MASW (2017)	151	Per la corretta stima della VS <sub>30</sub> è stato eseguito il Fit congiunto con misura HVSR
Berra	ESAC (2017)	160	-
Cologna	MASW (2017)	178	Per la corretta stima della VS <sub>30</sub> è stato eseguito il Fit congiunto con misura HVSR
Serravalle	MASW (2017)	156	Per la corretta stima della VS <sub>30</sub> è stato eseguito il Fit congiunto con

			misura HVSR
BERRA	SCPTU (2018)	152	-
Cologna	MASW (2018)	170	Per la corretta stima della $V_{s30}$ è stato eseguito il Fit congiunto con misura HVSR
Serravalle	MASW (2018)	135	Per la corretta stima della $V_{s30}$ è stato eseguito il Fit congiunto con misura HVSR
Serravalle	ESAC (2018)	170	Per la corretta stima della $V_{s30}$ è stato eseguito il Fit congiunto con misure HVSR
Guarda Ferrarese 038020L1MASW1	MASW (2017)	151	Per la corretta stima della $V_{s30}$ è stato eseguito il Fit congiunto con misura HVSR
Ruina 038020P41SCPT47	SCPTU (2017)	160	-
Zocca 038020P42SCPT48	SCPTU (2017)	178	-
Ro 038020P185SCPT191	SCPTU (2017)	156	Per la corretta stima della $V_{s30}$ è stato eseguito il Fit congiunto con misura HVSR
Ro 038020p20hvsr20	HVSR (2017)	170	-
Ro FRAZIONE	ESAC (2018)	170	-
Alberone FRAZIONE	SCPTU (2018)	175 m/s	-
Zocca FRAZIONE	MASW (2018)	173 m/s	Fit congiunto con n. 3 misure HVSR eseguite presso Alberone, Guarda F. e Ruina



Come già più volte descritto, anche i valori di velocità delle onde S testimoniano e confermano la presenza di terreni a scarsa rigidità, soffici e molto soffici, caratterizzati da valori medi di  $V_s < 180$  m/s in particolare nei primi 15-20 m di profondità da p.c. (UNITA' A). Al di sotto di tale quota, le sabbie pleistoceniche mostrano decisi innalzamenti dei valori di velocità  $V_s$  (UNITA' C) con valori medi di circa 250 m/s.

#### 8.4 Carta di Microzonazione Sismica

Come riportato nelle carte delle aree suscettibili di effetti locali redatte nel corso della microzonazione di II livello di approfondimento, per il comune di Berra, con le frazioni di Cologna e Serravalle e per il comune di Ro, con le frazioni di Alberone, Guarda F., Ruina e Zocca, si distinguono:

- ZONA 1: caratterizzata dalla presenza di argilla/limo argilloso (terreni potenzialmente instabili per densificazione) e sabbia (terreni potenzialmente suscettibili di liquefazione);
- ZONA 3: caratterizzata dalla presenza di argilla/limo argilloso (terreni potenzialmente instabili per potenziale densificazione), torba (terreni instabili per potenziale densificazione) e sabbia (terreni potenzialmente suscettibili di liquefazione);
- ZONA 4: caratterizzata dalla presenza di argilla/limo argilloso (terreni instabili per potenziale densificazione);
- ZONA 5: caratterizzata dalla presenza di argilla/limo argilloso (terreni instabili per potenziale densificazione) e torba (terreni instabili per potenziale densificazione).

Tutte le zone individuate e distinte sono da considerarsi suscettibili di amplificazione stratigrafica del moto sismico. Trascurando gli effetti topografici, trattandosi di aree pianeggianti, le coperture sedimentarie poste sopra al bedrock sismico, per le loro stesse caratteristiche di rigidità, natura litologica e assetto stratigrafico, sono in grado di modificare il moto sismico proveniente da basso in termini di frequenza, durata e ampiezza, amplificandone gli effetti di scuotimento in superficie.

Nel presente studio si forniscono le carte dei fattori di amplificazione in termini di:

- rapporto  $F_{PGA} = PGA/PGA_0$ , dove  $PGA_0$  è l'accelerazione massima orizzontale a periodo  $T=0$  al suolo di riferimento e  $PGA$  è l'accelerazione massima orizzontale a periodo  $T=0$  alla superficie del sito;
- rapporto  $FA = SA/SA_0$ , dove  $SA_0$  è l'integrale dello spettro di risposta in accelerazione al suolo di riferimento e  $SA$  è l'integrale dello spettro di risposta in accelerazione alla superficie del sito per prefissati intervalli di periodi  $T$ :  $SA_1$  per  $0,1s \leq T \leq 0,5s$ ,  $SA_2$  per  $0,4s \leq T \leq 0,8s$ ,  $SA_3$  per  $0,7s \leq T \leq 1,1s$ ,  $SA_4$  per  $0,5s \leq T \leq 1,5s$ ;
- rapporto  $FH = SI/SI_0$ , dove  $SI_0$  è l'integrale dello spettro di risposta in velocità (Intensità di Housner) al suolo di riferimento e  $SI$  è l'integrale dello spettro di risposta in velocità (o corrispondente grandezza di Intensità di Housner) alla superficie del sito per prefissati intervalli di periodi  $T$ :  $SI_1$  per  $0,1s \leq T \leq 0,5s$ ,  $SI_2$  per  $0,5s \leq T \leq 1,0s$ ,  $SI_3$  per  $0,5s \leq T \leq 1,5s$ ;
- valori di  $H_{SM}$ , parametro che esprime lo scuotimento atteso al sito in valore assoluto (accelerazione in  $cm/s^2$ ), dato dal prodotto del parametro Acceleration Spectrum Intensity ( $ASI_{UHS}$ ), valore integrale dello spettro di riferimento in accelerazione calcolato per l'intervallo di periodi  $0,1s \leq T \leq 0,5s$ , diviso per  $\Delta T$  (in questo caso pari a  $0,4s$ ) e moltiplicato per il fattore di amplificazione in accelerazione ( $FA$ ) calcolato per lo stesso intervallo di periodi  $0,4s \leq T \leq 0,8s$ ,  $0,7s \leq T \leq 1,1s$  e  $0,5s \leq T \leq 1,5s$ .

Allo stesso modo tutte le zone riconosciute si caratterizzano per la presenza di terreni fini, coesivi, soffici e molto soffici caratterizzati da valori medi di resistenza a rottura in condizioni non drenate (breve termine)  $< 70$  KPa. Resistenze medie inferiori a tale valore di soglia, come indicato nella DGR 630/2019 nell'allegato A3 – Capitolo B – paragrafo B3, unitamente ai valori stimati di velocità delle onde di taglio S, in genere risultati  $< 180$  m/s, indicano la predisposizione di tali depositi allo sviluppo di cedimenti potenzialmente rilevanti in caso di scuotimento indotto dall'azione ciclica e dinamica del sisma. Tale



fenomeno, indicato con il termine di *densificazione* (abbassamento generalizzato del piano campagna), può causare effetti di danno rilevanti specie sulle costruzioni poggianti su fondazioni superficiali, poste a diretto contatto con gli strati superficiali e in genere più soffici, sollecitati dall'azione sismica. Pertanto, le zone 1, 3, 4 e 5, sono state oggetto di analisi con III° livello di approfondimento al fine di stimare, a livello indicativo e di ordine di grandezza, il cedimento indotto dal sisma a carico della frazione coesiva fine (argilla e limi argillosi dell'unità A). Sui campioni di terreno prelevati nel corso della presente campagna geognostica è stato determinato il valore di Indice Plastico IP al fine di verificare il superamento o meno della soglia del 30% indicata dalla normativa. Nei casi in cui  $IP > 30\%$ , unitamente a  $c_u < 70$  KPa e  $V_s$  strato  $< 180$  m/s già ampiamente verificati, si è proceduto all'esecuzione in laboratorio geotecnico di prove edometriche su campioni indisturbati prelevati nei primi 5 m da p.c., al fine di stimare numericamente il cedimento post-sismico atteso. L'accelerazione massima in superficie utilizzata nel calcolo è stata quella ottenuta dall'analisi di risposta sismica locale per un Tempo di Ritorno di 475 anni e smorzamento pari al 5%.

Limitatamente alle ZONA 1 e ZONA 3, rilevate ovunque sul territorio comunale, si riscontra anche la presenza di depositi incoerenti-granulari nei primi 20 m da p.c., quali sabbie, sabbie limose e limi sabbiosi, con scarso grado di addensamento e sotto falda.

Alla luce di quanto sopra riportato, per i depositi sabbiosi individuati sono state eseguite analisi con III livello di approfondimento al fine di stimare a scala dell'intero territorio comunale, l'Indice di Liquefazione  $I_L$  come prescritto dalla normativa di riferimento. Le analisi sono state condotte sulla scorta dei risultati ottenuti da prove CPTU e SCPTU, applicando come accelerazione massima in superficie quella ottenuta dall'analisi di risposta sismica locale per un Tempo di Ritorno di 475 anni e smorzamento pari al 5%. Il metodo utilizzato per il calcolo del fattore di sicurezza alla liquefazione è stato quello di Boulanger & Idriss (2014), mentre il valore dell'indice di Liquefazione  $I_L$  è stato determinato mediante Sonmez (2003).

Con l'approfondimento di III livello le zone sono divenute:

#### ZONE STABILI SUSCETTIBILI DI AMPLIFICAZIONI LOCALI

- ZONA 6: caratterizzata dalla presenza di argilla/limo argilloso e sabbia;
- ZONA 8: caratterizzata dalla presenza di argilla/limo argilloso, torba e sabbia;
- ZONA 9: caratterizzata dalla presenza unicamente di argilla/limo argilloso;
- ZONA 10: caratterizzata dalla presenza di argilla/limo argilloso e torba.

#### ZONE di INSTABILITA' (attenzione, suscettibilità e rispetto)

- ZONA tipo 3080: zona di attenzione per densificazione;
- ZONA tipo 30502001: zona di attenzione per liquefazione.

#### **8.4.1 Analisi di Risposta Sismica Locale**

La valutazione degli effetti sismici di sito (Risposta Sismica Locale) dell'intera area comunale di Riva del Po comprese le sue frazioni è stata condotta mediante approccio numerico non semplificato come previsto dalla DGR N. 630/2019 della Regione Emilia Romagna per il III livello di approfondimento, utilizzando il **codice di calcolo STRATA (Equivalent-linear Earthquake site Response Analysis; STRATA è distribuito con licenza GNU disponibile al sito <http://www.gnu.org/licenses/>)**.

L'analisi di risposta sismica locale è stata eseguita in modo sito specifico per la zona di Berra capoluogo, per la zona di Cologna, per la zona di Serravalle, per la zona di Ro (comprese le frazioni di Zocca e Ruina) e per la zona di Guarda Ferrarese-Alberone. Le aree infatti si distinguono sostanzialmente per

valori di  $a_{refg}$  ( $PGA_0$  = accelerazione orizzontale massima al bedrock) leggermente differenti e per la profondità presunta del bedrock sismico.

### PARAMETRI DI INPUT PER L'EX TERRITORIO COMUNALE DI BERRA

TABELLA 8.4.1-1: PARAMETRI DI INPUT UTILIZZATI PER L'ANALISI RSL

SITO	Valori di $a_{refg}$ (g)	Scelta dei segnali di input	Banca dati di provenienza dei segnali di input	N. Accelerogrammi input impiegati	Profondità presunta bedrock sismico riferita al livello del mare
BERRA	0.0674	Storia sismica da DBMI15-CPTI15 (INGV) e Carta Sismogenetica d'Italia <i>Zone ZS9</i> (si veda capitolo 2 nel presente documento)	European Strong Motion Database ISESD (dati disponibili su Servizio Geologico Sismico e dei Suoli E-R: "Sismica-Microzonazione Sismica") come da DGR2193/2015; Italian Accelerometric Archive (ITACA 2.3) si veda scheda di seguito nel testo	10 (N. 3 da European Strong Motion Database e n. 7 da ITACA 2.3)	300-350 m
COLOGNA	0.0708				250-300 m
SERRAVALLE	0.0644				350-400 m

### PARAMETRI DI INPUT PER L'EX TERRITORIO COMUNALE DI RO

TABELLA 8.4.1-2: PARAMETRI DI INPUT UTILIZZATI PER L'ANALISI RSL

SITO	Valori di $a_{refg}$ (g)	Scelta dei segnali di input	Banca dati di provenienza dei segnali di input	N. Accelerogrammi input impiegati	Profondità presunta bedrock sismico riferita al livello del mare
RO (comprese frazioni Zocca e Ruina)	0.0934	Storia sismica da DBMI15-CPTI15 (INGV) e Carta Sismogenetica d'Italia <i>Zone ZS9</i> (si veda capitolo 2 nel	European Strong Motion Database ISESD (dati disponibili su Servizio Geologico Sismico e dei Suoli E-R:	10 (N. 3 da European Strong Motion Database e n. 7	150-200 m

Guarda Ferrarese e Alberone	0.0748	presente documento)	“Sismica- Microzonazione Sismica”) come da DGR2193/2015;  Italian Accelerometric Archive (ITACA 2.3) si veda scheda di seguito nel testo	da ITACA 2.3)	200-250 m
--------------------------------------	--------	---------------------	--	---------------	-----------

Dove:

- come valori di  $a_{refg}$  sono stati assunti quelli riferiti al nodo più vicino oppure, in caso di una certa equidistanza, si è fatto riferimento al nodo con valore più elevato (DGR2193/2015 file: *all\_4\_coord.kmz*);
- **DBMI** = Database Macrosismico Italiano 2015 (INGV);
- **CPTI** = Catalogo Parametrico Terremoti Italiani 2015 (INGV);
- la **profondità del bedrock sismico ( $V_s \approx 700/800$  m/s)** è stata stimata in base all’isobata del tetto del Sintema Emiliano Romagnolo superiore (da Carta Sismotettonica Regione E-R) e all’interpretazione delle indagini geofisiche (in particolare HVSR e ESAC);
- tutti gli accelerogrammi utilizzati come **segnali di input** sono stati scalati al valore di  $a_{refg}$  riportato in tabella e i relativi spettri di risposta in accelerazione fanno riferimento a un Tempo di Ritorno  $T_R = 475$  anni e a uno **smorzamento convenzionale del 5%**;
- i 3 segnali provenienti dalla banca dati europea (**ISESD**) e indicati sulla normativa di riferimento provengono dai seguenti files: 000046xa.xy; 000126xa.xy; 000354xa.xy
- i 7 segnali provenienti dal database **ITACA 2.3** sono stati selezionati come riportato di seguito (gli accelerogrammi con fattore di scala troppo elevato a giudizio dello scrivente non sono stati considerati nell’analisi):



REXELite ELABORATION SUMMARY

=====  
Tue Mar 27 10:12:37 CEST 2018

Target spectrum

=====  
Latitude: 44.980946  
Longitude: 11.980218  
Site classification: A  
Topography: 1  
Nominal life [years]: 50  
Building functional type (Cu): 1.0  
Limit state probability : 0.1

Preliminary record search

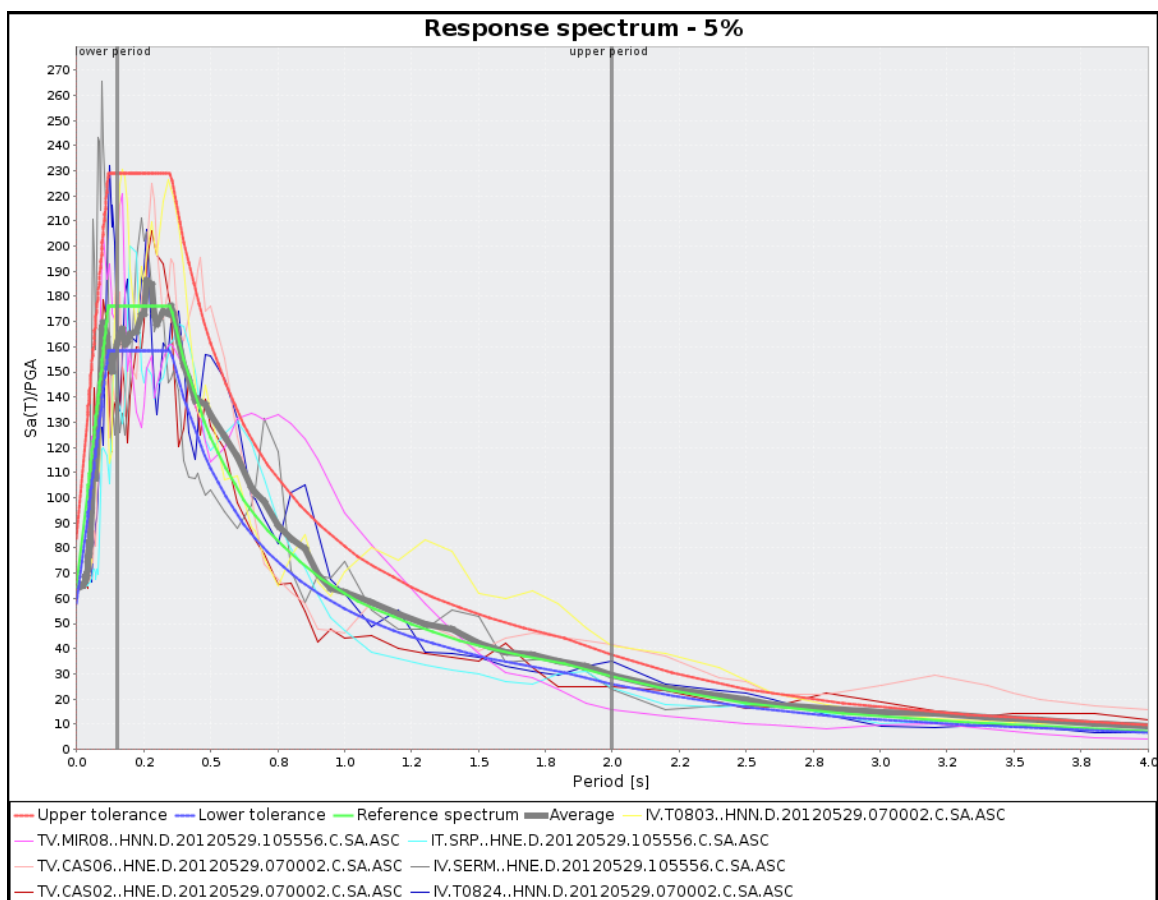
=====  
Station site classification: A,A\*,B,B\*,C,C\*,D,D\*,E,E\*  
Magnitude min: 5.0  
Magnitude max: 6.0  
Types of magnitude considered: w  
Focal mechanism: Thrust faulting  
Epicentral distance min [km]: 10.0  
Epicentral distance max [km]: 50.0  
Include late trigger events: yes  
Include analog recordings: yes

Spectrum matching parameters and analysis options

=====  
Period range min [s]: 0.15  
Period range max [s]: 2.0  
Tolerance below average [%]: 10.0  
Tolerance above average [%]: 30.0  
Scaled records: yes

Scaled records and corresponding scale factors

=====  
IV.T0824..HNN.D.20120529.070002.C.SA.ASC 0.454  
TV.CAS02..HNE.D.20120529.070002.C.SA.ASC 1.574  
IV.SERM..HNE.D.20120529.105556.C.SA.ASC 16.787  
TV.CAS06..HNE.D.20120529.070002.C.SA.ASC 1.830  
IT.SRP..HNE.D.20120529.105556.C.SA.ASC 2.049  
TV.MIR08..HNN.D.20120529.105556.C.SA.ASC 0.709  
IV.T0803..HNN.D.20120529.070002.C.SA.ASC 0.938



**Figura 8.4.1-1 – Spettri dei segnali di input provenienti da ITACA 2.3 (spettri compatibili in media con lo spettro del terremoto target) per il territorio dell'ex comune di Berra**



### Target spectrum

=====

Latitude: 44.945824  
Longitude: 11.761446  
Site classification: A  
Topography: 1  
Nominal life [years]: 50  
Building functional type (Cu): 1.0  
Limit state probability : 0.1

### Preliminary record search

=====

Station site classification: A,A\*,B,B\*,C,C\*,D,D\*,E,E\*  
Magnitude min: 5.0  
Magnitude max: 6.0  
Types of magnitude considered: WL  
Epicentral distance min [km]: 10.0  
Epicentral distance max [km]: 50.0  
Include late trigger events: no  
Include analog recordings: yes

### Spectrum matching parameters and analysis options

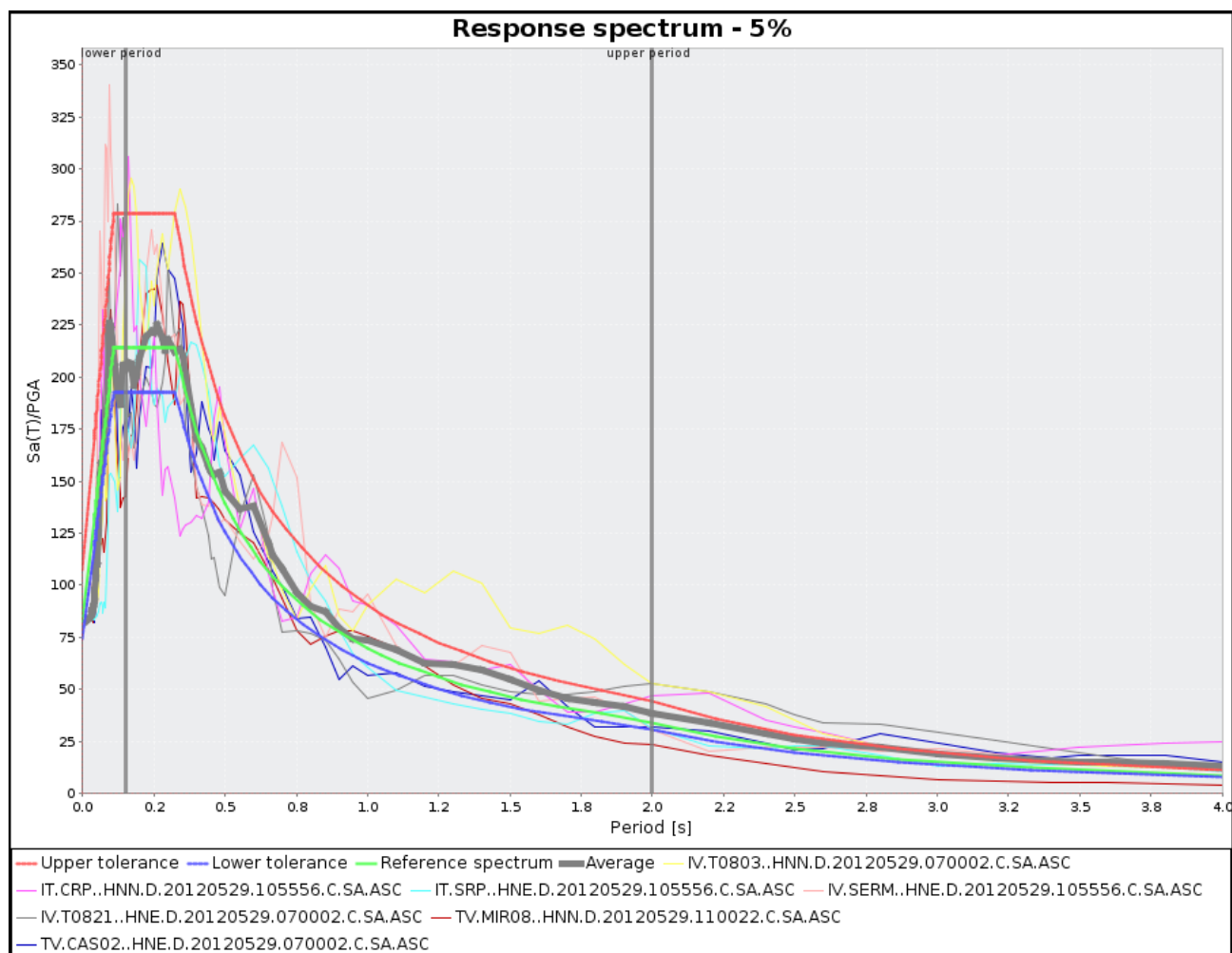
=====

Period range min [s]: 0.15  
Period range max [s]: 2.0  
Tolerance below average [%]: 10.0  
Tolerance above average [%]: 30.0  
Scaled records: yes

### Scaled records and corresponding scale factors

=====

TV.CAS02..HNE.D.20120529.070002.C.SA.ASC 2.018  
TV.MIR08..HNN.D.20120529.110022.C.SA.ASC 1.007  
IV.T0821..HNE.D.20120529.070002.C.SA.ASC 4.192  
IV.SERM..HNE.D.20120529.105556.C.SA.ASC 21.523  
IT.SRP..HNE.D.20120529.105556.C.SA.ASC 2.627  
IT.CRP..HNN.D.20120529.105556.C.SA.ASC 0.725  
TV.T0803..HNN.D.20120529.070002.C.SA.ASC 1.203



**Figura 8.4.1-2 – Spettri dei segnali di input provenienti da ITACA 2.3 (spettri compatibili in media con lo spettro del terremoto target) utilizzati per il territorio dell'ex comune di Ro**

### **MODELLO DI SOTTOSUOLO UTILIZZATO PER L'EX TERRITORIO COMUNALE DI BERRA**

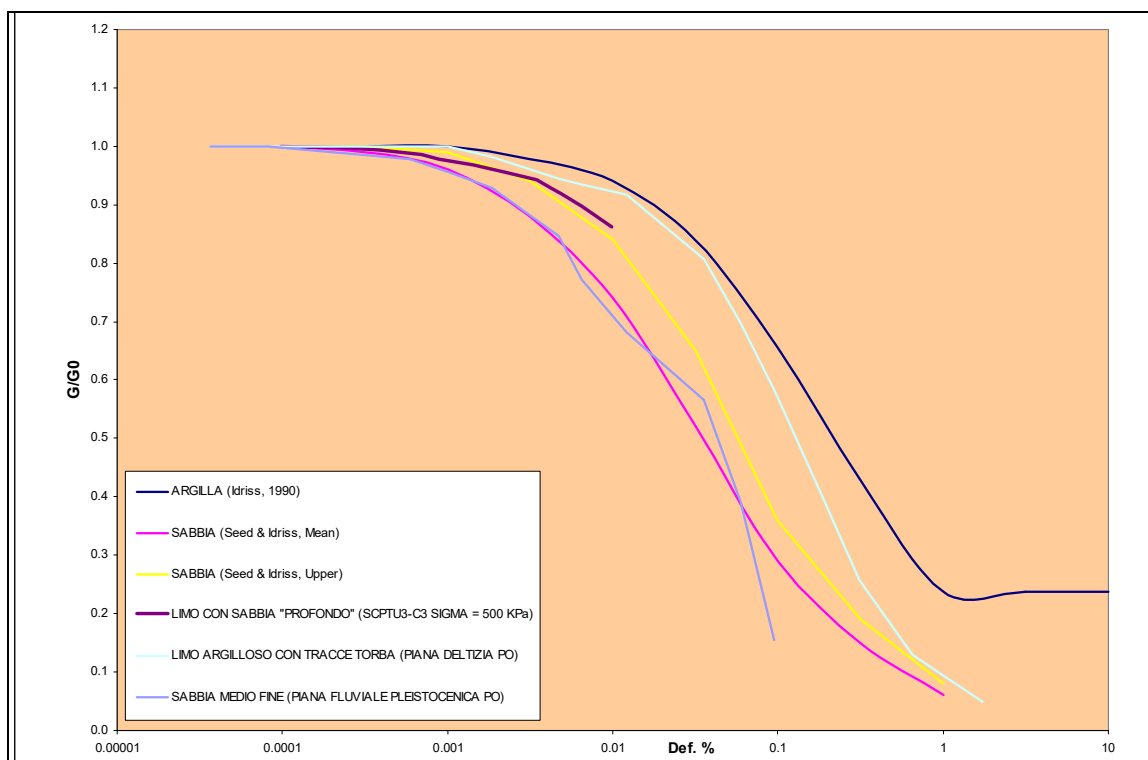
**TABELLA 8.4.1-3: MODELLO DI SOTTOSUOLO UTILIZZATO PER L'ANALISI DI RISPOSTA SISMICA LOCALE PER L'AREA DI BERRA E SUE FRAZIONI**

Prof. da p.c. tetto sismostrato (m)	Spessore sismostrato (m)	Litotipo prevalente nel sismostrato	Unità di riferimento (modello geologico da I-II-III livello)	Velocità media stimata onde S (m/s) nel sismostrato	Velocità minima stimata onde S (m/s) nel sismostrato	Velocità massima stimata onde S (m/s) nel sismostrato	Curve G-gamma; D-gamma (degrado modulo taglio/dumping)
0.00	20.00	limo argilloso organico con tracce di torba	A piana deltizia olocenica Po	125.00	100.00	160.00	Colonna risonante su campione litologicamente analogo proveniente da

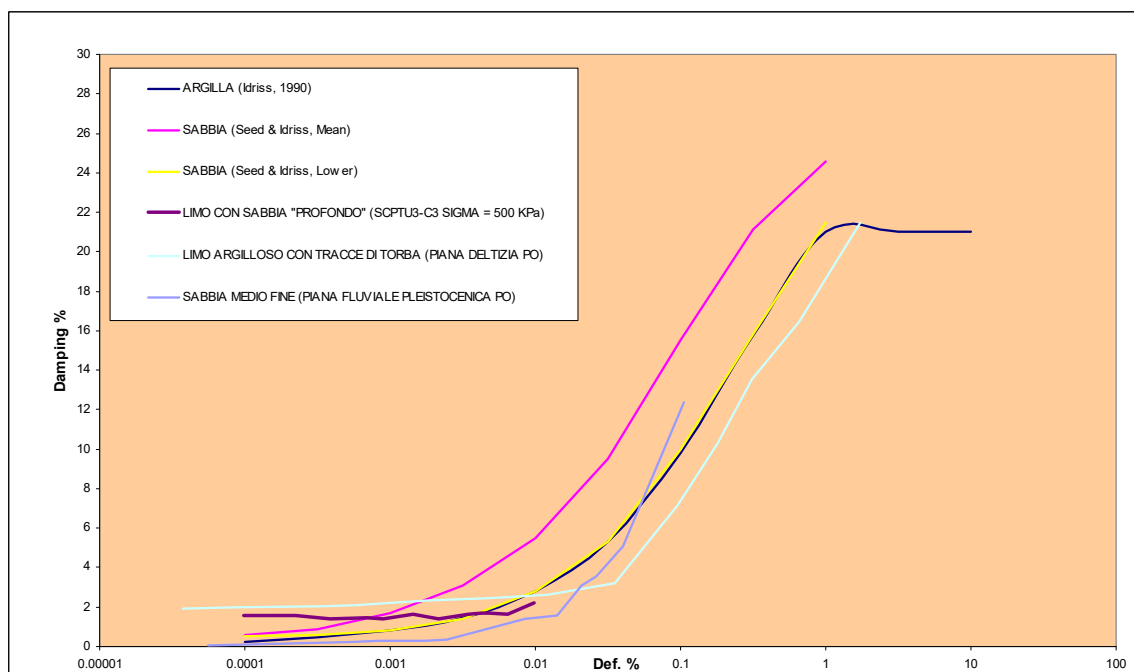
							RO (≈9 m profondità)
20.00	30.00	sabbia medio fine grigia	C piana alluvionale pleistocenica Po	250.00	220.00	330.00	Colonna risonante su campione litologicamente analogo proveniente da RO (≈20 m profondità)
50.00	50.00	limo con sabbia "profondo"	Altri Depositi del Sintema E-R superiore	330.00	300.00	330.00	Colonna risonante su campione proveniente da alta pianura bolognese consolidato a 500 KPa
100.00	200.00	limo con sabbia "profondo"	Altri Depositi del Sintema E-R superiore	400.00	400.00	500.00	Colonna risonante su campione proveniente da alta pianura bolognese consolidato a 500 KPa
250-350 (variabile tra Cologna-Berra-Serravalle)	half-space	Bedrock	Tetto Sintema E-R inferiore	700.00	600.00	800.00	Da letteratura (Darendeli)

La profondità della falda è stata assunta mediamente a – 2 m di profondità da p.c.

Le curve degrado (g-gamma) e smorzamento (dumping D-gamma) utilizzate sono riportate nelle figure seguenti. A titolo di confronto nei grafici sono inserite anche le curve provenienti da ben noti studi di letteratura associate a litotipi analoghi a quelli presenti in sito (studi su argille e sabbie di Seed e Idriss).



**Figura 8.4.1-3 – Curve G-gamma materiali impiegati nell’analisi e confronto con curve note da letteratura**



**Figura 8.4.1-4 - Curve D-gamma materiali impiegati nell’analisi e confronto con curve note da letteratura**

TABELLA 8.4.1-4: GESTIONE DELLE INCERTEZZE: VARIAZIONI CONSENTITE NELL'ANALISI CON SOFTWARE STRATA

SITO	Metodo utilizzato per variazione parametri	Variabili su cui è stato applicato il metodo <i>Monte Carlo</i>	NOTE
BERRA	Simulazioni con metodo <i>Monte Carlo</i> basate sulla generazione di una distribuzione statistica (in genere normale o log-normale) di una variabile prescelta a partire dalla sua media e dalla sua deviazione standard	<ul style="list-style-type: none"> <li>- Velocità onde S nel sismostrato;</li> <li>- Spessore del sismostrato</li> <li>- Profondità bedrock sismico</li> <li>- Andamento curve G-gamma; D-gamma nel sismostrato</li> </ul>	Circa la variazione delle Vs sono stati fissati dei limiti minimi e massimi per il singolo sismostrato sulla base dei risultati delle indagini geofisiche (modello empirico Toro, 1995 – distribuzione log-normale); Circa lo spessore degli strati (modello empirico Toro, 1995 – distribuzione log-normale) si è posta particolare attenzione all'interfaccia tra i depositi dell'Unità A (Limi e argille prevalenti di piana deltizia olocenica) e i depositi dell'Unità C (Sabbie pleistocenice Po). Si è cercato di tenere conto del fatto che alla scala dell'intero territorio comunale il limite tra queste 2 unità sia risultato variabile dell'ordine di qualche metro con una media fissata intorno a circa 20 m; Circa la profondità del bedrock questo è stato fatto variare con distribuzione log-normale all'interno del range indicato sulla Carta Sismotettonica della Regione E-R (isobate Sintema Emiliano-Romagnolo superiore); Circa le curve degrado/smorzamento, sono state fatte variare secondo il modello empirico di Darendeli (2001 – distribuzione normale).
COLOGNA			
SERRAVALLE			

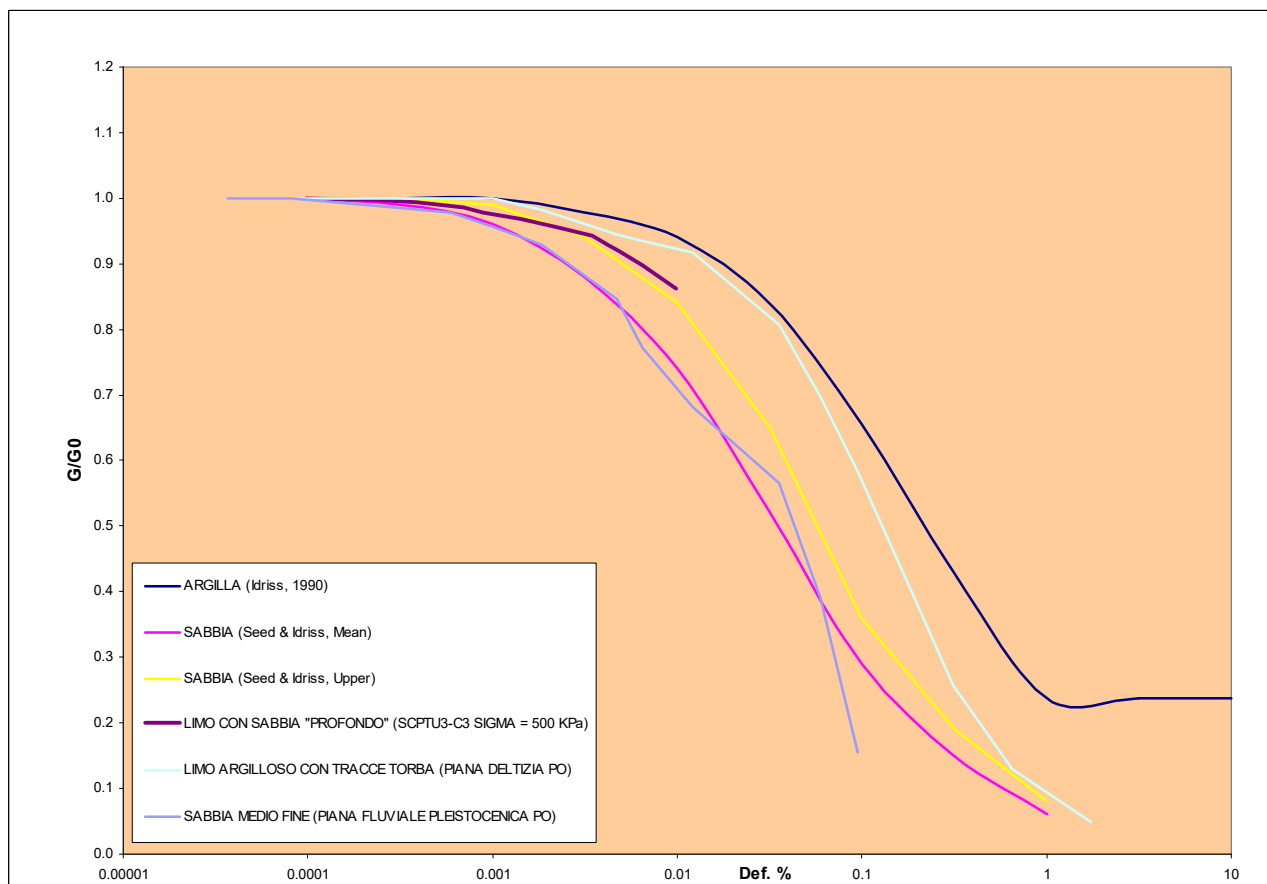
### **MODELLO DI SOTTOSUOLO UTILIZZATO PER L'EX TERRITORIO COMUNALE DI RO**

TABELLA 8.4.1-5: MODELLO DI SOTTOSUOLO UTILIZZATO PER L'ANALISI DI RISPOSTA SISMICA LOCALE PER L'AREA DI RO (+ ZOCCA E RUINA) E PER LA ZONA DI GUARDA F. E ALBERONE

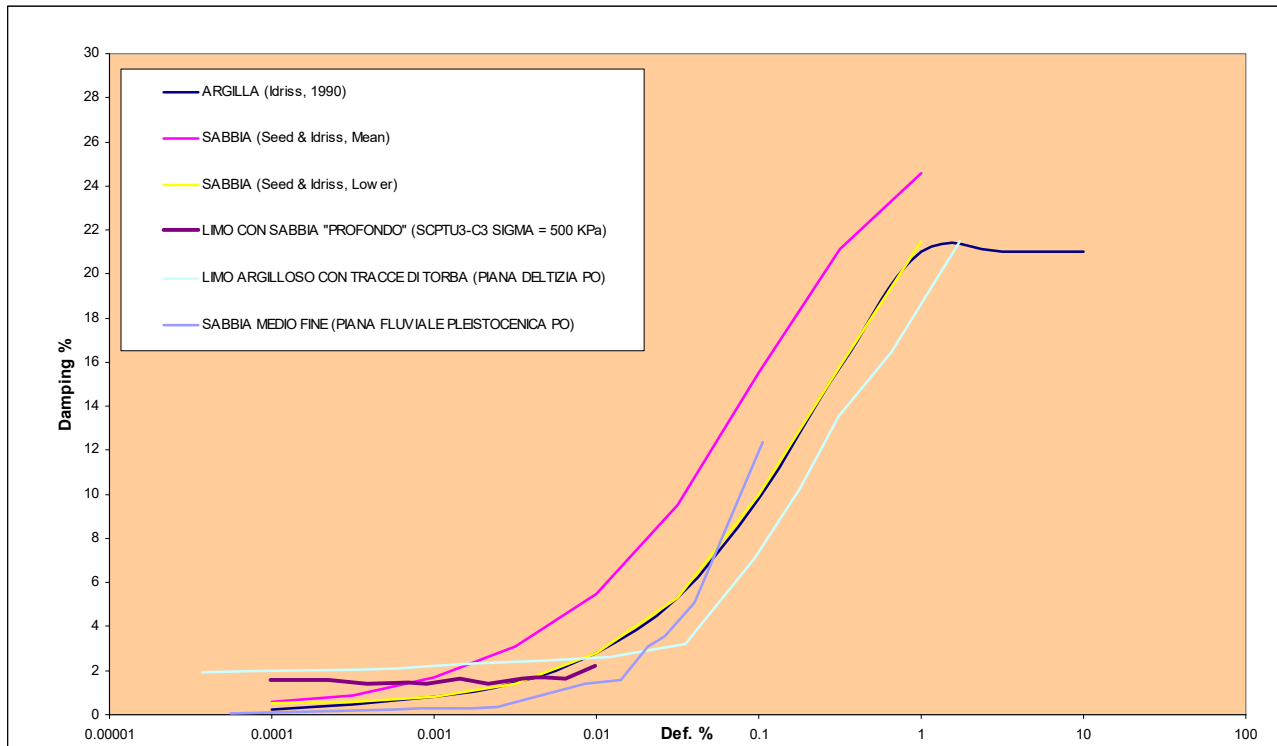
Prof. da p.c. tetto sismostrato (m)	Spessore sismostrato (m)	Litotipo prevalente nel sismostrato	Unità di riferimento (modello geologico da I-II-III livello)	Velocità media stimata onde S (m/s) nel sismostrato	Velocità minima stimata onde S (m/s) nel sismostrato	Velocità massima stimata onde S (m/s) nel sismostrato	Curve G-gamma; D-gamma (degrado modulo taglio/dumping)
0.00	20.00	limo argilloso organico con tracce di torba	A piana deltizia olocenica Po	150.00	90.00	200.00	Colonna risonante su campione proveniente da sondaggio a cc eseguito a RO (≈9 m profondità)
20.00	80.00	sabbia medio fine grigia	C piana alluvionale pleistocenica Po	275.00	220.00	350.00	Colonna risonante su campione proveniente da sondaggio a cc eseguito a RO (≈20 m profondità)
70.00	100.00	limo con sabbia "profondo"	Altri Depositi del Sintema E-R superiore	400.00	400.00	500.00	Colonna risonante su campione proveniente da alta pianura bolognese consolidato a 500 KPa
150-250 variabile tra zona di Ro capoluogo e frazioni Guarda F. e Alberone	half-space	Bedrock	Tetto Sintema E-R inferiore	700.00	600.00	800.00	Da letteratura (Darendeli)

La profondità della falda è stata assunta mediamente a – 2 m di profondità da p.c.

Le curve degrado (g-gamma) e smorzamento (dumping D-gamma) utilizzate sono riportate nelle figure seguenti. A titolo di confronto nei grafici sono inserite anche le curve provenienti da ben noti studi di letteratura associate a litotipi analoghi a quelli presenti in sito (studi su argille e sabbie di Seed e Idriss).



**Figura 8.4.1-5 – Curve G-gamma materiali impiegati nell’analisi e confronto con curve note da letteratura**

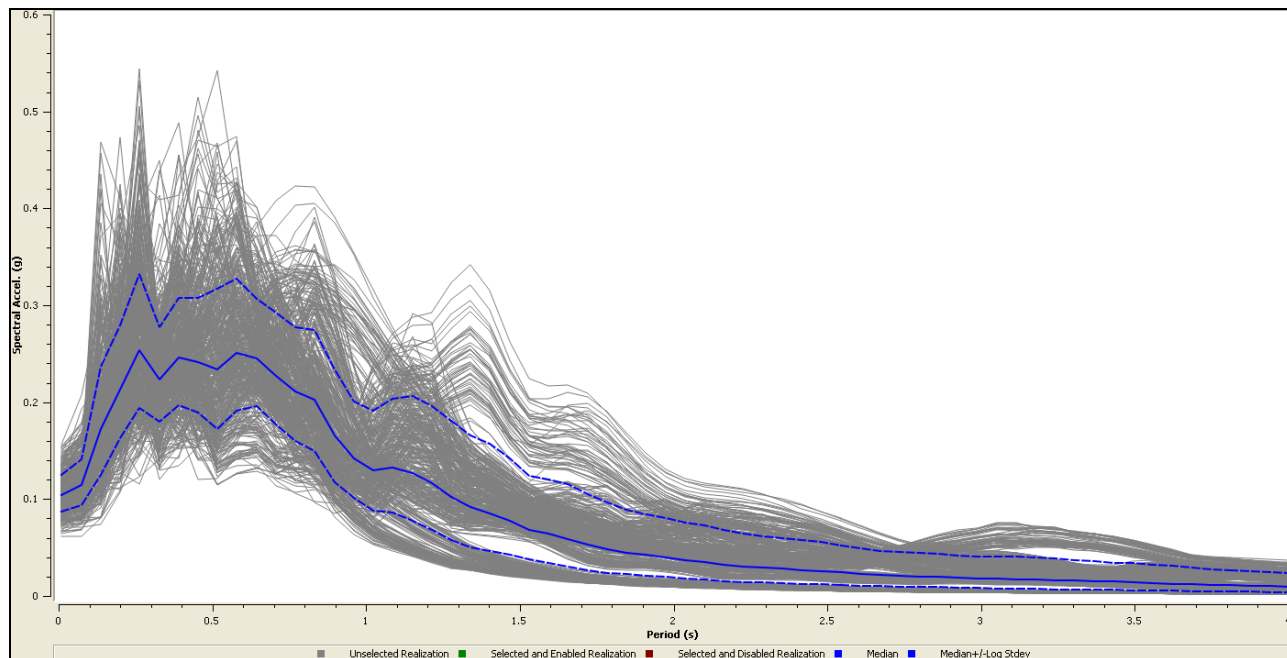


**Figura 8.4.1-6 - Curve D-gamma materiali impiegati nell'analisi e confronto con curve note da letteratura**

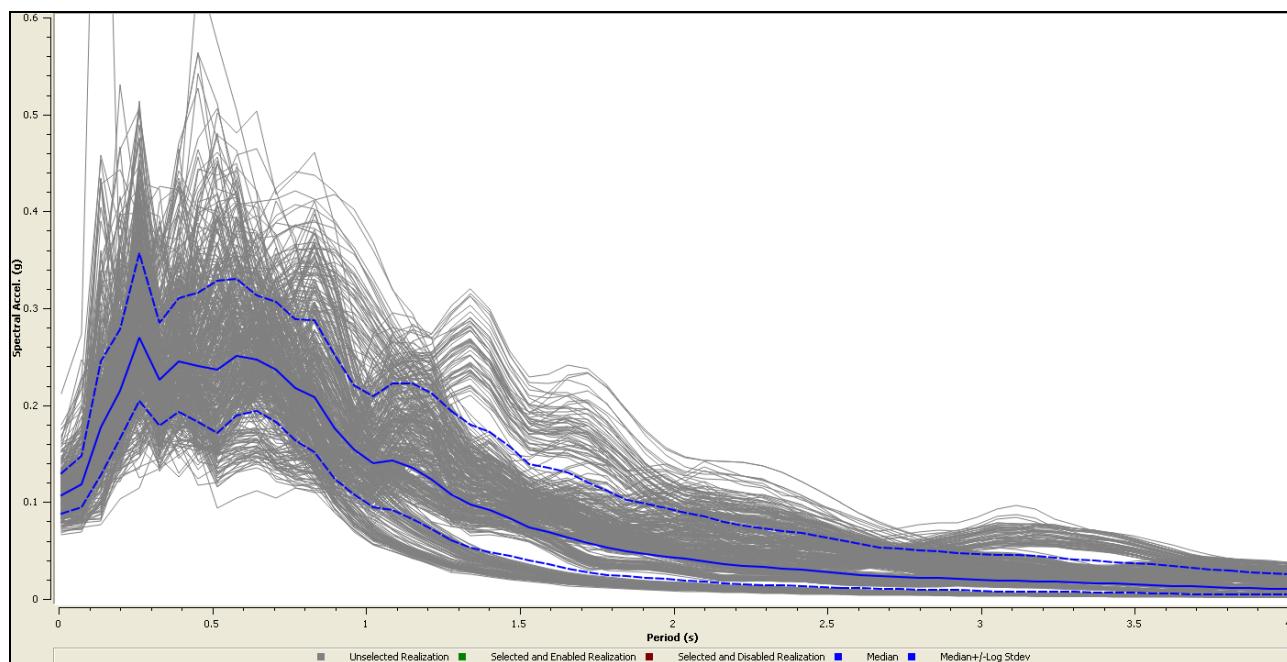
TABELLA 8.4.1-6: GESTIONE DELLE INCERTEZZE: VARIAZIONI CONSENTITE NELL'ANALISI CON SOFTWARE STRATA

SITO	Metodo utilizzato per variazione parametri	Variabili su cui è stato applicato il metodo <i>Monte Carlo</i>	NOTE
Ro e frazioni Zocca-Ruina	Simulazioni con metodo <i>Monte Carlo</i> basate sulla generazione di una distribuzione statistica (in genere normale o log-normale) di una variabile prescelta a partire dalla sua media e dalla sua deviazione standard	<ul style="list-style-type: none"> <li>- Velocità onde S nel sismostrato;</li> <li>- Spessore del sismostrato</li> <li>- Profondità bedrock sismico</li> <li>- Andamento curve G-gamma; D-gamma nel sismostrato</li> </ul>	<p>Circa la variazione delle Vs sono stati fissati dei limiti minimi e massimi per il singolo sismostrato sulla base dei risultati delle indagini geofisiche (modello empirico Toro, 1995 – distribuzione log-normale);</p> <p>Circa lo spessore degli strati (modello empirico Toro, 1995 – distribuzione log-normale) si è posta particolare attenzione all'interfaccia tra i depositi dell'Unità A (Limi e argille prevalenti di piana deltizia olocenica) e i depositi dell'Unità C (Sabbie pleistocenice Po). Si è cercato di tenere conto del fatto che alla scala dell'intero territorio comunale il limite tra queste 2 unità sia risultato variabile dell'ordine di qualche metro con una media fissata intorno a circa 20 m;</p> <p>Circa la profondità del bedrock questo è stato fatto variare con distribuzione log-normale all'interno del range indicato sulla Carta Sismotettonica della Regione E-R (isobate Sintema Emiliano-Romagnolo superiore);</p> <p>Circa le curve degrado/smorzamento, sono state fatte variare secondo il modello empirico di Darendeli (2001 – distribuzione normale).</p>
Guarda Ferrarese e Alberone			

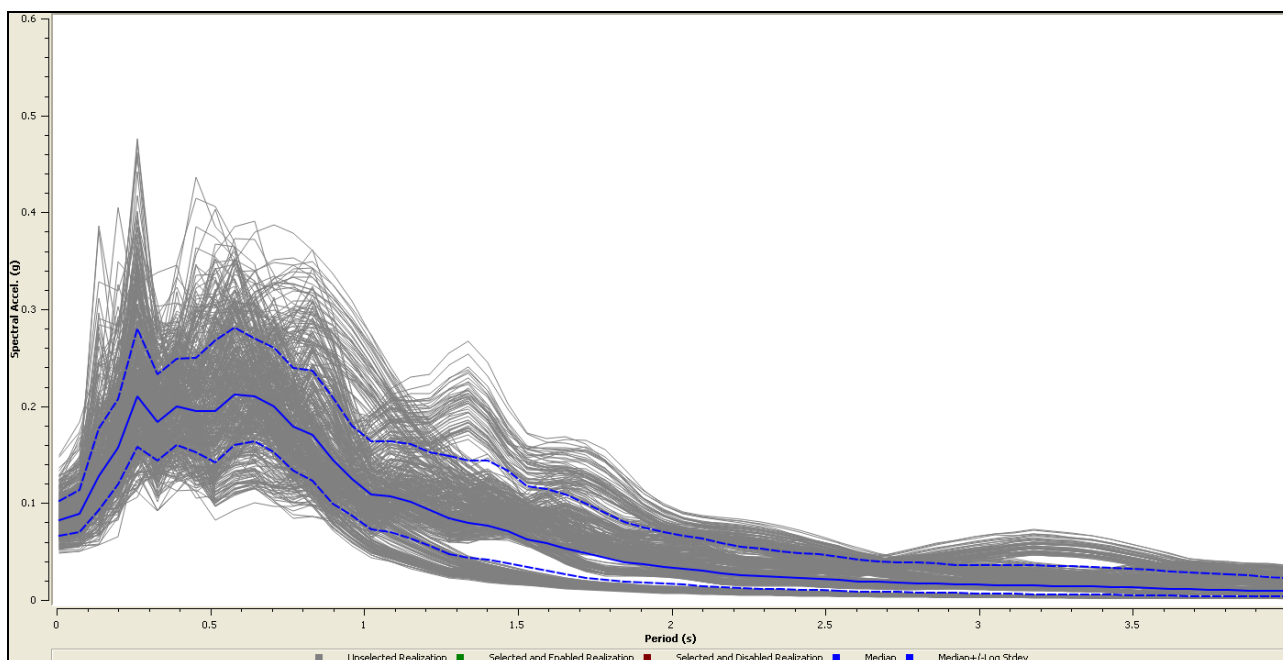
**SPETTRI DI RISPOSTA ELASTICI IN ACCELERAZIONE CALCOLATI PER L'EX TERRITORIO COMUNALE DI BERRA ( $T_R = 475$  anni; smorzamento 5%)**



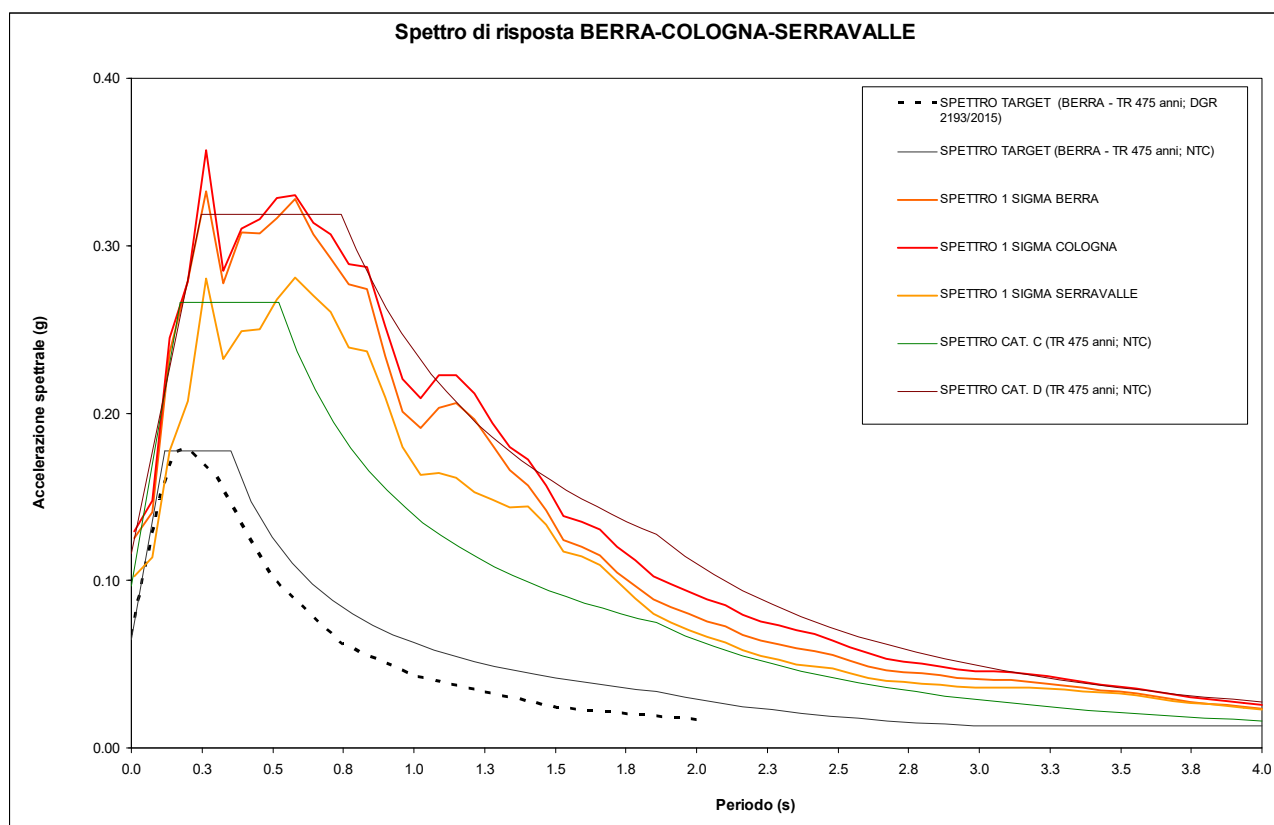
**Figura 8.4.1-7 – Inviluppo spettri finali calcolati per Berra capoluogo**



**Figura 8.4.1-8 – Inviluppo spettri finali calcolati Cologna frazione**



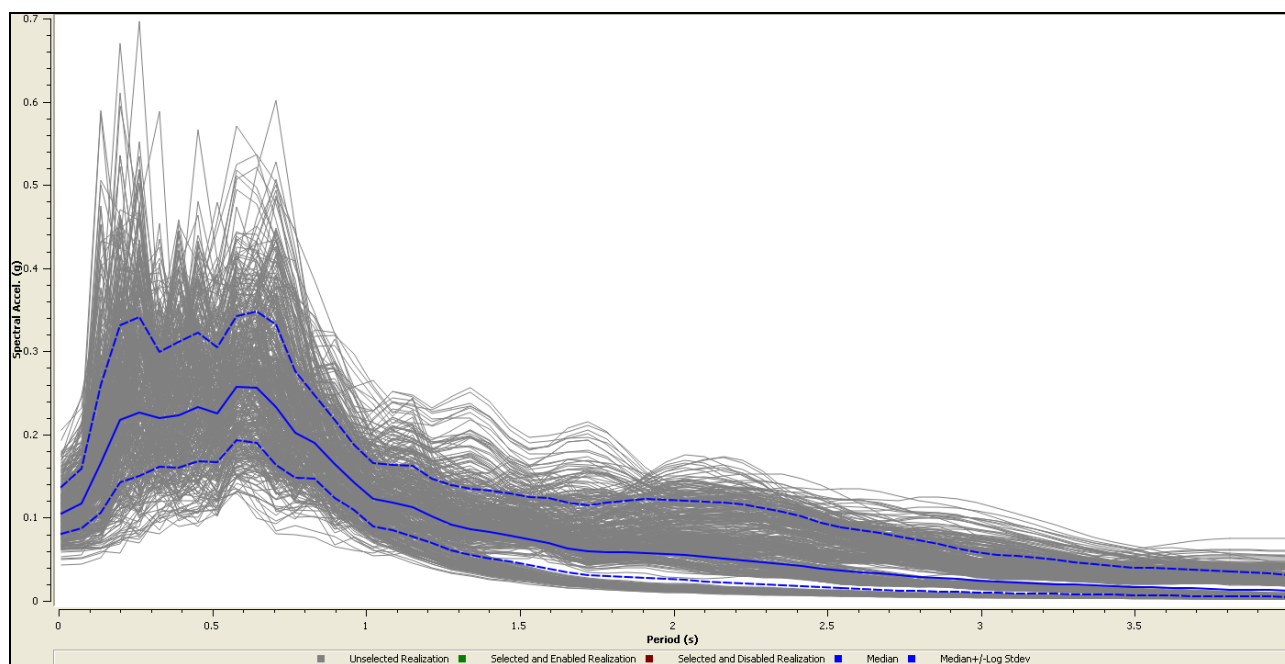
**Figura 8.4.1-9 – Involuppo spettri finali calcolati per Serravalle frazione**



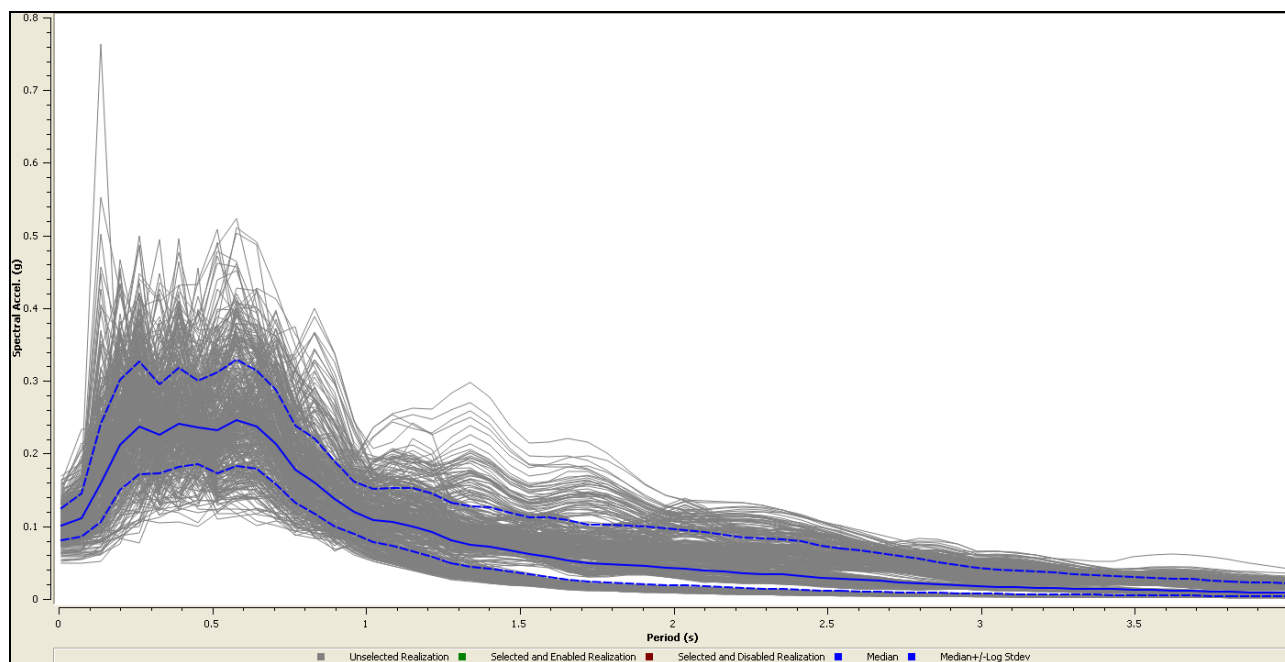
**Figura 8.4.1-10 Spettri prescelti come rappresentativi del sito in esame e loro confronto con spettri di normativa**

Gli spettri prescelti sono **spettri 1-sigma**, ovvero spettri medi + la deviazione standard associata alla media. Pertanto nella figura 8.5.1-10 sono riportati gli spettri con linea blu tratteggiata rappresentati nelle figure 8.5.1-7, 8.5.1-8 e 8.5.1-9 (linea blu tratteggiata in alto).

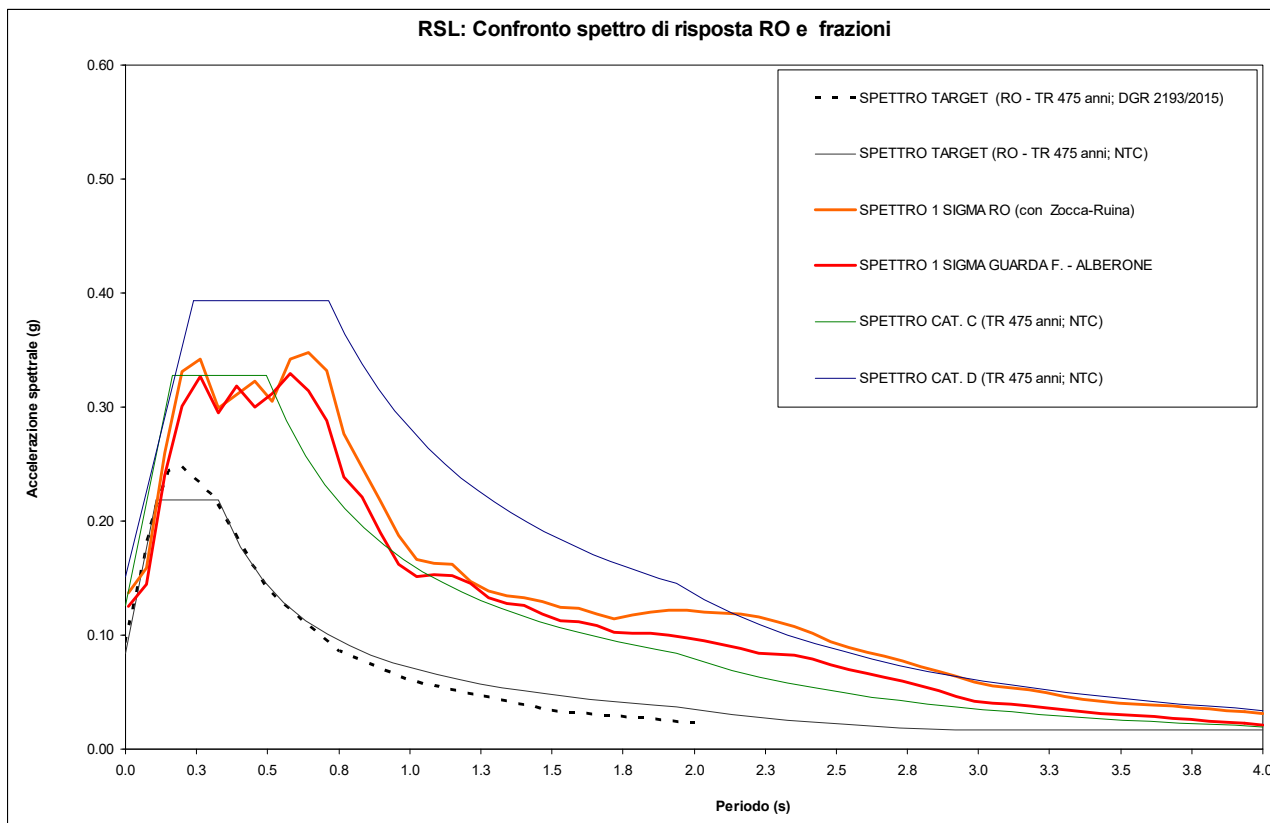
**SPETTRI DI RISPOSTA ELASTICI IN ACCELERAZIONE CALCOLATI PER L'EX TERRITORIO COMUNALE DI RO ( $T_R = 475$  anni; smorzamento 5%)**



**Figura 8.4.1-11 – Involuppo spettri finali calcolati per Ro e frazioni Zocca-Ruina**



**Figura 8.4.1-12 – Involuppo spettri finali calcolati per Guarda Ferrarese e Alberone frazioni.**



**Figura 8.4.1-13 Spettri prescelti come rappresentativi del sito in esame e loro confronto con spettri di normativa**

Gli spettri prescelti sono **spettri 1-sigma**, ovvero spettri medi + la deviazione standard associata alla media. Pertanto nella figura 8.5.1-13 sono riportati gli spettri con linea blu tratteggiata rappresentati nelle figure 8.5.1-11 e 8.5.1-12 (linea blu tratteggiata in alto).

Alla luce dei risultati ottenuti dall'analisi è possibile fornire le seguenti stime circa i rapporti  $PGA/PGA_0$ ,  $SA/SA_0$  nei quattro intervalli di periodo richiesti dalla normativa,  $SI/SI_0$  (Intensità spettrale di Housner sullo spettro in pseudo-velocità) nei tre intervalli di periodo richiesti dalla normativa, HSM e H0408, H0711, H0515, ovvero lo scuotimento in accelerazione ( $cm/s^2$ ) atteso al sito per gli intervalli di periodi  $0,4s \leq T \leq 0,8s$ ,  $0,7s \leq T \leq 1,1s$  e  $0,5s \leq T \leq 1,5s$ :

TABELLA 8.4.1-7: MAPPE DI AMPLIFICAZIONE PER RIVA DEL PO E FRAZIONI

SITO	BERRA	COLOGNA	SERRAVALLE	RO (con Zocca e Ruina)	GUARDA F. ALBERONE
$a_{refg} = PGA_0$ (g)	0.0674	0.0708	0.0644	0.0934	0.0748
PGA (g)	0.125	0.129	0.102	0.137	0.126
PGA/PGA <sub>0</sub> (F <sub>PGA</sub> )	1.85	1.82	1.58	1.46	1.68
SA1 (0.1-0.5 s)	1.91	1.88	1.61	1.48	1.76
SA2 (0.4-0.8 s)	3.24	3.17	2.90	2.47	2.86
SA3 (0.7-1.1 s)	4.97	5.06	4.52	3.38	3.73
SA4 (0.5-1.5 s)	4.65	4.70	4.18	3.14	3.61
SI1 (0.1-0.5 s)	2.00	2.00	1.70	1.50	1.90
SI2 (0.5-1.0 s)	5.10	5.00	4.50	3.80	4.30
SI3 (0.5-1.5 s)	5.50	5.50	4.80	3.70	4.20
H <sub>SM</sub>	323.63	330.37	264.32	317.95	321.35
H <sub>0408</sub>	299.68	308.02	255.78	315.97	292.98
H <sub>0711</sub>	232.90	248.68	202.35	219.19	193.61
H <sub>0515</sub>	223.91	237.40	192.26	209.23	192.54

Si ricorda che il fattore di amplificazione topografica per l'area è posto = 1 (area pianeggiante)

#### 8.4.2 Stima dell'indice di liquefazione IL nei terreni incoerenti

Con le metodologie descritte nel capitolo 7, nella tabella sottostante si riportano i valori dell'Indice di Liquefazione per le aree investigate relativamente ai terreni incoerenti in falda rilevati:

TABELLA 8.4.2-1 INDICE DI LIQUEFAZIONE E CLASSE DI PERICOLOSITÀ (SONMEZ, 2003)

SITO	Prova di riferimento	Prof. falda (m)	PGA Utilizzata (g)	Magnitudo di riferimento	I <sub>L</sub>	Classe di pericolosità (Sonmez, 2003)
BERRA	CPTU2	1.08	0.125	6.14	1.423	basso
BERRA	SCPTU1	1.00	0.125	6.14	0.069	Basso/nullo
COLOGNA	CPTU1	1.40	0.129	6.14	0.100	Basso/nullo



RO	CPTU8	1.57	0.137	6.14	0.365	Basso
RO	CPTU9	1.20	0.137	6.14	0.389	Basso
RUINA	SCPTU1-AR-R-001	1.50	0.137	6.14	0.273	Basso
ZOCCA	SCPTU1-ANS-R-005	1.85	0.137	6.14	0.009	Basso/nullo
ALBERONE	SCPTU5	1.30	0.126	6.14	0.084	Basso/nullo
RO	SCPTU2 ISMGEO	1.20	0.137	6.14	3.858	Moderato
RO	CPTU5 ISMGEO	1.20	0.137	6.14	3.777	Moderato
RO	CPTU6 ISMGEO	1.20	0.137	6.14	1.295	basso

**Dove:**

**$I_L = 0$  Non liquefacibile (Fattore di sicurezza  $\geq 1.2$ )**

**$0 < I_L \leq 2$  Potenziale basso**

**$2 < I_L \leq 5$  Potenziale moderato**

**$5 < I_L \leq 15$  Potenziale alto**

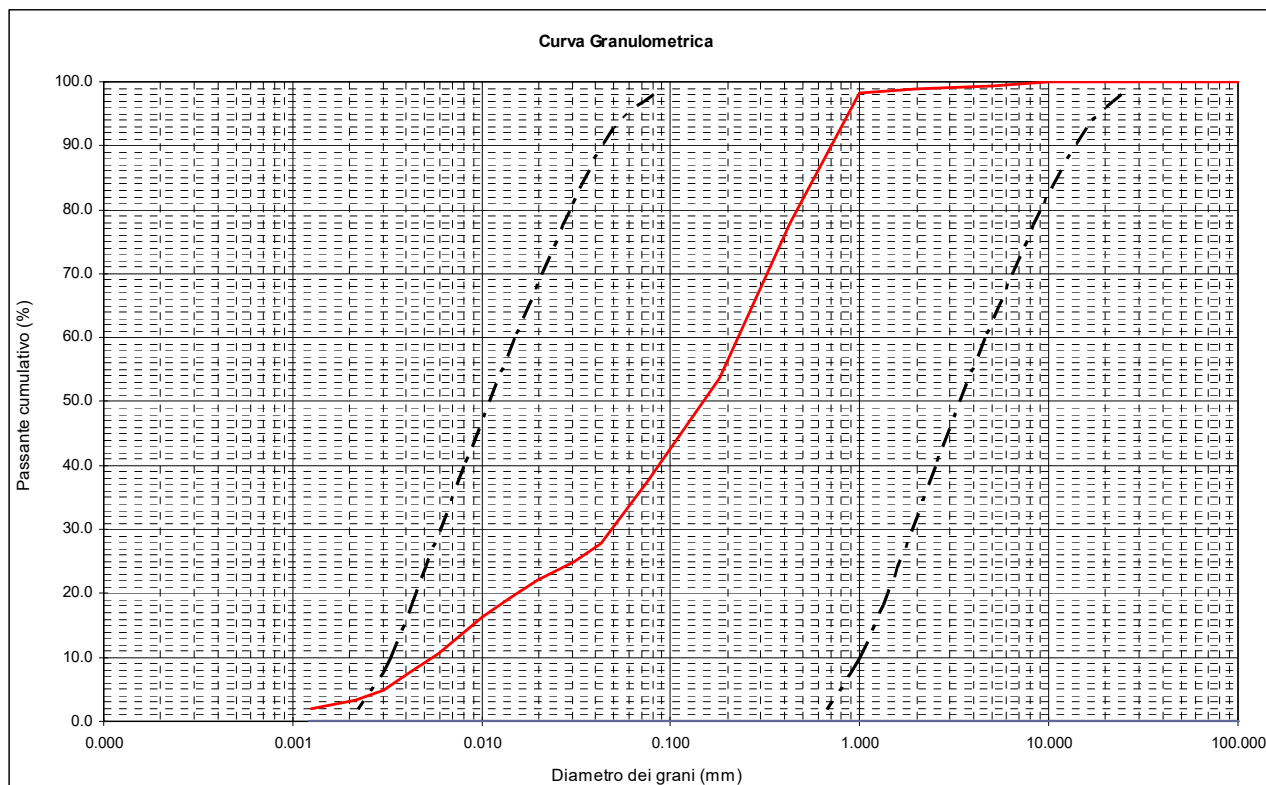
**$15 < I_L$  Potenziale molto alto**

Il metodo di analisi come già detto è stato quello di Boulanger & Idriss (2014)

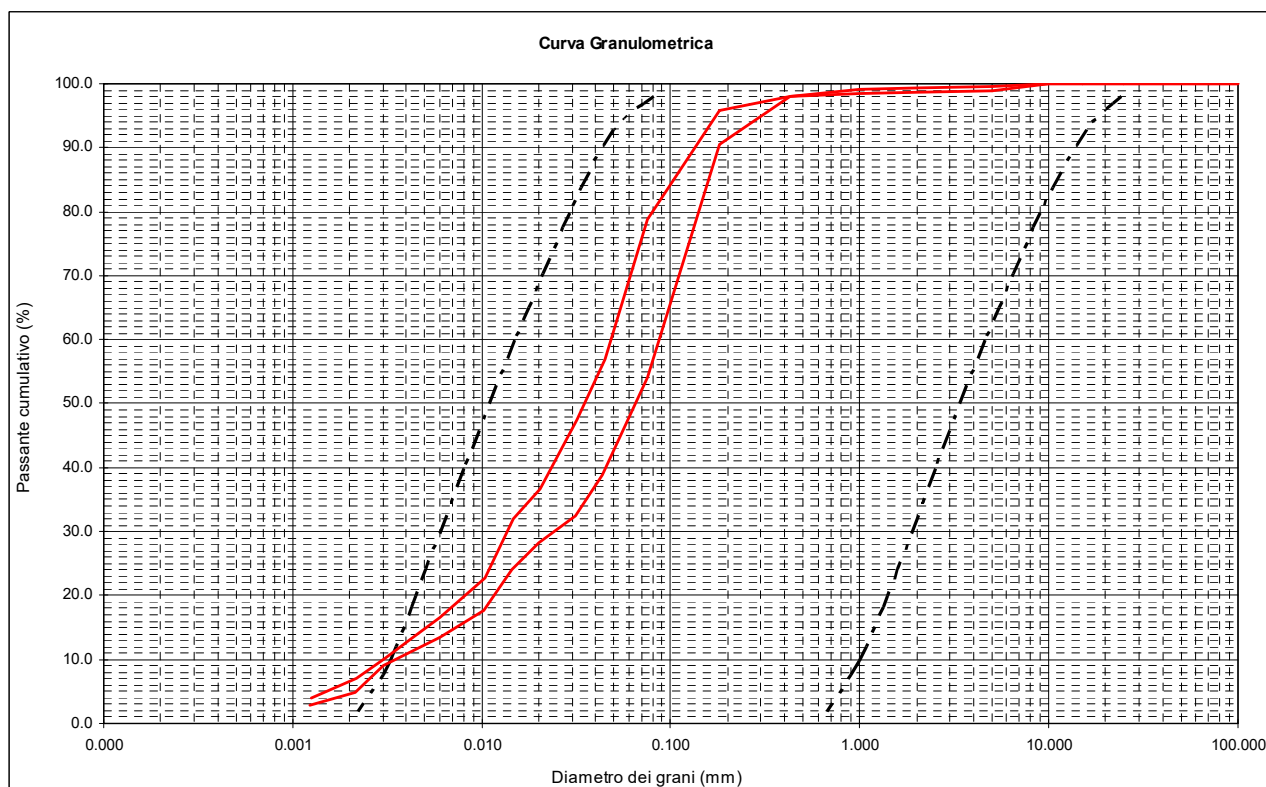
**Nel complesso l'area di Riva del Po e frazioni si caratterizza per una pericolosità alla liquefazione di tipo basso con talora valori di  $I_L$  prossimi allo zero; solo in due casi, prove eseguite da ISMGEO, il valore di  $I_L$  indica una pericolosità moderata.**

L'Indice di liquefazione è stato stimato utilizzando anche n. 22 prove penetrometriche statiche a punta meccanica (CPT), applicando il metodo di Boulanger & Idriss (2014) previa opportuna riduzione del valore di attrito laterale misurato. I valori ottenuti di  $I_L$  sono stati tutti pari a zero (rischio nullo).

Unitamente alla stima di  $I_L$  nelle figure seguenti si mostrano i confronti tra le curve granulometriche ottenute in laboratorio sui campioni di sabbia prelevati a Berra (CPTU2) e a Ro (S8-C2; S15-C2) e i fusi di riferimento indicati dalla DGR 630/2019.



**Figura 8.4.2-1 Confronto curva granulometrica campione sabbia di Berra e fusi di riferimento normativi (coeff. di uniformità UC > 3.5)**



**Figura 8.4.2-2 Confronto curva granulometrica campione sabbia di Ro e fusi di riferimento normativi. (coeff. di uniformità  $U_c > 3.5$ )**

Come si osserva nei grafici, il tratto di curva che fuoriesce dai fusi di riferimento, grosso modo corrispondente alla frazione fine (FC) passante al setaccio 200 ASTM, è risultata rispettivamente  $< 4\%$  e  $< 10\%$ ; inoltre la distribuzione granulometrica dei campioni analizzati è compresa all'interno dei fusi di riferimento per oltre il 50%.

**8.4.3 Stima dei cedimenti post-sismici attesi terreni coesivi**

Con le metodologie descritte nel capitolo 7, si è proceduto alla stima dei cedimenti attesi a seguito del sisma sui livelli di terreno coesivo soffice dove sono state simultaneamente verificate le condizioni di:

- valori di coesione non drenata  $< 70$  KPa (da indagini dirette specie CPTU);
- valori di velocità di propagazione delle onde di taglio S ( $V_s$ )  $< 180$  m/s (da indagini geofisiche);
- valori di Indice Plastico  $> 30\%$  (da prove di laboratorio su campioni prelevati in sito).

Nel caso del territorio di Berra, essendo diffusamente verificate le prime 2 condizioni, e localmente anche la terza (si veda capitolo 4.1 e tabella 4.1-1), si è provveduto al prelievo di n. 1 campione indisturbato per l'esecuzione di una prova edometrica in laboratorio geotecnico al fine di ottenere i parametri di compressibilità del terreno per la stima dei cedimenti post-sismici attesi. Naturalmente il punto di prelievo è stato scelto laddove le condizioni sopraesposte sono state tutte confermate:

Nel caso del territorio di Ro, pur essendo diffusamente verificate le prime 2 condizioni, non si è mai verificato l'insorgere della terza condizione, ovvero  $IP > 30\%$  (si veda capitolo 4.1 e tabella 4.1-1). Pertanto per i territorio in esame non sono stati calcolati i cedimenti post-sismici.

Tuttavia, considerando il fatto che il grado di plasticità è stato analizzato su un numero ristretto di campioni, gli scriventi ritengono che per l'area di Ro si possa senz'altro fare riferimento al valore medio di cedimento post-sismico stimato paria 4-7 cm nei primi 10 m da piano campagna sull'intera area dell'Unione dei Comuni Terre e Fiumi.

TABELLA 8.4.3-1 CAMPIONE INDISTURBATO PER PROVE EDOMETRICA

SITO	Prova di riferimento	Prof. Prelievo del campione (m)
BERRA	CPTU 2	Intervallo 0.90-2.30

Utilizzando i parametri di laboratorio e quelli ricavati dall'analisi di RSL, utilizzando la formulazione indicata sulla DGR 630/2019 al paragrafo B3 (Yasuhara e Andersen, 1991) si fornisce una stima indicativa del cedimento post-sismico atteso con particolare riferimento a primi 5 - 10 m di profondità da p.c. laddove i valori attesi di  $\Delta U/P'0 \geq 30$  (rapporto tra l'incremento di pressione interstiziale nel terreno indotto dal sisma e tensione media efficace iniziale).

TABELLA 8.4.3-2 STIMA CEDIMENTI ATTESI POST-SISMICI TERRENI COESIVI SOFFICI

Intervallo di profondità	Litotipo prevalente	Indice di ricompressione $C_r$ (da edometria)	$\Delta U/P'_0$	Deformazione volumetrica unitaria ( $\epsilon_v$ )	Cedimento atteso 0-5 m	Entità del cedimento o post-sisma (0-10 m)
0-5 m	Limo argilloso con tracce di torba	0.037	0.3	0.0032	2.1 cm	
Intervallo di profondità	Litotipo prevalente	Indice di ricompressione $C_r$ (da edometria)	$\Delta U/P'_0$	Deformazione volumetrica unitaria ( $\epsilon_v$ )	Cedimento atteso 5-10 m	≈ 7 cm
5-10 m	Limo argilloso con tracce di torba	0.055	0.4	0.0075	≈ 4.8 cm	

## 9. CONFRONTO CON LA DISTRIBUZIONE DI DANNI PER EVENTI PASSATI

Non sono a disposizione dati relativi a danni per eventi passati.

## 10. BIBLIOGRAFIA

Atto di coordinamento tecnico sugli studi di micro zonazione sismica per la pianificazione territoriale e urbanistica (artt. 22 e 49, L.R. 24/2017)

Indirizzi per gli studi di microzonazione sismica in Emilia-Romagna per la pianificazione territoriale e urbanistica; DGR 2193/2015 ;Regione Emilia-Romagna

F. Brammerini, G. di Pasquale, G. Naso, M. Severino, 2008. Protezione Nazionale Civile. Indirizzi e criteri per la microzonazione sismica.

M. Bondesan. L'area deltizia Padana: caratteri geografici e geomorfologici.

Regione Emilia-Romagna, Provincia di Ferrara, Università degli studi di Ferrara 2007. Riserve idriche sotterranee della Provincia di Ferrara.

Servizio Geologico Sismico e dei Suoli della Regione Emilia-Romagna.

Database Macrosismico dei Terremoti Italiani (DBMI15) e Catalogo Parametrico dei Terremoti Italiani (CPTI15), Istituto Nazionale di Geofisica e Vulcanologia (INGV).

Cartografia:

- Edizioni S.E.L.C.A. 1997, Carta Geomorfologica della Pianura Padana.
- Edizione 1999 – Carta Geologica di Pianura dell'Emilia-Romagna
- Edizioni S.E.L.C.A. 2004. Carta Sismotettonica della Regione Emilia-Romagna e aree limitrofe

## 11. ALLEGATI

Carta delle indagini - scala 1:20.000 – Comune di Riva del Po

- *Carta delle indagini - scala 1:10.000 – Comune di Riva del Po (1° di 6)*
- *Carta delle indagini - scala 1:10.000 – Comune di Riva del Po (2° di 6)*
- *Carta delle indagini - scala 1:10.000 – Comune di Riva del Po (3° di 6)*
- *Carta delle indagini - scala 1:10.000 – Comune di Riva del Po (4° di 6)*
- *Carta delle indagini - scala 1:10.000 – Comune di Riva del Po (5° di 6)*
- *Carta delle indagini - scala 1:10.000 – Comune di Riva del Po (6° di 6)*

Carta delle frequenze naturali dei terreni - 1:15.000 – Comune di Riva del Po

- *Carta delle frequenze naturali dei terreni - scala 1:10.000 – Comune di Riva del Po (1° di 5)*
- *Carta delle frequenze naturali dei terreni - scala 1:10.000 – Comune di Riva del Po (2° di 5)*
- *Carta delle frequenze naturali dei terreni - scala 1:10.000 – Comune di Riva del Po (3° di 5)*
- *Carta delle frequenze naturali dei terreni - scala 1:10.000 – Comune di Riva del Po (4° di 5)*
- *Carta delle frequenze naturali dei terreni - scala 1:10.000 – Comune di Riva del Po (5° di 5)*

Carta delle velocità delle onde di taglio S (Vs) - scala 1:10.000 - Comune di Riva del Po

- *Carta delle velocità delle onde di taglio S (Vs) - scala 1:10.000 – Comune di Riva del Po (1° di 5)*
- *Carta delle velocità delle onde di taglio S (Vs) - scala 1:5.000 – Comune di Riva del Po (2° di 5)*
- *Carta delle velocità delle onde di taglio S (Vs) - scala 1:5.000 – Comune di Riva del Po (3° di 5)*
- *Carta delle velocità delle onde di taglio S (Vs) - scala 1:5.000 – Comune di Riva del Po (4° di 5)*
- *Carta delle velocità delle onde di taglio S (Vs) - scala 1:10.000 – Comune di Riva del Po (5° di 5)*

Carta dei fattori di amplificazione “Accelerazione massima orizzontale” (F.A.  $_{PGA} = PGA/PGA_0$ ) - scala 1:15.000 – Comune di Riva del Po

- *Carta dei fattori di amplificazione “Accelerazione massima orizzontale” (F.A.  $_{PGA} = PGA/PGA_0$ ) - scala 1:10.000 – Comune di Riva del Po (1° di 4)*
- *Carta dei fattori di amplificazione “Accelerazione massima orizzontale” (F.A.  $_{PGA} = PGA/PGA_0$ ) - scala 1:5.000 – Comune di Riva del Po (2° di 4)*
- *Carta dei fattori di amplificazione “Accelerazione massima orizzontale” (F.A.  $_{PGA} = PGA/PGA_0$ ) - scala 1:5.000 – Comune di Riva del Po (3° di 4)*
- *Carta dei fattori di amplificazione “Accelerazione massima orizzontale” (F.A.  $_{PGA} = PGA/PGA_0$ ) - scala 1:5.000 – Comune di Riva del Po (4° di 4)*

Carta dei fattori di amplificazione – Integrale dello Spettro di Risposta in Accelerazione (F.A. =  $SA/SA_0$ ) ( $0,1s \leq T \leq 0,5s$ ) - scala 1:15.000 – Comune di Riva del Po

- *Carta dei fattori di amplificazione – Integrale dello Spettro di Risposta in Accelerazione (F.A. =  $SA/SA_0$ ) ( $0,1s \leq T \leq 0,5s$ ) - scala 1:10.000 – Comune di Riva del Po (1° di 4)*
- *Carta dei fattori di amplificazione – Integrale dello Spettro di Risposta in Accelerazione (F.A. =  $SA/SA_0$ ) ( $0,1s \leq T \leq 0,5s$ ) - scala 1:5.000 – Comune di Riva del Po (2° di 4)*
- *Carta dei fattori di amplificazione – Integrale dello Spettro di Risposta in Accelerazione (F.A. =  $SA/SA_0$ ) ( $0,1s \leq T \leq 0,5s$ ) - scala 1:5.000 – Comune di Riva del Po (3° di 4)*
- *Carta dei fattori di amplificazione – Integrale dello Spettro di Risposta in Accelerazione (F.A. =  $SA/SA_0$ ) ( $0,1s \leq T \leq 0,5s$ ) - scala 1:5.000 – Comune di Riva del Po (4° di 4)*

	<b>Synthesis s.r.l.</b> Piazza del Popolo civ. 13 – int. 5 44034 – Copparo – Fe Tel. 0532 860546 – Fax 0532 091680 www.synthesisr.com – info@synthesisr.com	STUDIO DI MICROZONAZIONE SISMICA DI III° LIVELLO <b>Relazione Illustrativa</b>	RIF. 020/20-EB-REV00 DEL 04/2020
--	---	---	-------------------------------------

Carta dei fattori di amplificazione – Integrale dello Spettro di Risposta in Accelerazione (F.A. = SA/SA<sub>0</sub>) (0,4s ≤ T ≤ 0.8s) - scala 1:15.000 – Comune di Riva del Po

- *Carta dei fattori di amplificazione – Integrale dello Spettro di Risposta in Accelerazione (F.A. = SA/SA<sub>0</sub>) (0,4s ≤ T ≤ 0.8s) - scala 1:10.000 – Comune di Riva del Po (1° di 4)*

- *Carta dei fattori di amplificazione – Integrale dello Spettro di Risposta in Accelerazione (F.A. = SA/SA<sub>0</sub>) (0,4s ≤ T ≤ 0.8s) - scala 1:5.000 – Comune di Riva del Po (2° di 4)*

- *Carta dei fattori di amplificazione – Integrale dello Spettro di Risposta in Accelerazione (F.A. = SA/SA<sub>0</sub>) (0,4s ≤ T ≤ 0.8s) - scala 1:5.000 – Comune di Riva del Po (3° di 4)*

- *Carta dei fattori di amplificazione – Integrale dello Spettro di Risposta in Accelerazione (F.A. = SA/SA<sub>0</sub>) (0,4s ≤ T ≤ 0.8s) - scala 1:5.000 – Comune di Riva del Po (4° di 4)*

Carta dei fattori di amplificazione – Integrale dello Spettro di Risposta in Accelerazione (F.A. = SA/SA<sub>0</sub>) (0,7s ≤ T ≤ 1,1s) - scala 1:15.000 – Comune di Riva del Po

- *Carta dei fattori di amplificazione – Integrale dello Spettro di Risposta in Accelerazione (F.A. = SA/SA<sub>0</sub>) (0,7s ≤ T ≤ 1,1s) - scala 1:10.000 – Comune di Riva del Po (1° di 4)*

- *Carta dei fattori di amplificazione – Integrale dello Spettro di Risposta in Accelerazione (F.A. = SA/SA<sub>0</sub>) (0,7s ≤ T ≤ 1,1s) - scala 1:5.000 – Comune di Riva del Po (2° di 4)*

- *Carta dei fattori di amplificazione – Integrale dello Spettro di Risposta in Accelerazione (F.A. = SA/SA<sub>0</sub>) (0,7s ≤ T ≤ 1,1s) - scala 1:5.000 – Comune di Riva del Po (3° di 4)*

- *Carta dei fattori di amplificazione – Integrale dello Spettro di Risposta in Accelerazione (F.A. = SA/SA<sub>0</sub>) (0,7s ≤ T ≤ 1,1s) - scala 1:5.000 – Comune di Riva del Po (4° di 4)*

Carta dei fattori di amplificazione – Integrale dello Spettro di Risposta in Accelerazione (F.A. = SA/SA<sub>0</sub>) (0,5s ≤ T ≤ 1,5s) - scala 1:15.000 – Comune di Riva del Po

- *Carta dei fattori di amplificazione – Integrale dello Spettro di Risposta in Accelerazione (F.A. = SA/SA<sub>0</sub>) (0,5s ≤ T ≤ 1,5s) - scala 1:10.000 – Comune di Riva del Po (1° di 4)*

- *Carta dei fattori di amplificazione – Integrale dello Spettro di Risposta in Accelerazione (F.A. = SA/SA<sub>0</sub>) (0,5s ≤ T ≤ 1,5s) - scala 1:5.000 – Comune di Riva del Po (2° di 4)*

- *Carta dei fattori di amplificazione – Integrale dello Spettro di Risposta in Accelerazione (F.A. = SA/SA<sub>0</sub>) (0,5s ≤ T ≤ 1,5s) - scala 1:5.000 – Comune di Riva del Po (3° di 4)*

- *Carta dei fattori di amplificazione – Integrale dello Spettro di Risposta in Accelerazione (F.A. = SA/SA<sub>0</sub>) (0,5s ≤ T ≤ 1,5s) - scala 1:5.000 – Comune di Riva del Po (4° di 4)*

Carta dei fattori di amplificazione “Intensità di Housner” (F.H.= SI/SI<sub>0</sub>)” (0.1s ≤ T ≤ 0.5s) - scala 1:15.000 – Comune di Riva del Po

- *Carta dei fattori di amplificazione “Intensità di Housner” (F.H.= SI/SI<sub>0</sub>)” (0.1s ≤ T ≤ 0.5s) - scala 1:10.000 – Comune di Riva del Po (1° di 4)*

- *Carta dei fattori di amplificazione “Intensità di Housner” (F.H.= SI/SI<sub>0</sub>)” (0.1s ≤ T ≤ 0.5s) - scala 1:5.000 – Comune di Riva del Po (2° di 4)*

- *Carta dei fattori di amplificazione “Intensità di Housner” (F.H.= SI/SI<sub>0</sub>)” (0.1s ≤ T ≤ 0.5s) - scala 1:5.000 – Comune di Riva del Po (3° di 4)*

- *Carta dei fattori di amplificazione “Intensità di Housner” (F.H.= SI/SI<sub>0</sub>)” (0.1s ≤ T ≤ 0.5s) - scala 1:5.000 – Comune di Riva del Po (4° di 4)*

	<b>Synthesis s.r.l.</b> Piazza del Popolo civ. 13 – int. 5 44034 – Copparo – Fe Tel. 0532 860546 – Fax 0532 091680 www.synthesisr.com – info@synthesisr.com	STUDIO DI MICROZONAZIONE SISMICA DI III° LIVELLO <b>Relazione Illustrativa</b>	RIF. 020/20-EB-REV00 DEL 04/2020
--	---	---	-------------------------------------

Carta dei fattori di amplificazione “Intensità di Housner” (F.H. =  $S_i/S_{i0}$ ) ( $0.5s \leq T \leq 1.0s$ ) - scala 1:15.000  
– Comune di Riva del Po

- *Carta dei fattori di amplificazione “Intensità di Housner” (F.H. =  $S_i/S_{i0}$ ) ( $0.5s \leq T \leq 1.0s$ ) - scala 1:10.000 – Comune di Riva del Po (1° di 4)*
- *Carta dei fattori di amplificazione “Intensità di Housner” (F.H. =  $S_i/S_{i0}$ ) ( $0.5s \leq T \leq 1.0s$ ) - scala 1:5.000 – Comune di Riva del Po (2° di 4)*
- *Carta dei fattori di amplificazione “Intensità di Housner” (F.H. =  $S_i/S_{i0}$ ) ( $0.5s \leq T \leq 1.0s$ ) - scala 1:5.000 – Comune di Riva del Po (3° di 4)*
- *Carta dei fattori di amplificazione “Intensità di Housner” (F.H. =  $S_i/S_{i0}$ ) ( $0.5s \leq T \leq 1.0s$ ) - scala 1:5.000 – Comune di Riva del Po (4° di 4)*

Carta dei fattori di amplificazione “Intensità di Housner” (F.H. =  $S_i/S_{i0}$ ) ( $0.5s \leq T \leq 1.5s$ ) - scala 1:15.000  
– Comune di Riva del Po

- *Carta dei fattori di amplificazione “Intensità di Housner” (F.H. =  $S_i/S_{i0}$ ) ( $0.5s \leq T \leq 1.5s$ ) - scala 1:10.000 – Comune di Riva del Po (1° di 4)*
- *Carta dei fattori di amplificazione “Intensità di Housner” (F.H. =  $S_i/S_{i0}$ ) ( $0.5s \leq T \leq 1.5s$ ) - scala 1:5.000 – Comune di Riva del Po (2° di 4)*
- *Carta dei fattori di amplificazione “Intensità di Housner” (F.H. =  $S_i/S_{i0}$ ) ( $0.5s \leq T \leq 1.5s$ ) - scala 1:5.000 – Comune di Riva del Po (3° di 4)*
- *Carta dei fattori di amplificazione “Intensità di Housner” (F.H. =  $S_i/S_{i0}$ ) ( $0.5s \leq T \leq 1.5s$ ) - scala 1:5.000 – Comune di Riva del Po (4° di 4)*

Carta dei fattori di amplificazione – Scuotimento in Accelerazione ( $cm/s^2$ )  $H_{SM}$  ( $0,1s \leq T \leq 0,5s$ ) - scala 1:15.000 – Comune di Riva del Po

- *Carta dei fattori di amplificazione – Scuotimento in Accelerazione ( $cm/s^2$ )  $H_{SM}$  ( $0,1s \leq T \leq 0,5s$ ) - scala 1:10.000 – Comune di Riva del Po (1° di 4)*
- *Carta dei fattori di amplificazione – Scuotimento in Accelerazione ( $cm/s^2$ )  $H_{SM}$  ( $0,1s \leq T \leq 0,5s$ ) - scala 1:5.000 – Comune di Riva del Po (2° di 4)*
- *Carta dei fattori di amplificazione – Scuotimento in Accelerazione ( $cm/s^2$ )  $H_{SM}$  ( $0,1s \leq T \leq 0,5s$ ) - scala 1:5.000 – Comune di Riva del Po (3° di 4)*
- *Carta dei fattori di amplificazione – Scuotimento in Accelerazione ( $cm/s^2$ )  $H_{SM}$  ( $0,1s \leq T \leq 0,5s$ ) - scala 1:5.000 – Comune di Riva del Po (4° di 4)*

Carta dei fattori di amplificazione – Scuotimento in Accelerazione ( $cm/s^2$ )  $H$  ( $0,4s \leq T \leq 0,8s$ ) - scala 1:15.000 – Comune di Riva del Po

- *Carta dei fattori di amplificazione – Scuotimento in Accelerazione ( $cm/s^2$ )  $H$  ( $0,4s \leq T \leq 0,8s$ ) - scala 1:10.000 – Comune di Riva del Po (1° di 4)*
- *Carta dei fattori di amplificazione – Scuotimento in Accelerazione ( $cm/s^2$ )  $H$  ( $0,4s \leq T \leq 0,8s$ ) - scala 1:5.000 – Comune di Riva del Po (2° di 4)*
- *Carta dei fattori di amplificazione – Scuotimento in Accelerazione ( $cm/s^2$ )  $H$  ( $0,4s \leq T \leq 0,8s$ ) - scala 1:5.000 – Comune di Riva del Po (3° di 4)*
- *Carta dei fattori di amplificazione – Scuotimento in Accelerazione ( $cm/s^2$ )  $H$  ( $0,4s \leq T \leq 0,8s$ ) - scala 1:5.000 – Comune di Riva del Po (4° di 4)*

	<b>Synthesis s.r.l.</b> Piazza del Popolo civ. 13 – int. 5 44034 – Copparo – Fe Tel. 0532 860546 – Fax 0532 091680 www.synthesisr.com – info@synthesisr.com	STUDIO DI MICROZONAZIONE SISMICA DI III° LIVELLO <b>Relazione Illustrativa</b>	RIF. 020/20-EB-REV00 DEL 04/2020
--	---	---	-------------------------------------

Carta dei fattori di amplificazione – Scuotimento in Accelerazione ( $\text{cm/s}^2$ ) H ( $0,7s \leq T \leq 1,1s$ ) - scala 1:15.000 – Comune di Riva del Po

- *Carta dei fattori di amplificazione – Scuotimento in Accelerazione ( $\text{cm/s}^2$ ) H ( $0,7s \leq T \leq 1,1s$ ) - scala 1:10.000 – Comune di Riva del Po (1° di 4)*
- *Carta dei fattori di amplificazione – Scuotimento in Accelerazione ( $\text{cm/s}^2$ ) H ( $0,7s \leq T \leq 1,1s$ ) - scala 1:5.000 – Comune di Riva del Po (2° di 4)*
- *Carta dei fattori di amplificazione – Scuotimento in Accelerazione ( $\text{cm/s}^2$ ) H ( $0,7s \leq T \leq 1,1s$ ) - scala 1:5.000 – Comune di Riva del Po (3° di 4)*
- *Carta dei fattori di amplificazione – Scuotimento in Accelerazione ( $\text{cm/s}^2$ ) H ( $0,7s \leq T \leq 1,1s$ ) - scala 1:5.000 – Comune di Riva del Po (4° di 4)*

Carta dei fattori di amplificazione – Scuotimento in Accelerazione ( $\text{cm/s}^2$ ) H ( $0,5s \leq T \leq 1,5s$ ) - scala 1:15.000 – Comune di Riva del Po

- *Carta dei fattori di amplificazione – Scuotimento in Accelerazione ( $\text{cm/s}^2$ ) H ( $0,5s \leq T \leq 1,5s$ ) - scala 1:10.000 – Comune di Riva del Po (1° di 4)*
- *Carta dei fattori di amplificazione – Scuotimento in Accelerazione ( $\text{cm/s}^2$ ) H ( $0,5s \leq T \leq 1,5s$ ) - scala 1:5.000 – Comune di Riva del Po (2° di 4)*
- *Carta dei fattori di amplificazione – Scuotimento in Accelerazione ( $\text{cm/s}^2$ ) H ( $0,5s \leq T \leq 1,5s$ ) - scala 1:5.000 – Comune di Riva del Po (3° di 4)*
- *Carta dei fattori di amplificazione – Scuotimento in Accelerazione ( $\text{cm/s}^2$ ) H ( $0,5s \leq T \leq 1,5s$ ) - scala 1:5.000 – Comune di Riva del Po (4° di 4)*